

สมบัติทางแม่เหล็กของหิน bazalt ในบางแหล่งของประเทศไทย

**Magnetic Properties of Basalts from Selected Locations in Thailand**

จิรพันธุ์ ศรีเทียม

Jirapan Sritiam

วิทยานิพนธ์นี้เป็นส่วนหนึ่งของการศึกษาตามหลักสูตรปริญญา

วิทยาศาสตรมหาบัณฑิต สาขาวิชาธรณีฟิสิกส์

มหาวิทยาลัยสงขลานครินทร์

**A Thesis Submitted in Partial Fulfillment of the Requirements**

**for the Degree of Master of Science in Geophysics**

**Prince of Songkla University**

**2554**

**ลิขสิทธิ์ของมหาวิทยาลัยสงขลานครินทร์**

(1)

ชื่อวิทยานิพนธ์

สมบัติทางแม่เหล็กของหิน bazalt ในบางแหล่งของประเทศไทย

ผู้เขียน

นายจิรพันธุ์ ศรีเทียม

สาขาวิชา

ธรณีฟิสิกส์

อาจารย์ที่ปรึกษาวิทยานิพนธ์หลัก

คณะกรรมการสอบ

.....  
(รองศาสตราจารย์ ดร.ไตรภพ ผ่องสุวรรณ)

.....  
ประธานกรรมการ  
(ดร.กำแหง วัฒนเสน)

อาจารย์ที่ปรึกษาวิทยานิพนธ์ร่วม

.....  
กรรมการ  
(รองศาสตราจารย์ ดร.ไตรภพ ผ่องสุวรรณ)

.....  
(Dr.Helmut Duerrast)

.....  
กรรมการ  
(Dr.Helmut Duerrast)

.....  
กรรมการ  
(ผู้ช่วยศาสตราจารย์ ดร.วรรุษ โลหะวิจารณ์)

บัณฑิตวิทยาลัย มหาวิทยาลัยสงขลานครินทร์ อนุมัติให้บัณฑิตวิทยานิพนธ์ฉบับนี้เป็น  
ส่วนหนึ่งของการศึกษา ตามหลักสูตรปริญญาวิทยาศาสตร์มหาบัณฑิต สาขาวิชาธรณีฟิสิกส์

.....  
(ศาสตราจารย์ ดร.อมรรัตน์ พงศ์คุรา)  
คณบดีบัณฑิตวิทยาลัย

|                 |   |
|-----------------|---|
| ชื่อวิทยานิพนธ์ | สมบัติทางแม่เหล็กของหิน bazalt ในบางแหล่งของประเทศไทย |
| ผู้เขียน        | นายจิรพันธุ์ ศรีเทียม                                 |
| สาขาวิชา        | ธรณีฟิสิกส์   |
| ปีการศึกษา      | 2553  |

### บทคัดย่อ

ได้ศึกษาสมบัติทางด้านแม่เหล็กของหิน bazalt จากแหล่งหิน บริเวณต่างๆ ของประเทศไทยจำนวน 32 จุดเก็บตัวอย่าง เพื่อศึกษาสมบัติทางแม่เหล็กของหิน bazalt ที่คาดว่าจะมีความสัมพันธ์กับการเกิดของพลอย คอรันดัม ในประเทศไทย โดยทำการทดสอบหาค่าสภาพรับไว้ได้ทางแม่เหล็กและ พารามิเตอร์ แอนโอลอปปิ่งค่าสภาพรับไว้ได้ทางแม่เหล็ก ค่าแมgnีไฟเซชันตอกถังธรรมชาติ ทำการวิเคราะห์เกี่ยวกับแร่แม่เหล็กที่เป็นแร่ประกอบในหิน วิเคราะห์หาชาตุประกอบในตัวอย่างหิน

จากการศึกษาพบว่าตัวอย่างหิน bazalt ส่วนใหญ่มีค่าสภาพรับไว้ได้ทางแม่เหล็กสูง ในระดับ  $10^{-3}$  SI และคงคลุมแร่เฟอร์โรแมgnีติก เป็นแร่องค์ประกอบหลัก ในหิน โดยมีแร่แมgnีไฟต์ ( $Fe_3O_4$ ) และแร่กลุ่มไฟทาโน แมgnีไฟต์ ( $Fe_{3-x}Ti_xO_4$ ) เป็นแร่แม่เหล็ก โดยตัวอย่างหิน bazalt จากแหล่งหินที่เคยมีประวัติสัมพันธ์กับแหล่งพลอย จะมีแร่ไฟทาโน แมgnีไฟต์ ชนิดไฟทาเนียมสูง (TM60) เป็นแร่แม่เหล็ก หลัก ส่วนตัวอย่างหิน bazalt จากแหล่งหินที่ไม่เคยมีประวัติสัมพันธ์กับแหล่งพลอย จะมีแร่แมgnีไฟต์ ( $Fe_3O_4$ ) เป็นแร่แม่เหล็ก หลัก ค่าแมgnีไฟเซชันตอกถังธรรมชาติของตัวอย่างหิน ส่วนใหญ่มีค่าสูง ส่งผลให้มีเสถียรภาพทางแม่เหล็กสูง ซึ่งหินสามารถรักษาแมgnีไฟเซชันตอกถังเอาไว้ได้ ส่วนค่าพารามิเตอร์ แอนโอลอปปิ่ง (Pj-T) ของตัวอย่างหิน bazalt จากแหล่งหินที่เคยมีประวัติสัมพันธ์กับแหล่งพลอยจะมีค่า Pj สูงถึง 1.12 หรือมีสภาพแอนโอลอปปิ่งสูงถึง 12% จากผลของแร่แม่เหล็กประกอบในตัวอย่างหิน และผลของค่าพารามิเตอร์ แอนโอลอปปิ่ง และมีค่า Pj ค่อนข้างสูง คาดว่าจะเป็นตัวอย่างหิน bazalt ที่มีความสัมพันธ์กับการกำเนิดของพลอยในประเทศไทย

|                      |  |
|----------------------|--|
| <b>Thesis Title</b>  | Magnetic Properties of Basalts from Selected Locations in Thailand |
| <b>Author</b>        | Mr. Jirapan Sritiam  |
| <b>Major Program</b> | Geophysics   |
| <b>Academic Year</b> | 2010   |

### **Abstract**

Magnetic properties of basalts collected from 32 sites at selected locations in Thailand are examined. Measurements of the magnetic susceptibility ( $k$ ), the anisotropy of the magnetic susceptibility (AMS), and the natural remanent magnetization (NRM) are performed and analyses of the magnetic minerals and elemental composition of the rocks are made. The aim of this study is to utilize the magnetic properties of basalt rocks to be a reliable indicator for corundum-bearing basalt in Thailand.

The results of rock magnetic analyses show that the high magnetic susceptibilities of the basalt samples in an order of  $10^{-3}$  SI indicate ferromagnetic material present in the rocks. Magnetite ( $\text{Fe}_3\text{O}_4$ ) and titanomagnetites ( $\text{Fe}_{3-x}\text{Ti}_x\text{O}_4$ ) are found to be the main magnetic minerals in the studied basalts. Magnetic minerals in corundum-bearing basalts are Ti-rich titanomagnetites (TM60) and in non-corundum-bearing basalts magnetites ( $\text{Fe}_3\text{O}_4$ ). The high intensity values of the natural remanent magnetization indicate a high stability of the remanence. The AMS values of corundum-bearing basalts show a high anisotropy degree ( $P_j$ ) with 1.12 (12%). In summary, the corundum-bearing basalts in Thailand are characterized by the presence of Ti-rich titanomagnetites (TM60) with a high degree of the AMS.

## สารบัญ

|  | หน้า |
|--|------|
| สารบัญ   | (6)  |
| รายการตาราง  | (8)  |
| รายการภาพประกอบ  | (9)  |
| บทที่  |      |
| 1. บทนำ  | 1    |
| 1.1 ชนิดของหิน bazaltic  | 1    |
| 1.2 พื้นที่ศึกษา   | 5    |
| 1.3 ธรณีวิทยาทั่วไป  | 14   |
| 1.4 ทฤษฎีพื้นฐาน   | 23   |
| 1.5 การตรวจเอกสาร  | 29   |
| 1.6 วัตถุประสงค์   | 36   |
| 2. วิธีการวิจัย  | 37   |
| 2.1 วัสดุและอุปกรณ์ที่ใช้ในการทดลอง                                | 37   |
| 2.2 วิธีการทดลอง   | 37   |
| 3. ผลและการอภิปรายผล   | 45   |
| 3.1 ผลการวิจัยสมบัติแม่เหล็ก                                       | 45   |
| 3.1.1 ผลการวิจัยสมบัติแม่เหล็กขึ้นต้นของตัวอย่างหิน                | 45   |
| 3.1.2 เสถียรภาพทางแม่เหล็กของหิน bazaltic ที่ศึกษา                 | 48   |
| 3.1.3 ทิศทางของ AMS และพารามิเตอร์แอนไซโตรอปี Pj-T                 | 48   |
| 3.1.4 ทิศทางการไหลของ lava ขึ้นต้นจากผลของค่า AMS                  | 56   |
| 3.1.5 ค่าสภาพรับไว้ได้ทางแม่เหล็กที่อุณหภูมิต่างๆ                  | 66   |
| 3.1.6 ผลการลองล้างแมกนีไทเซชันตกค้างธรรมชาติด้วยสารนามแม่เหล็กสลับ | 66   |
| 3.1.7 ผลการวิเคราะห์ห้องค์ประกอบเคมีด้วย SEM-EDS                   | 70   |
| 3.2 วิเคราะห์ผลการวิจัย  | 75   |
| 3.2.1 ตัวอย่างหิน bazaltic จากจังหวัดนราธิวาส (NR)                 | 75   |
| 3.2.2 ตัวอย่างหิน bazaltic จากจังหวัดบุรีรัมย์ (BR)                | 76   |
| 3.2.3 ตัวอย่างหิน bazaltic จากจังหวัดสุรินทร์ (SR)                 | 78   |

## สารบัญ (ต่อ)

|  | หน้า      |
|--|-----------|
| 3.2.4 ตัวอย่างหินบะชอลต์จากจังหวัดอุบลราชธานี-ครีสตัล (UB)       | 79        |
| 3.2.5 ตัวอย่างหินบะชอลต์จากเด่นชัย (DC)                          | 81        |
| 3.2.6 ตัวอย่างหินบะชอลต์จากวิชัยรุสี (WB)                        | 82        |
| 3.2.7 ตัวอย่างหินบะชอลต์จากบ่อพลอย (BP)                          | 84        |
| 3.3 ผลการวิเคราะห์ค่าพารามิเตอร์แอนไซต์โรปีของหินบะชอลต์ที่ศึกษา | 86        |
| <b>4. สรุปผล</b>   | <b>88</b> |
| <b>4.1 สรุปผล</b>  | <b>88</b> |
| บรรณานุกรม   | 90        |
| ภาคผนวก  | 96        |
| ก สมบัติทางแม่เหล็ก  |           |
| ผลงานดีพิมพ์เผยแพร่จากวิทยานิพนธ์                                | 105       |
| ประวัติผู้เขียน  | 119       |

## รายการตาราง

| ตาราง  | หน้า |
|--|------|
| 1.1 แสดงตำแหน่งจุดเก็บตัวอย่างและชนิดของหิน bazaltic   | 13   |
| 1.2 แสดงอายุของหิน bazaltic ในประเทศไทย  | 22   |
| 3.1 ค่าเฉลี่ยสมบัติแม่เหล็กของตัวอย่างหิน bazaltic จากแหล่งต่างๆ ที่ศึกษา                                      | 45   |
| 3.2 The mean maximum and minimum axes of susceptibility ellipsoids   | 64   |
| 3.3 แสดงผลการวิเคราะห์ชาตุประกอบ (ในหน่วย%) ทั้งหมดของตัวอย่างหิน bazaltic ที่ศึกษานำมาลงแหล่งด้วยระบบ SEM-EDS | 70   |

## รายการภาพประกอบ

| ภาพประกอบ   | หน้า |
|---|------|
| 1.1 แสดงลักษณะโครงสร้างรอยแยกรูปเส้า บริเวณอำเภอทางร่อง จังหวัดบุรีรัมย์และบริเวณอำเภอวิเชียรบุรี จังหวัดเพชรบูรณ์                          | 4    |
| 1.2 แหล่งหิน bazalt ในบริเวณต่างๆของประเทศไทย   | 6    |
| 1.3 จุดเก็บตัวอย่างหินจากแหล่งหิน bazalt น้ำตกแม่สีมา   | 7    |
| 1.4 จุดเก็บตัวอย่างหินจากแหล่งหิน bazalt บุรีรัมย์และแหล่งหิน bazalt สุรินทร์   | 8    |
| 1.5 จุดเก็บตัวอย่างหินจากแหล่งหิน bazalt ศรีสะเกษ-อุบลราชธานี   | 9    |
| 1.6 จุดเก็บตัวอย่างหินจากแหล่งหิน bazalt เค่นชัย  | 10   |
| 1.7 จุดเก็บตัวอย่างหินจากแหล่งหิน bazalt วิเชียรบุรี  | 11   |
| 1.8 จุดเก็บตัวอย่างหินจากแหล่งหิน bazalt บ่อพลอย  | 12   |
| 1.9 ผลกระทบจากการเหนี่ยวนำจากสนามภายนอกกับอิฐแม่เหล็กเหนี่ยวนำที่เกิดในแต่ละระบบของผลึกแร่แมกนีไทต์แบบลูกบาศก์                              | 24   |
| 1.10 แสดงการวางแผนตัวของเกรนแม่เหล็กภายในทิศทางต่างกัน  | 25   |
| 1.11 แบบจำลองรูปทรงรีซิ่งภายในประกอบด้วยแกน 3 แกน   | 26   |
| 1.12 ความสัมพันธ์ของอุณหภูมิกับสภาพแม่เหล็กอิ่มตัวของแร่แมกนีไทต์และแร่อิมานาไทต์   | 27   |
| 1.13 สภาพแม่เหล็กอิ่มตัวและอุณหภูมิคู่รีของไททาโนแมกนีไทต์ ( $Fe_{3-x} Ti_x O_4$ ) ซึ่งขึ้นอยู่กับปริมาณของไทเทเนียม(x) ที่เป็นส่วนประกอบ   | 28   |
| 2.1 แสดงขั้นตอนการเก็บตัวอย่างหินชนิดวัดการวางแผนตัว (Oriented rock sample)   | 38   |
| 2.2 แสดงเครื่องตัด แต่งตัวอย่างหิน (bn) และตัวอย่างหินที่ได้จากการเจาะเก็บแกน และขึ้นตัวอย่างมาตรฐานจากการตัดแต่งขนาด 2.25 เซนติเมตร (ล่าง) | 40   |
| 2.3 เครื่องแมกนีโถมิตอร์แบบหมุนยื่นห้อ AGICO รุ่น JR-6  | 41   |
| 2.4 เครื่องวัดค่าสภาพรับไว้ได้ทางแม่เหล็ก ยื่นห้อ AGICO รุ่น KLY-3S Kappabridge   | 42   |
| 2.5 เครื่องคลบล้างอิฐแม่เหล็กแบบสนามสลับ ยื่นห้อ Molspin  | 43   |
| 3.1 การกระจายของค่า k จากตัวอย่างหิน bazalt แหล่งต่างๆ ที่ศึกษา   | 47   |
| 3.2 กราฟค่า k, NRM และ Q-value จากตัวอย่างหิน bazalt ที่ศึกษา   | 49   |
| 3.3 กราฟ Pj-T ของตัวอย่างหิน bazalt ที่ศึกษา  | 50   |

## รายการภาพประกอบ (ต่อ)

| ภาพประกอบ   | หน้า |
|---|------|
| 3.4 การกระจายทิศทางทรงรี AMS ของตัวอย่างหิน bazolite จังหวัดนราธสีมา (NR)                     | 51   |
| 3.5 การกระจายทิศทางทรงรี AMS ของตัวอย่างหิน bazolite วิเชียรบุรี (WB)                         | 51   |
| 3.6 การกระจายทิศทางทรงรี AMS ของตัวอย่างหิน bazolite จังหวัดบุรีรัมย์ (BR)                    | 52   |
| 3.7 การกระจายทิศทางทรงรี AMS ของตัวอย่างหิน bazolite จังหวัดสุรินทร์ (SR)                     | 53   |
| 3.8 การกระจายทิศทางทรงรี AMS ของตัวอย่างหิน bazolite จังหวัดอุบลราชธานี - ศรีสะเกย (UB)       | 54   |
| 3.9 การกระจายทิศทางทรงรี AMS ของตัวอย่างหิน bazolite เด่นชัย (DC)                             | 55   |
| 3.10 การกระจายทิศทางทรงรี AMS ของตัวอย่างหิน bazolite บ่อพลอย (BP)                            | 55   |
| 3.11 ทิศทางการไหลของ lava จากผลของค่า AMS ของหิน bazolite จังหวัดนราธสีมา                     | 56   |
| 3.12 ทิศทางการไหลของ lava จากผลของค่า AMS ของหิน bazolite บริเวณ ภูพระอังคาร จังหวัดบุรีรัมย์ | 57   |
| 3.13 ทิศทางการไหลของ lava จากผลของค่า AMS ของหิน bazolite บริเวณเขากะระโถง จังหวัดบุรีรัมย์   | 58   |
| 3.14 ทิศทางการไหลของ lava จากผลของค่า AMS ของหิน bazolite บริเวณเขานมสาวย จังหวัดสุรินทร์     | 59   |
| 3.15 ทิศทางการไหลของ lava จากผลของค่า AMS ของหิน bazolite บริเวณจังหวัด อุบลราชธานี-ศรีสะเกย  | 60   |
| 3.16 ทิศทางการไหลของ lava จากผลของค่า AMS ของหิน bazolite บริเวณอำเภอเด่นชัย                  | 61   |
| 3.17 ทิศทางการไหลของ lava จากผลของค่า AMS ของหิน bazolite บริเวณอำเภอวิเชียรบุรี              | 62   |
| 3.18 ทิศทางการไหลของ lava จากผลของค่า AMS ของหิน bazolite บริเวณอำเภอบ่อพลอย                  | 63   |
| 3.19 กราฟแสดงผลการทดสอบ thermo-magnetic ของหิน bazolite ที่ศึกษา                              | 67   |
| 3.19 (ต่อ) กราฟแสดงผลการทดสอบ thermo-magnetic ของหิน bazolite ที่ศึกษา                        | 68   |
| 3.20 กราฟแสดงการตอบล้าง NRM ด้วยสารเคมี เมื่อเหล็กสลับของตัวอย่างหิน bazolite ที่ศึกษา        | 69   |
| 3.21 ภาพรังสีเอกซ์เรย์แสดงผลการทดสอบของผลึกแร่ ในตัวอย่างหิน bazolite จาก นราธสีมา (S3-04)    | 71   |

## รายการภาพประกอบ (ต่อ)

| ภาพประกอบ   | หน้า |
|---|------|
| 3.22 สเปกตรัมรังสีเอกซ์เรืองของชาตุประกอบของผลึกแร่ในตัวอย่างหิน bazalt จากนครราชสีมา (S3-04)                     | 71   |
| 3.23 ภาพรังสีเอกซ์เรืองแสดงชาตุประกอบของผลึกแร่ในตัวอย่างหิน bazalt จากบุรีรัมย์ (S12-06)                         | 72   |
| 3.24 สเปกตรัมรังสีเอกซ์เรืองของชาตุประกอบของผลึกแร่ในตัวอย่างหิน bazalt จากบุรีรัมย์ (S12-06)                     | 72   |
| 3.25 ภาพรังสีเอกซ์เรืองแสดงชาตุประกอบของผลึกแร่ในตัวอย่างหิน bazalt จากวิเชียรบุรี (N6-10)                        | 73   |
| 3.26 สเปกตรัมรังสีเอกซ์เรืองของชาตุประกอบของผลึกแร่ในตัวอย่างหิน bazalt จากวิเชียรบุรี (N6-10)                    | 73   |
| 3.27 ภาพรังสีเอกซ์เรืองแสดงชาตุประกอบของผลึกแร่ในตัวอย่างหิน bazalt จากบ่อพลอย (N15-02)                           | 74   |
| 3.28 สเปกตรัมรังสีเอกซ์เรืองของชาตุประกอบของผลึกแร่ในตัวอย่างหิน bazalt จากบ่อพลอย (N15-02)                       | 74   |
| 3.29 ค่า Pj-T ของตัวอย่างหิน bazalt ที่ไม่สัมพันธ์กับแหล่งพลอย  | 86   |
| 3.30 ค่า Pj-T ของตัวอย่างหิน bazalt ที่สัมพันธ์กับแหล่งพลอย   | 87   |
| 3.31 แสดงการเปรียบเทียบ ค่า Pj-T ของตัวอย่างหิน bazalt ที่คาดว่าจะให้พลอย (เส้นประหนา) กับไม่ให้พลอย (เส้นประบาง) | 87   |

## บทที่ 1

### บทนำ

หิน bazalt (Basalt) เป็นหินอัคนีพุ (Extrusive rocks) หรือหินภูเขาไฟชนิดหนึ่ง (Volcanic rocks) ที่มีความสำคัญทั้งในด้านวิชาการและทางด้านเศรษฐกิจ เพราะเป็นปัจจัยสำคัญในการเป็นตัวนำพาแร่หรือน้ำแร่ชนิดต่างๆ จึงเป็นหินต้นกำนิดของพลอยคริสตัล (Corundum) พวกไพลิน (Sapphire) หับทิน (Ruby) และพลอยสปินেล (Spinel) นอกจากนี้ยังเป็นหินประดับได้อีกร่วมทั้งมีลักษณะ โครงสร้างทางธรณีวิทยาที่เด่นชัด เลพะตัวหาได้ยาก มีรูปร่างแปลกและสวยงาม น่าศึกษาเป็นแหล่งอ้างอิงทางวิชาการ แหล่งวิจัย เป็นแหล่งมีค่าทางภูมิศาสตร์ ปัจจุบันเป็นสถานที่ท่องเที่ยวที่ควรได้รับการอนุรักษ์มากกว่าให้ผุพังไปตามธรรมชาติ (ต่อศักดิ์ ประสมทรัพย์, 2548)

#### 1.1 ชนิดของหิน bazalt

หิน bazalt เป็นหินอัคนีพุเที่ยงเท่ากับหินอัคนีแทรกซ้อน (Intrusive rocks) ชนิดหินแกรนิต (Granite) เกิดจากลาวาหรือหินหนืดที่พุพันเปลือกโลกขึ้นมา แล้วแข็งตัวอยู่บนผิวโลก หิน bazalt จะแข็งตัวที่อุณหภูมิประมาณ 1,000 °C การเย็นตัวของหินหนืดจะเกิดขึ้นอย่างรวดเร็ว ทำให้ได้ผลึกแร่เม็ดละเอียดหรือเนื้อดอก หิน bazalt มีสีเทา-เทาดำ มักพบมีรูพรุน ซึ่งอาจมีแร่ทุติยภูมิเกิดในรูพรุนหรือไม่มีก็ได้ จัดเป็นหินชนิดเบส (basic rock) ประกอบด้วยแร่หลักคือแร่แพลจิโอเคลส (Plagioclase)  $(\text{Na}, \text{Ca})(\text{Si}, \text{Al})\text{AlSi}_2\text{O}_8$  ไพรอกซีน (Pyroxenes)  $((\text{Ca}, \text{Na})(\text{Mg}, \text{Fe}, \text{Al})(\text{Al}, \text{Si})_2\text{O}_6$  และเหล็กออกไซด์ (Iron oxide)  $\text{Fe}_2\text{O}_3, \text{Fe}_3\text{O}_4, \text{Fe}_2\text{TiO}_3$  อาจพบไอลิวิน  $((\text{Mg}, \text{Fe})_2\text{SiO}_4$  หรือไม่มีก็ได้ บางทีพบแก้วภูเขาไฟ (volcanic glass) ในเนื้อหิน เรียกชื่อตามส่วนประกอบของเริ่มพน เช่น หินไอลิวิน bazalt หินแอลคาไลน์ bazalt เป็นต้น

หิน bazalt จำแนกได้เป็น 4 ชนิด ตามองค์ ประกอบทางเคมีของหินโดยใช้ส่วนประกอบของพวกร่าง (alkaline) เช่น ชาตุโซเดียมและโพแทสเซียม (Nockolds และคณะ, 1978) ดังนี้คือ

- 1.) หินแอลคาไลน์ bazalt (alkaline basalt)
- 2.) หิน bazalt โทลิโอลิต (tholeiitic basalt)
- 3.) หินแคลคล์แอลคาไลน์ bazalt (calc-alkaline basalt) ที่เกิดร่วมกับหินแอนดีไซต์ที่สัมพันธ์กับบริเวณที่เกิดภูเขา (orogenic region) และหมู่เกาะรูปโค้ง (island arc)

#### 4.) หิน bazaltic komatiite ไอต์ (basaltic komatiite)

##### หินแอลคาไลน์ bazaltic

เนื้อหินมักเป็นแบบเนื้อดอก intergranular และ ophitic ประกอบด้วยแร่ อะลิวิน เป็นส่วนใหญ่พบทั้งผลึกดอกและเนื้อพื้น แร่แพลจิโอเคลสที่มีเคลเซียมสูงชนิดแอบราโดไอล์ต์ แอนดีเซิน และแร่ ไฟrocซินพากอ ใจต์ที่มีไทเทนเนียมและอัลミニเนียม และพบเนฟลินในค่าปริมาณมาตรฐาน (norm) เช่น หิน bazanite (basanite) หิน bazanitoid (basanitoid) หิน nanophyllite (nepheline) หิน hairy ไอต์ (hawaiite) และหิน mugearite (mugearite) เป็นต้น

หิน bazanite เป็นหินอัคนีพุหรือหินภูเขาไฟ ในกลุ่มหินแอลคาไลน์ bazaltic เนื้อละเอียดคล้ายแอลคาโลโลวิน bazaltic (แต่พบเนฟลินในค่าปริมาณมาตรฐานมากกว่า) เป็นพากที่มีซิลิกาไม่อิ่มตัว (undersaturated silica) ประกอบด้วยแร่หลัก เป็นแพลจิโอเคลส เฟลเดอร์สปาร์ชนิดและราโดไอล์ต์และไบโทว์ไนต์

หิน bazanitoid เป็นหินอัคนีพุเหมือนหิน bazanite แต่ประกอบด้วย แร่เฟลเดอร์สปาร์ทอยด์มากกว่า 10% โดยปริมาตร แร่ อะลิวินและแร่ ไฟrocซิน พบร่วมกับซิลิกาที่มีส่วนประกอบเป็นแก้วภูเขาไฟที่มีโซเดียมสูงแทนแร่เฟลเดอร์สปาร์ทอยด์

หิน nanophyllite เป็นหินอัคนีพุในกลุ่มหิน bazaltic เป็นหินที่มีแร่สีเข้ม (mafic rock) จัดเป็นพากมีซิลิกาน้อย มีแร่เนฟลินมากกว่าหิน bazanite ประกอบด้วยแร่หลัก เป็นแร่เฟลเดอร์สปาร์ทอยด์ มักเป็นแร่เนฟลิน ไฟrocซิน (มี Na-Ti-Al rich clinopyroxene) อะลิวิน อาจพบแร่เฟลเดอร์สปาร์ชนิดแพลจิโอเคลสประมาณร้อยละ 10 และแก้วภูเขาไฟ แร่ส่วนน้อย (accessory mineral) เป็นเหล็ก-ไทเทนเนียมออกไซด์

หิน hairy ไอต์ เป็นหินอัคนีพุในกลุ่มหิน bazaltic ประกอบด้วยแร่หลัก เป็นแร่ อะลิวิน ไฟrocซิน (แร่ออกไซด์) เฟลเดอร์สปาร์ เป็นแพลจิโอเคลสชนิดแอนดีเซิน ส่วนประกอบจะมีปริมาณซิลิกาค่อนข้างสูงกว่าหิน bazaltic ชนิดอื่นๆ บางที่เรียก andesitic basalt

หิน mugearite เป็นหินอัคนีพุในกลุ่มหิน bazaltic ประกอบด้วยแร่หลักคือ แร่ อะลิวิน ไฟrocซิน (แร่ออกไซด์) เฟลเดอร์สปาร์ เป็นแพลจิโอเคลสชนิด อะลิโอกเคลส ส่วนประกอบจะมีปริมาณซิลิกาค่อนข้างสูงกว่าหิน bazaltic ชนิดอื่นๆ บางที่เรียก andesitic basalt

##### หิน bazaltic ไอต์ หรือ subalkaline basalt

หิน bazaltic ไอต์ ประกอบด้วยแร่ ไคลโนไฟrocซินที่มีเคลเซียมต่ำ ซึ่งมักเป็นแร่ออกไซด์และพิจิօไนต์ แร่ออกไซด์เกิดเป็นแร่ดอก ส่วนแร่พิจิօไนต์เกิดเป็นเนื้อพื้น อาจพบแร่ออกไซด์ไฟrocซินพาก ไฮเปอร์สทีนซึ่งมักเกิดเป็นเนื้อดอก แร่แพลจิโอเคลสที่มีเคลเซียมสูงชนิดไบโทว์ไนต์และราโดไอล์ต์พบทั้งผลึกดอกและเนื้อพื้น เนื้อพื้นมักเป็นห้องแร่และราโดไอล์ต์ ไม่

พบแร่ ไอโอลิวินหรือถ้ามีก็จะมีปริมาณน้อย แร่เหล็กมักเป็นแมกนีไทต์ ( $Fe_3O_4$ ) หรืออิลเมไนต์ ( $FeTiO_3$ ) เนื้อพื้นมักพบแก้วุ้งขาไฟสีน้ำตาล ในค่าปริมาณมาตรฐานไม่พบพวกเฟล็คส์ปาร์ทอยด์ มีเหล็กและซิลิกาสูงเมื่อเทียบกับพวกหิน bazalt ชนิดต่าง มักเกิดระเบิดหรือพุขึ้นเป็นบริเวณพื้นที่กว้างใหญ่

### หินแคลกก์และคลาไลน์ bazalt

หินแคลกก์และคลาไลน์ bazalt เป็นหินแคนดิไซต์ที่สัมพันธ์กับบริเวณที่เกิดภูเขาและหมู่เกาะรูปโถง พากหินแคนดิไซต์ เดไซต์และไรโอเดไซต์ จะคล้ายหินโลหิโอดีต์ bazalt ทางด้านวิทยาเร่ แต่จะมีแร่ไฟรอคชินน้อยกว่าและแร่แพลจิโอเคลสมากกว่า พบแร่ออร์โทไฟรอคชินค่อนข้างมากกว่า ไอโอลิวิน ซึ่งพบเป็นส่วนประกอบส่วนน้อยไม่พบเป็นแหล่ง ในเนื้อพื้นมักเป็นแร่ออร์โทไฟรอคชินมากกว่าแร่พิจิօอไนต์ หินแคลกก์และคลาไลน์ bazalt มักเกิดระเบิดหรือพุขึ้นเป็นบริเวณเล็กๆ

### หิน bazaltic โคมาทิไอต์

หิน bazaltic โคมาทิไอต์เป็นกลุ่มลava ของพาก เมฟิกและอัลตรามาฟิก เกิดเป็นพนังแทรกชั้น (sill) หิน bazaltic โคมาทิไอต์มักพบว่ามีการสลายตัวและถูกแปรสภาพไป แต่ยังพบที่มีลักษณะเนื้อหินหรือโครงสร้างเดิม เช่น ลาวาภูมอน (pillow lava) องค์ประกอบเป็นแร่ไฟรอคชิน พากแร่ไดอะป์ไซต์ที่มีอะลูมิเนียมสูงและมีโครงเมียมด้วย แร่แพลจิโอเคลส ไอโอลิวิน เหล็กออกไซต์ และแก้วุ้งขาไฟ

### ประโยชน์ของหิน bazalt

หิน bazalt มีความสำคัญทึ้งในด้านวิชาการและทางเศรษฐกิจ เช่น เป็นหินศูนย์กำเนิดของพลอยคอร์นดัม พากไฟลิน หับทิน พลอยสปีเนลและนิล ปัจจุบันยังมีการทำเหมืองพลอยแซปไฟร์ ที่จังหวัดจันทบุรี กาญจนบุรี พร้อมเป็นต้นหิน bazalt ใช้เป็นหินก่อสร้าง และหินประดับในบริเวณจังหวัดบุรีรัมย์ สารแก้ว นำไปสร้างถนนและอาคารสิ่งก่อสร้าง

จากลักษณะโครงสร้างทางธรณีวิทยาของหิน bazalt ที่เด่นชัดเฉพาะตัว มีรูปร่างแบลกและสวยงาม บางทีอาจเป็นเอกลักษณ์หรือสัญลักษณ์ของท้องถิ่น จึงเป็นแหล่งวิจัยและอ้างอิงทางวิชาการ เป็นแหล่งมีค่าทางภูมิศาสตร์ เป็นมรดกธรรมชาติทางธรณีวิทยา ซึ่งเป็นแหล่งท่องเที่ยวทางธรณีวิทยา เช่น เป็นปล่องภูเขาไฟ โครงสร้างรอยแยกรูปเส้า (gap ประกอบ 1.1) ลาวาภูมอนหรือลักษณะการไหลของลava แบบเกลียวเชือก เช่น ปล่องภูเขาไฟ คอกหินฟู ปล่องภูเขาไฟจำปา แดด จังหวัดลำปาง ภูพระอังคาร เขานมรุ้ง จังหวัดบุรีรัมย์ และโครงสร้างรอยแยกรูปเส้าที่อำเภอ

วิเชียรบุรี จังหวัดเพชรบูรณ์ ที่วัดแสนตุ่น อำเภอเขาสามิng จังหวัดตราด ที่อำเภอหนองรอง จังหวัดบุรีรัมย์ เป็นต้น



**ภาพประกอบ 1.1** แสดงลักษณะ โครงสร้างรอยแยกรูปเส้า (columnar jointing) บริเวณอำเภอหนองรอง จังหวัดบุรีรัมย์ (บน) และบริเวณอำเภอวิเชียรบุรี จังหวัดเพชรบูรณ์ (ล่าง)

## 1.2 พื้นที่ศึกษา

หิน bazalt เป็นหินอัคนีพุ่มหายุคชีโนโซอิก (Cenozoic Extrusive Rocks) เกิดขึ้นในบริเวณต่างๆของประเทศไทย เช่น บริเวณที่สูงภาคเหนือและภาคตะวันตก บริเวณที่อุอกเขา เพชรบูรณ์ บริเวณภาคตะวันออกและบริเวณด้านใต้ของที่ราบสูงโคราช ดังภาพประกอบ 1.2 โดยในงานวิจัยครั้งนี้ ได้ทำการเก็บตัวอย่างหิน bazalt แบบเก็บแกนและวัดมุมการวางตัว (Oriented core sampling) ในบริเวณต่างๆดังนี้

แหล่งหิน bazalt ต้น kra chae (NR) (3 Sites; S1, S2 และ S3) ในบริเวณอำเภอไชยชาญและอำเภอหนองบูรณากลักษณะเป็นเหมือนหิน (quarry) เพื่อการอุตสาหกรรมซึ่งยังเปิดทำการอยู่

แหล่งหิน bazalt บูรีรัมย์ (BR) (7 Sites) แบ่งเป็นสอง บริเวณ คือ บริเวณเขากระโดง ในเขตอำเภอเมือง (5 Sites; S11, S12, N9, N10 และ T2) และบริเวณเขาภูพระอังคาร (3 Sites; T1, S4 และ S5) ในเขตอำเภอเฉลิมพระเกียรติ โดยมีลักษณะ เป็นเหมือนหินเพื่อการอุตสาหกรรมซึ่งยังเปิดทำการอยู่

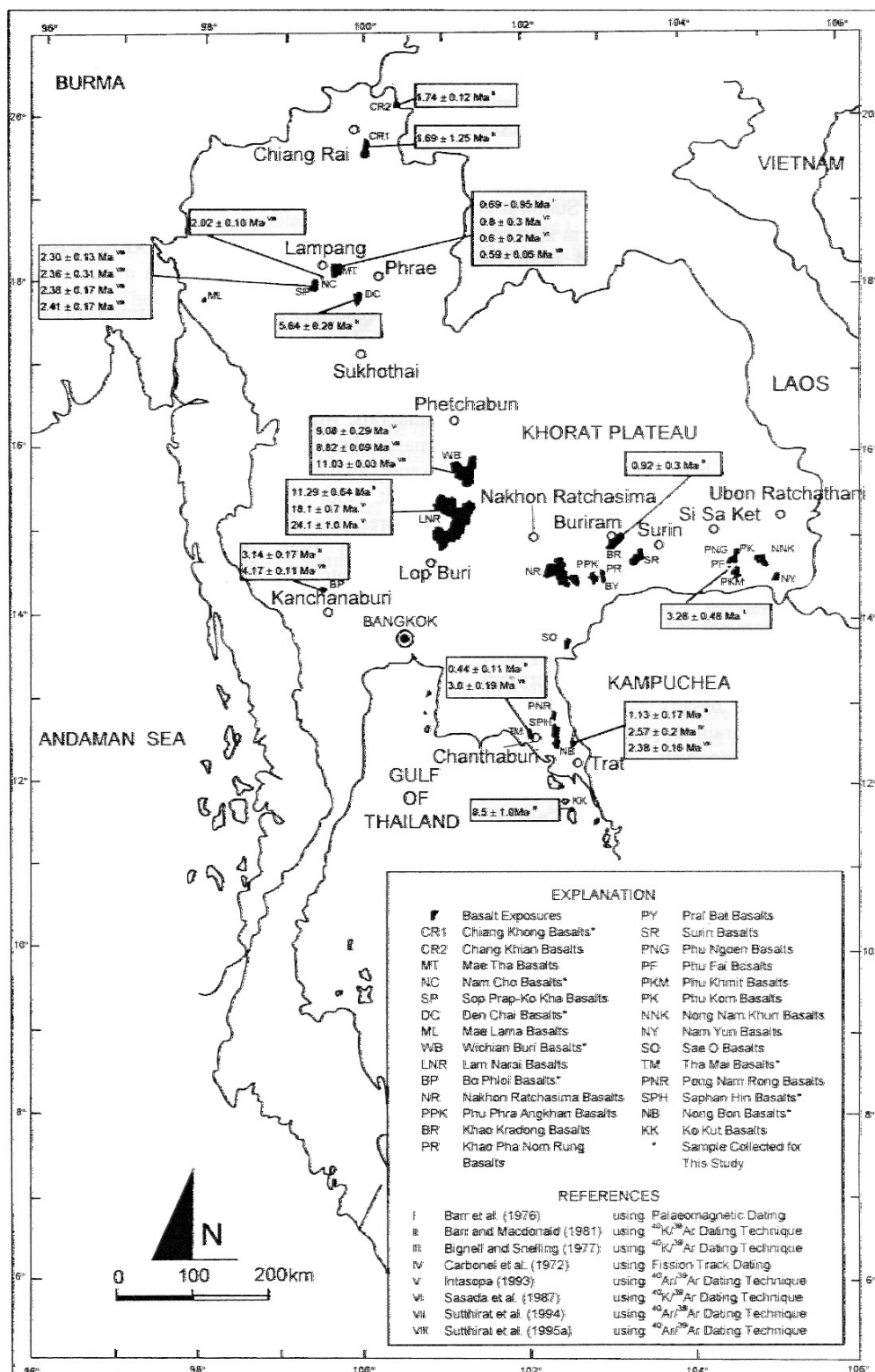
แหล่งหิน bazalt สุรินทร์ (SR) (5 Sites; N11, N12, N13, T3 และ T4) ในบริเวณเขานมสวาย เขตอำเภอเมืองและอำเภอปราสาท ลักษณะเป็นเหมือนหินเพื่อการอุตสาหกรรมซึ่งยังเปิดทำการอยู่

แหล่งหิน bazalt อุบลราชธานี-ศรีสะเกษ (UB) (7 Sites) แบ่งเป็นสองบริเวณ คือ ในเขตบริเวณอำเภอน้ำยืนและอำเภอน้ำสุ่น จังหวัดอุบลราชธานี (6 Sites; S6, S7, S8, S9, S10 และ T6) และในบริเวณอำเภอ กันทรลักษณ์ จังหวัดศรีสะเกษ (Sites T5) ลักษณะเป็นเหมือนหินเพื่อการอุตสาหกรรมซึ่งส่วนใหญ่ยังเปิดทำการอยู่

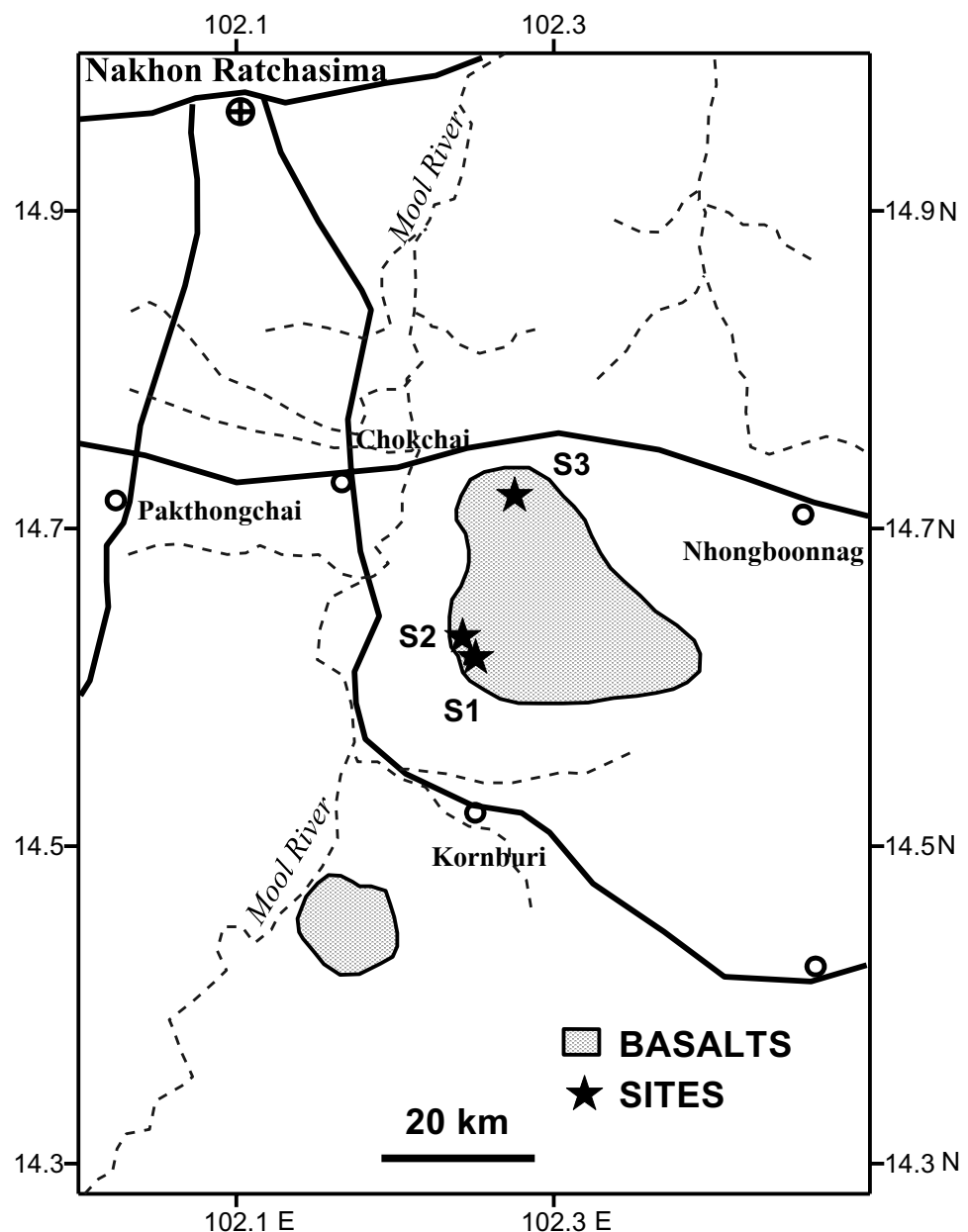
แหล่งหิน bazalt เด่นชัย (DC) (5 Sites; N1, N2, N3, N4 และ N5) บริเวณเส้นทางหลวงสายสุโขทัย-เด่นชัย ในเขตอำเภอวังชิ้นและอำเภอเด่นชัย ลักษณะเป็นหินที่เกิดจาก การตัดถนนลาดผ่าน (roadcut)

แหล่งหิน bazalt วิเชียรบุรี (WB) (3 Sites; N6, N7 และ N8) ในเขตอำเภอวิเชียรบุรี มีลักษณะเป็นหินที่เกิดจากการตัดถนนลาดผ่าน (roadcut) และเป็นหินโผล (outcrop rock)

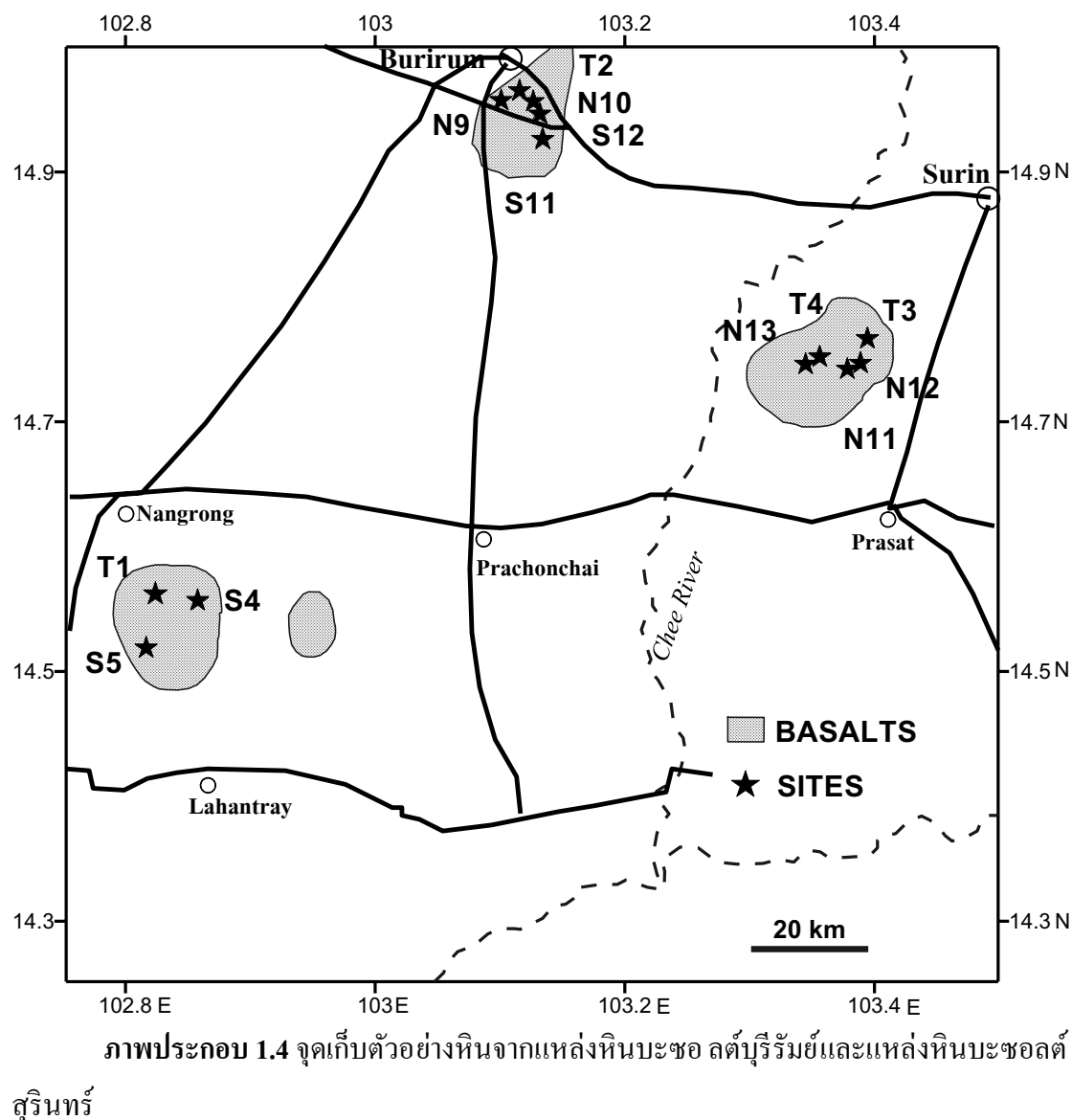
แหล่งหิน bazalt บ่อพลอย (BP) (2 Sites; N14 และ N15) ในเขตอำเภอบ่อพลอย มีลักษณะเป็นหินโผล (outcrop rock) แบบลานลาวา

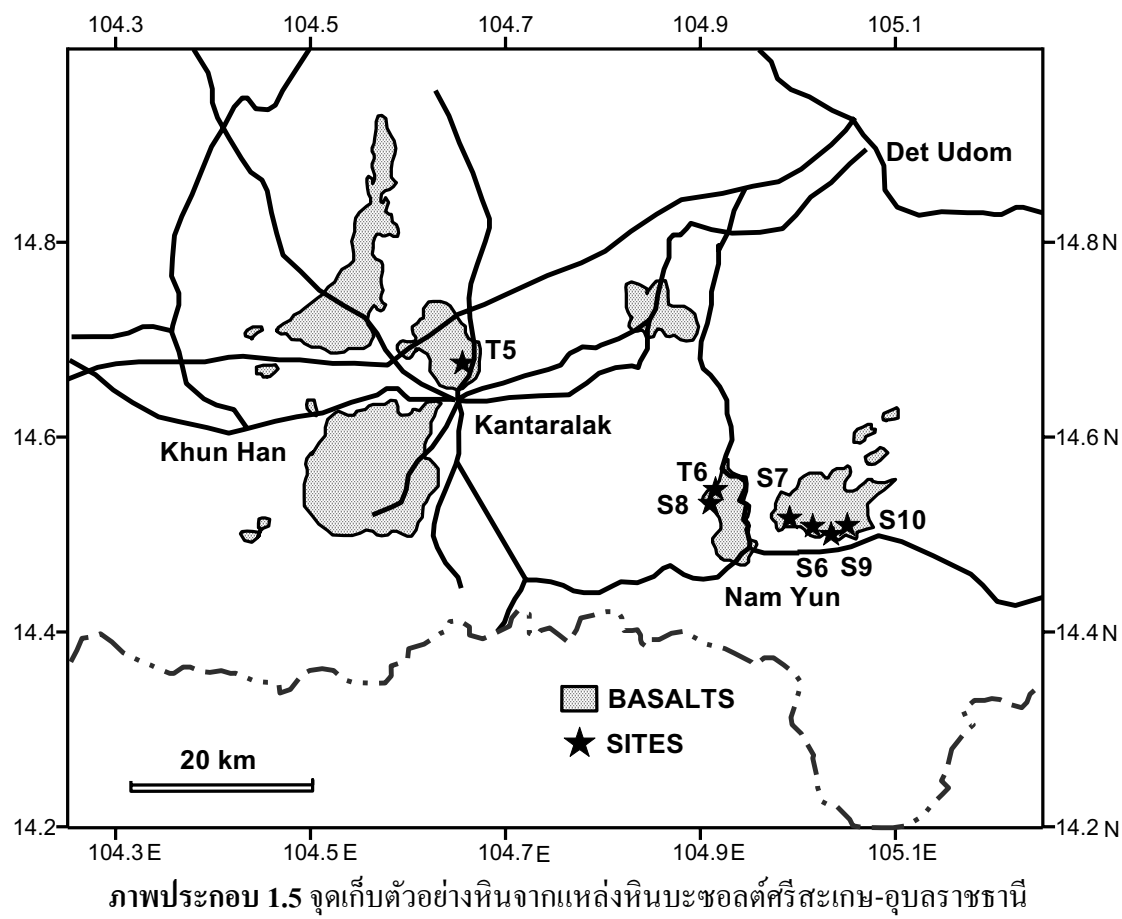


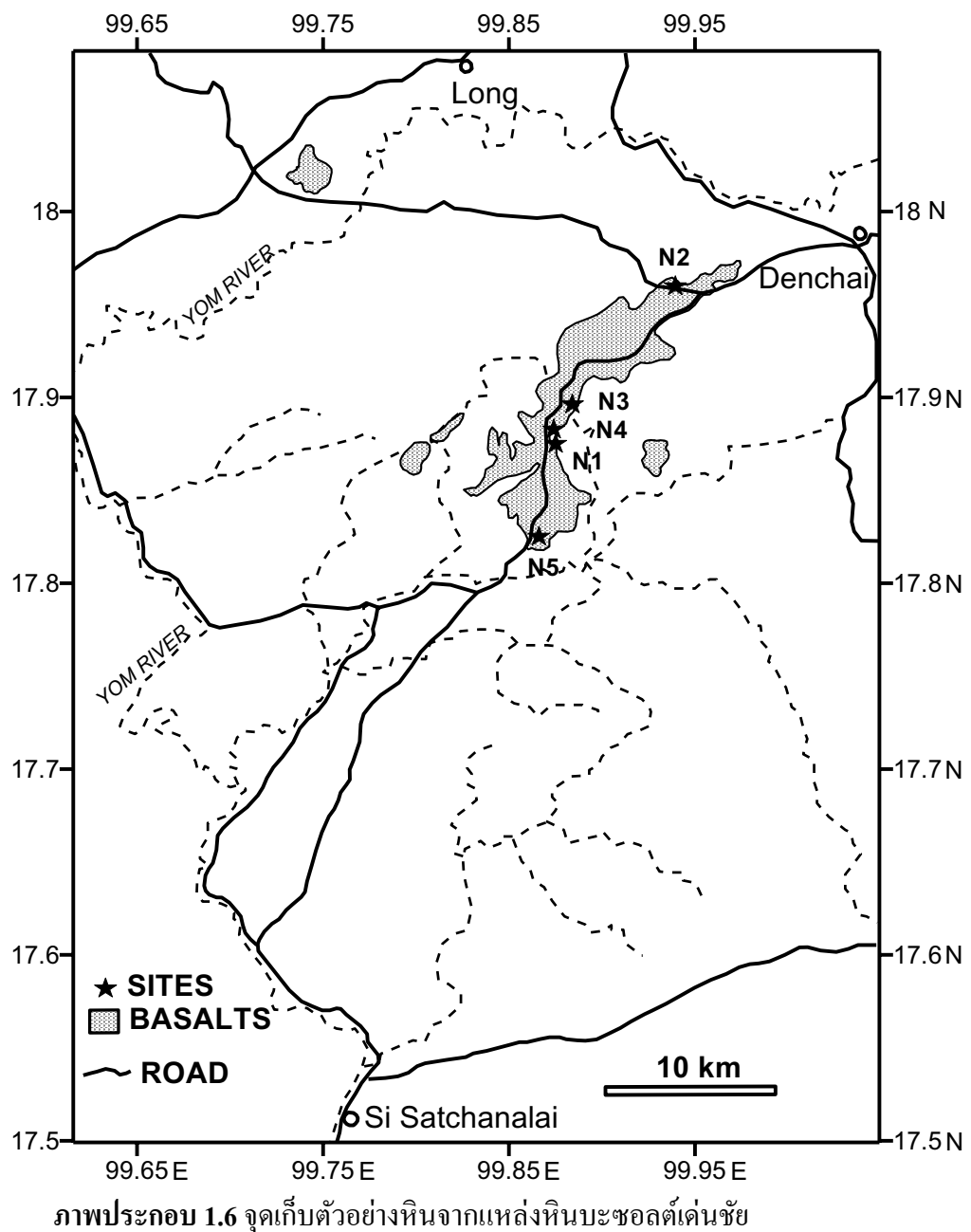
ภาพประกอบ 1.2 แหล่งหิน bazalt ในบริเวณต่างๆของประเทศไทย (Jungyusuk and Khositanont, 1992)

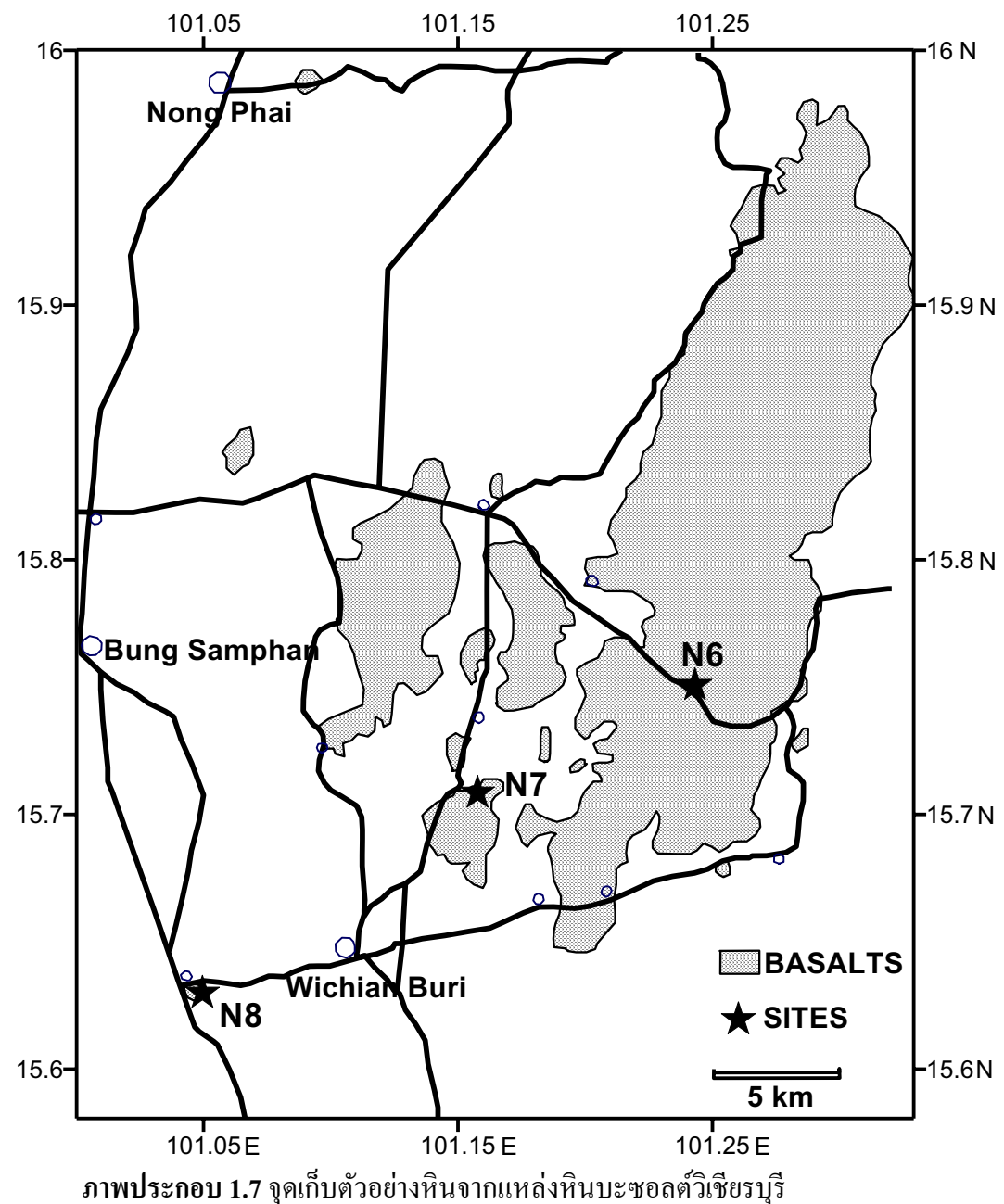


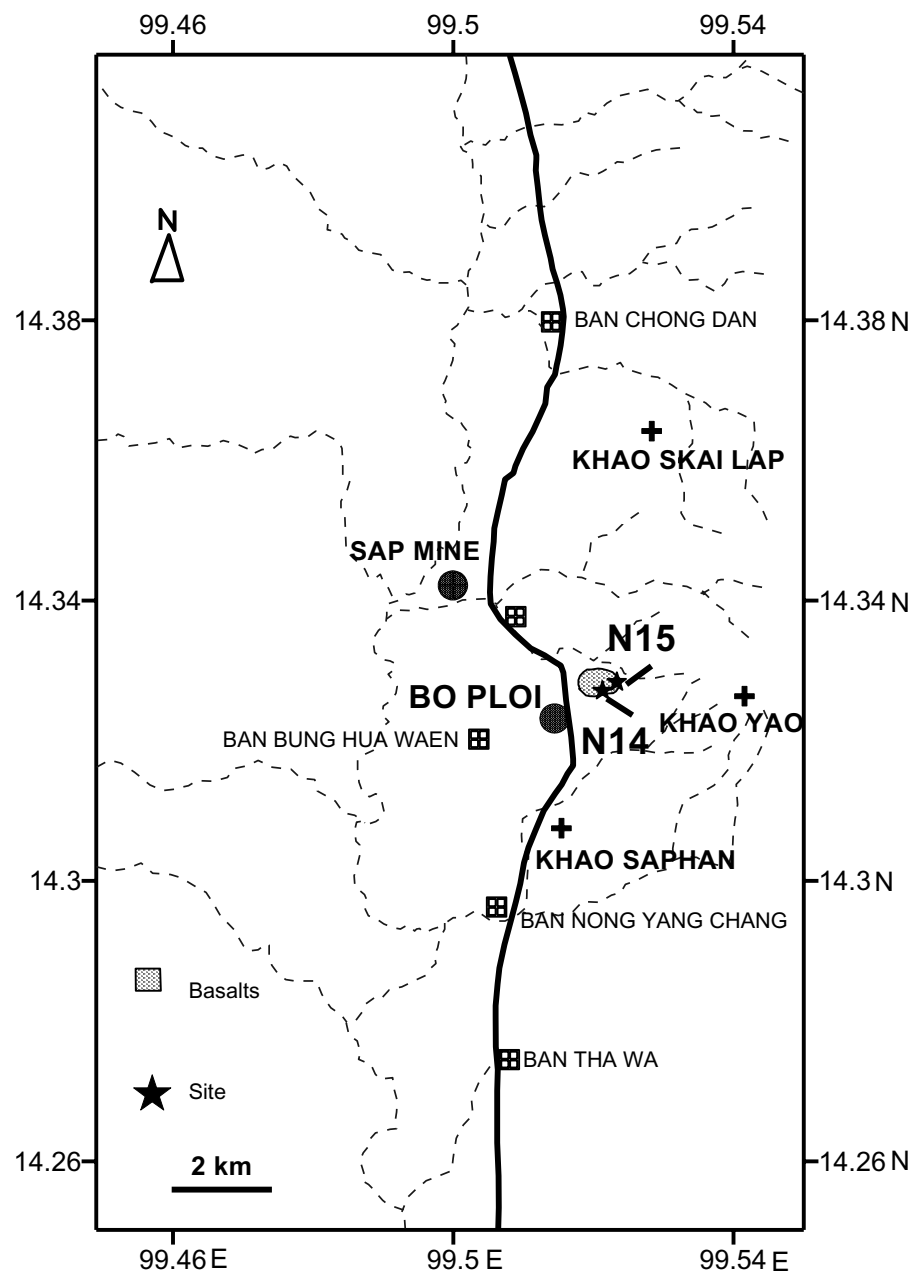
ภาพประกอบ 1.3 จุดเก็บตัวอย่างหินจากแหล่งหิน bazaltic ครรภสีมา











ภาพประกอบ 1.8 จุดเก็บตัวอย่างหินจากแหล่งหิน bazaltic boulders

**ตาราง 1.1** แสดงตำแหน่งจุดเก็บตัวอย่างและชนิดของหิน bazalt (Saminpanya, 2000)

| จุดเก็บตัวอย่าง (Site)           | ละติจูด/ลองติจูด (N/E) | ชนิดของตัวอย่างหิน |
|----------------------------------|------------------------|--------------------|
| นครราชสีมา<br>(NR)               | S1                     | 14.620 / 102.234   |
|                                  | S2                     | 14.625 / 102.235   |
|                                  | S3                     | 14.724 / 102.275   |
| บุรีรัมย์<br>(BR)                | S4                     | 14.556 / 102.848   |
|                                  | S5                     | 14.520 / 102.806   |
|                                  | S11                    | 14.927 / 103.132   |
|                                  | S12                    | 14.949 / 103.126   |
|                                  | N9                     | 14.958 / 103.105   |
|                                  | N10                    | 14.956 / 103.125   |
|                                  | T1                     | 14.568 / 102.810   |
|                                  | T2                     | 14.962 / 103.118   |
|                                  | N11                    | 14.747 / 103.384   |
|                                  | N12                    | 14.751 / 103.391   |
| (SR)                             | N13                    | 14.746 / 103.345   |
|                                  | T3                     | 14.769 / 103.392   |
|                                  | T4                     | 14.754 / 103.355   |
|                                  | S6                     | 14.514 / 105.015   |
|                                  | S7                     | 14.526 / 104.995   |
| อุบลราชธานี-<br>ศรีสะเกษ<br>(UB) | S8                     | 14.549 / 104.912   |
|                                  | S9                     | 14.506 / 105.028   |
|                                  | S10                    | 14.512 / 105.033   |
|                                  | T5                     | 14.676 / 104.647   |
|                                  | T6                     | 14.544 / 104.911   |
| เด่นชัย<br>(DC)                  | N1                     | 17.879 / 99.877    |
|                                  | N2                     | 17.953 / 99.961    |
|                                  | N3                     | 17.899 / 99.890    |
|                                  | N4                     | 17.886 / 99.878    |
|                                  | N5                     | 17.831 / 99.870    |

|                     |                |  |                                    |
|---------------------|----------------|--|------------------------------------|
| วิเชียรบุรี<br>(WB) | N6<br>N7<br>N8 | 15.757 / 101.245<br>15.717 / 101.157<br>15.639 / 101.047 | Alkali olivine basalt,<br>hawaiite |
| บ่อพลอย<br>(BP)     | N14<br>N15     | 14.328 / 99.522<br>14.328 / 99.524                       | Nepheline hawaiite,<br>basanitoid  |

### 1.3 ธรณีวิทยาโดยทั่วไป

หินอัคนีพุ่มหายุคชีโนในโชอก (Cenozoic Extrusive Rocks) หินภูเขาไฟที่เกิดขึ้นในบริเวณต่างๆ ของประเทศไทยในช่วงหลังสุดนี้ มีส่วนประกอบเป็นหิน bazalt โดยเกิดเป็นบริเวณเล็กๆ กระจายในบริเวณที่สูงภาคเหนือ และภาคตะวันตก บริเวณเทือกเขาเพชรบูรณ์ บริเวณภาคตะวันออกและบริเวณด้านใต้ของที่ราบสูงโคราช โดยทั่วไปหิน bazalt ที่เกิดขึ้นสามารถแบ่งได้เป็น 2 กลุ่ม (Barr and Macdonald, 1978) คือ กลุ่มหิน bazalt ที่เกี่ยวข้องกับแร่พลอย (Gems bearing) ได้แก่ หิน bazanite บล็อกหิน bazalt (basanitoid basalts) ซึ่งแบ่งออกได้เป็นหิน nefelinite (nepheline) หิน bazanite (basanite) หิน nefelinite ขาวัยไอต์ (nepheline hawaiite) และหิน nefelinite เมօเกียร์ (nepheline mugearite) และกลุ่มหิน bazalt ที่ไม่เกี่ยวข้องกับแร่พลอย (Gems barren) ได้แก่ ขาวัยไอต์ bazalt (hawaiite basalts) ซึ่งได้แก่หินแอลคาไลน์ โลลีวีน bazalt (alkali olivine basalt) หินขาวัยไอต์ (hawaiite) และหินเมօเกียร์ (mugearite) ส่วนหินโทเลอิติก bazalt (tholeiitic basalts) พบเป็นบริเวณเล็กๆ อยู่บ้าง (กรมทรัพยากรัฐวิถี, 2550)

#### บริเวณภาคเหนือ (The Northern Region)

หิน bazalt ที่เกิดในพื้นที่ภาคเหนือ พบริเวณตามจังหวัดต่างๆ ได้แก่ จังหวัดลำปาง จังหวัดแพร่ จังหวัดเชียงราย และบริเวณหมู่บ้านแม่ลามา จังหวัดแม่ฮ่องสอน

หน่วยหิน bazalt เชียงราย (Chiangrai basalts) หิน bazalt ในบริเวณจังหวัดเชียงราย พบริเวณเป็นพื้นที่เล็กๆ คลุ่มพื้นที่ประมาณ 50 ตารางกิโลเมตร ที่บริเวณบ้านช่างเคียน อำเภอเทิง หิน bazalt นี้ แหล่งปิดทับหินตะกอนประเภทหินทราย หินดินดาน และหินปูนยุคเพอร์เมี่ยน ไทรแอฟซิค ลักษณะหิน bazalt มีเนื้อละเอียด สีเทาอ่อน และมักจะมีรูพรุน เมื่อมองดูภายใต้กล้องจุลทรรศน์ จะพบแร่ประกอบหินคือ แร่แพลจิโอเคลสแเพงเล็กๆ แร่ไคลโนไพรอกซิน แร่แมกนีไทต์ แร่โลลีวิน และแร่คลอไรต์เพียงเล็กน้อย หิน bazalt บริเวณบ้านช่างเคียนถูกจัดให้อยู่ในพวกหินโทเลอิติก bazalt (Barr and Macdonald, 1978)

หน่วยหิน bazalt ลต์ ลำปาง (Lampang basalts) หิน bazalt ที่พบในเขตจังหวัด ลำปางคลุมพื้นที่สองบริเวณคือ บริเวณทางด้านตะวันออกเฉียงใต้ของจังหวัดลำปาง ประมาณ 12 กิโลเมตร ได้แก่ บริเวณอำเภอเมือง ซึ่งหิน bazalt ประกอบคลุมพื้นที่ประมาณ 20 ตารางกิโลเมตร ซึ่งเรียกหิน bazalt บริเวณนี้ว่า แม่ทะ bazalt (Mae Tha basalt) ส่วนบริเวณที่สองอยู่ด้านตะวันตกเฉียงใต้ของจังหวัดลำปาง ประมาณ 33 กิโลเมตร บริเวณเส้นทาง หลวงสายลำปาง-สบปราบ ซึ่งหิน bazalt ประกอบคลุมพื้นที่ประมาณ 90 ตารางกิโลเมตร เรียกหิน bazalt บริเวณนี้ว่า สบปราบ bazalt (Sop Prap basalt)

หิน bazalt แม่ทะ (Mae Tha basalts) ประกอบคลุมพื้นที่บริเวณบ้านพาลาด และตามเส้นทางบ้านพาลาด-บ้านแม่เมะ หิน bazalt ประกอบจากกล่องภูเขาไฟลูกเล็กๆ 2 ลูกคือ กล่องภูเขาไฟพาcockหินฟู และกล่องภูเขาไฟพาcockจำป้าแಡด ซึ่งภูเขาไฟทั้งสองลูกนี้เรียงตัวกันในแนวเหนือใต้ หิน bazalt ประกอบคลุมหินภูเขาไฟยุคเพอร์เมียน-ไทรแอลซิก หินปูนยุคเพอร์เมียน และหินตะกอนยุคเทอร์เชียร์ และบริเวณฝั่งน้ำแม่จาง หิน bazalt ประกอบปิดทับ ชั้นกรวดของยุคควาเทอร์นาร์ ลักษณะหินแม่ทะ bazalt มีเนื้อละเอียด สีเทาดำถึงดำ มีรูพรุนมาก บริเวณใกล้ๆ ปากกล่องภูเขาไฟจะพบรูพรุนมาก (scoriaceous และ vesicular) หิน bazalt ประกอบด้วยผลึกของแร่อลิвин ฝังตัวในเนื้อหินประกอบด้วยแร่แพลจิโอเคลสเกิดเป็นแท่งเล็ก ๆ แร่ไคลโนไพรอกซิน และแมกนีไทต์ และแก้ว ส่วนประกอบทางเคมีของหิน bazalt เป็นพาก นาชาไนต์ (Barr and Macdonald, 1978)

หิน bazalt สบปราบ (Sop Prap basalt) มีลักษณะการประกอบเป็นชั้นๆ อยู่หลายชั้น สีเทาดำถึงดำ มีรูพรุนมาก เวลาผุจจะให้สีน้ำตาลแดง พากที่มีรูพรุนมากมักจะพบบริเวณ ช่วงบนของชั้นและพบหินเพริโอดไทต์ และเลอซูลิต เป็นชั้นเล็กๆ ในหินสบปราบ bazalt และหินแม่ทะ bazalt (Vichit และคณะ, 1978) Barr and Macdonald (1978) ได้จำแนกหิน bazalt บริเวณนี้เป็นพากษาวยไอต์ แต่ Panjasawatwong (1983) จำแนกหิน bazalt บริเวณนี้เป็นพาก bazaltic แอนดีไซต์

หน่วยหิน bazalt เคนชัย (Denchai basalts) หิน bazalt ประกอบคลุมพื้นที่ประมาณ 70 ตารางกิโลเมตร บริเวณทิศใต้ของอำเภอเด่นชัย จังหวัดแพร่ มีลักษณะรูปร่างแคน และยาวในแนวตะวันออกเฉียงเหนือ- ตะวันตกเฉียงใต้ หิน bazalt ประกอบคลุมปิดทับหินตะกอนยุคคาร์บอนี เพอร์สติงยุคเพอร์เมียน Barr and Macdonald (1979) ได้ทำการศึกษารายละเอียดของหิน bazalt บริเวณนี้ พบร่องรอยหิน bazalt มีด้วยกัน 7 ชั้น โดยพบว่าตั้งแต่ชั้นที่ 1 ถึงชั้นที่ 4 เป็นพากหินสีชั้นขาวายไอต์ (transition hawaiite) พากชั้นที่ 5 และ 6 เป็นพากษาวยไอต์และชั้นที่ 7 ซึ่งเป็นชั้นบนสุดเป็นพาก bazaltic บริเวณส่วนบนๆ ของแต่ละชั้นจะเป็นพากมีรูพรุนมาก และแนวสันผัสด

ระหว่างชั้นจะเห็นชัด และเป็นลักษณะแบบ “ไอลปิดทับกันแบบต่อเนื่อง หิน bazalt ต่ำสุด (ชั้นที่ 1) ไอลปิดทับหินตะกอนยุคการบ่อนิเฟอร์และยุคเพอร์เมี่ยน

หิน bazalt ตั้งแต่ชั้นที่ 1 ถึงชั้นที่ 6 เป็นพากเนื้อละอีด ประกอบด้วยแร่โอลิวิน จำนวนมาก แร่แพลจิโอเคลสเป็นแท่งเล็กๆ แร่ไคลโนไพรอกซินและแร่ทึบแสงพากชิ้นส่วนอัลตราเมฟิก (spinel lherzolite) พบสะสมตัวอยู่ในชั้นที่หนาประมาณ 1 เมตรบริเวณส่วนล่างของชั้นที่ 6

หิน bazalt ชั้นบนสุด ชั้นที่ 7 มีสีดำ เนื้อแน่นและเนื้อละอีดมาก มักจะแสดงลักษณะ โครงสร้างรอยแยกรูปเส้า (columnar jointing) มีเศษชิ้นส่วนของอัลตราเมฟิก (spinel lherzolite) ที่ประกอบด้วยแร่อลู มินัส แร่ไคลโนไพรอกซินและแร่สปี แหล่งสีดำ ผลึกขนาดใหญ่ จำนวนมาก หิน bazalt ประกอบด้วยผลึกของแร่โอลิวินแก้วสีน้ำตาลแดง แร่ไคลโนไพรอกซิน แร่แพลจิโอเคลส (แลบร่าโดไฮต์) และแร่ทึบแสง Barr and Macdonald (1979) อธิบายว่าหิน bazalt ชั้นที่ 7 เป็นหิน bazalt ที่ให้แร่พลอยที่สะสมตัวอยู่ในแหล่งพลอยบริเวณนี้

หน่วยหิน bazalt แม่ลำา (Mae Lama basalts) หิน bazalt กีดเป็นบริเวณแคบๆ ที่บ้านแม่ลำา จังหวัดแม่ฮ่องสอน จากการศึกษาตัวอย่างหิน bazalt โดย Barr and Macdonald (1979) ชี้ว่าเก็บตัวอย่างหิน bazalt บริเวณน้ำแม่บวม พบว่าหิน bazalt กลุ่มนี้มีลักษณะรูปรุนสูง (amygdaloidal) และประกอบด้วยผลึกของแร่โอลิวิน แร่แพลจิโอเคลส แร่ไคลโนไพรอกซินและแร่ทึบแสง และจากส่วนประกอบทางเคมี จัดให้หินแม่ลำา bazalt เป็นพากโทเลไฮต์

### บริเวณภาคตะวันตก (The Western Region)

หิน bazalt ที่พบในบริเวณด้านตะวันตกของประเทศไทย พบอยู่เป็นบริเวณเล็กๆ ที่อำเภอป้อพลอย จังหวัดกาญจนบุรี ตัดแทรกหินแปรเกรดรีนชีสต์ยุคไชลูเรียน-ดีโวนียน

หน่วยหิน bazalt ป้อพลอย (Bo Phloi basalt) เป็นหิน bazalt ที่เป็นตัวนำพลอยสีน้ำเงิน (blue sapphire) ขึ้นมาจากการลึกใต้ผิวโลก หิน bazalt ไอลปีกคุณภาพดี ที่บริเวณที่คำในแนวทิศตะวันออกเฉียงเหนือ-ตะวันตกเฉียงใต้ หิน bazalt ไอลปีกขึ้นมาตามแนวแตกขนาดใหญ่ในหินควอร์ตไซต์ หมวดหินบ่อพลอย (Bo Phloi Formation) ซึ่งอยู่ในยุคไชลูเรียน- ดีโวนียน และจัดเป็นพากเนฟิลินโอลิวิน bazalt (Bunopas and Bunjitradula, 1975) ต่อมา Barr and Macdonald (1978) และ Yaemniyom (1982) ได้ทำการศึกษารายละเอียดเพิ่มเติมและจัดอยู่ในพากเนฟิลินฮาวย์ไฮต์ (nepheline hawaiite) ลักษณะของหิน bazalt เป็นพากเนื้อละอีด เนื้อแน่นสีดำและเนื้อเป็นครุก มักจะพบชิ้นส่วนของหิน อัลตราเมฟิก (spinel lherzolite) ที่มีแร่ไคลโนไพรอกซิน แร่สปีเนล แร่ชาานิดีนและแร่โอลิวิน ผลึกขนาดใหญ่ (megacrysts) จำนวนมาก ซึ่งเป็นลักษณะเฉพาะของหิน

บ่อพลอย บะซอลต์ เนื้อหิน บะซอลต์ประกอบด้วย พลีกของแร่ ไคลโนไพรอกซิน พลีกแร่ โอลิวิน พลีกแร่ชานิดินและพลีก แร่แพลจิโอเคลส ส่วนเนื้อหินละเอียดประกอบด้วย แร่ ไคลโนไพรอกซิน แร่ โอลิวินและแร่ทึบแสง

### บริเวณเทือกเขาเพชรบูรณ์ (Phetchabun ranges)

หินบะซอลต์ พับบริเวณที่ร้าบเนินเข้าทางด้านตะวันตกของที่ราบสูงโคราช โดยพบว่าหินบะซอลต์ไอลปีกคุณพื้นที่ อำเภอโคกสำโรง และอำเภอชัยนาดาล จังหวัดลพบุรี ซึ่งเรียกหินบะซอลต์บริเวณนี้ว่าหน่วยหินบะซอลต์ลำนารายณ์ (Lam Narai basalt) และบริเวณอำเภอวิเชียรบูรี อำเภอหนองไฝ จังหวัดเพชรบูรณ์ ซึ่งจัดอยู่ในหน่วยหินบะซอลต์วิเชียรบูรี (Wichian Buri basalt)

หน่วยหินบะซอลต์ลำนารายณ์ (Lam Narai basalt) หินบะซอลต์ไอลคุณพื้นที่ทั้งหมดประมาณ 70 ตารางกิโลเมตร โดยไอลปีกคุณพื้นที่ร้าบด้านตะวันออกของเทือกเขาภูไฟ ยุคเก่า หินบะซอลต์ไอลปีกทับหินไรออิไลต์ และเกิดเป็นหินพังแทรกเข้าไปในหินไรออิไลต์ หินบะซอลต์บริเวณนี้ส่วนใหญ่จะเป็นดินสีดำ ลักษณะของหินบะซอลต์เป็นพวกเนื้อละเอียด สีเทาเข้มถึงดำ เป็นรูปรุนและมักจะมีแร่มาติกพลีกภายใน นอกจากนี้ยังพบหินบะซอลต์ซึ่งวางตัวอยู่ใต้ชั้นหินไรออิไลต์ และใต้ชั้นหินภูเขาไฟ (pyroclastic flows) โดยพบขึ้นส่วนของหินบะซอลต์ขนาดต่างๆ กัน ตั้งแต่ 1-2 เซนติเมตร ไปจนถึงขนาด 1 เมตร โดยสะสมตัว เป็นจำนวนมาก บริเวณส่วนล่างของชั้นหินภูเขาไฟ ลักษณะของหินบะซอลต์ส่วนนี้มักจะมีสีเทาถึงเทาอมเทา ส่วนที่ผู้จะให้สีน้ำตาลอ่อนแดง ส่วนประกอบของหินบะซอลต์นี้ประกอบด้วยพลีกของแร่แพลจิโอเคลสเป็นแท่งเล็กๆ ซึ่งมักจะมีการเรียงตัวแร่ ไคลโนไพรอกซิน และแร่แมกนีไทต์

หน่วยหินบะซอลต์วิเชียรบูรี (Wichian Buri basalt) หินบะซอลต์บริเวณ อำเภอวิเชียรบูรี ไอลคุณพื้นที่เป็นเนินเข้าสูง คุณพื้นที่ ประมาณ 200 ตารางกิโลเมตร หินบะซอลต์ไอลปีกทับหมวดหินเขากลางซึ่งประกอบด้วยหินดินดาน หินบะซอลต์ มักจะแสดงลักษณะการแตกเป็นเส้นแท่ง ความกว้างของหน้าตัดของเส้นหินมีตั้งแต่ 30-50 เซนติเมตร อาจเป็นรูปสี่เหลี่ยม ห้าเหลี่ยม หรือหกเหลี่ยมก็ได้ แต่ที่พบบ่อยที่สุดจะเป็นหน้าตัดหกเหลี่ยม ซึ่งแต่ละด้านหากดูใกล้ๆ อาจเห็นเป็นเส้นตรง แต่เมื่อดูใกล้ๆ จะเห็นชัดว่า ผิวแต่ละด้านนั้นไม่เรียบ และหินแต่ละด้านหรือแต่ละแท่ง มีขนาดไม่เท่ากัน เสาหินมีสีเทาหรือเทาเข้ม มีรูปรุนบ้างเล็กน้อยและมักมีนิล (spinel) ขนาดพลีก 2-3 มิลลิเมตร ลักษณะเป็นเลี้ยงสีดำ มีประกายแบบแก้ว ฝังประอยู่ในเนื้อหินทั่วไป นอกจากนี้ยังพบชิ้นส่วนของหินอัลตราเมฟิกและแร่สปีเนล

### บริเวณภาคตะวันออก (The Eastern Gulf)

หิน bazaltic ส่วนใหญ่พบรอยู่ในบริเวณ จังหวัดจันทบุรีและจังหวัดตราด มักจะมีความสัมพันธ์เกี่ยวกับแหล่งแร่ พลอยหิน bazaltic หลากหลายที่ร่วนคลุ่ม วางตัวในแนวเหนือ-ใต้ นอกจากบริเวณเข้าพลอยแหวน อำเภอท่าใหม่ จังหวัดจันทบุรี เป็นเนินเขาสูงเนื่องจากเป็นภูเขาไฟ เก่าที่เหลืออยู่ หิน bazaltic บริเวณภาคตะวันออกพอที่จะจัดกลุ่มออกได้ตามพื้นที่ๆ พบดังนี้

หน่วยหิน bazaltic จันทบุรี ได้แก่ หิน bazaltic บริเวณเข้าพลอยแหวน เขาวัว อำเภอท่าใหม่ จังหวัดจันทบุรี หิน bazaltic บริเวณนี้เป็นพากเนื้อละเอียด สีดำ มักจะพบชั้นส่วนของหินอัลตรามีฟิก และผลึกขนาดใหญ่ของแร่สปี แนล แร่ไพรอกซิน และแร่โอลิวิน Barr and Macdonald (1978) จำแนกหิน bazaltic บริเวณเข้าพลอยแหวนเป็นพากเนฟิลไลต์ (nephelinite)

หิน bazaltic บริเวณทางด้านตะวันออกของจังหวัดจันทบุรี แหล่งคลุ่มพื้นที่เป็นเนินเล็กๆ ในแนวเหนือ-ใต้ บริเวณบ้านบ่อเวช บ้านอ่างอี้ด บ้านบ่ออี แรม บ้านสีเสียด บ้านสะพานหินและคลองอีตัก แหล่งแร่พลอยที่พบรอยู่ในบริเวณหิน bazaltic บ้านบ่อเวช บ้านอ่างอี้ดและบ้านบ่ออีแรม ลักษณะของหิน bazaltic บริเวณที่พบรอยกับบริเวณที่ไม่พบรอยค่อนข้างจะแตกต่างกัน Vichit และคณะ (1978) ได้อธิบายลักษณะที่แตกต่างกันของหิน bazaltic ทั้ง 2 กลุ่มนี้ ดังนี้

หิน bazaltic ที่สะพานหิน มีลักษณะเนื้อหินถึงเนื้อแน่น (porphyritic to glomerophasitic texture and holocrystalline) โดยประกอบด้วยผลึกแร่โอลิวินจำนวนมากและผลึกแร่ไคลโนไพรอกซินบ้างเล็กน้อยอยู่ในหิน ส่วนเนื้อละเอียดประกอบด้วยแร่ไคลโนไพรอกซิน แร่เฟลค์สปาร์ และแร่ทึบแสง โดยจัดหิน bazaltic เป็นพากแอลคาไล โอลิวิน bazaltic หิน bazaltic ที่สะพานหินแบ่งได้ 2 หน่วย ซึ่งมีความหนาประมาณ 40 เมตร หินหน่วยล่างเป็นพากพิลโลลาวา (pillow lava) เนื้อเป็นแก้ว ส่วนหินหน่วยบนเป็นชั้นหนามีรูพรุนและจัดอยู่ในพากหารายไฮต์

Sirinawin (1981) ได้แบ่งหิน bazaltic ที่คลองอีตักมักจะพบ ชั้นส่วนของหินดูในต์ ส่วนประกอบของหิน bazaltic บริเวณนี้ประกอบด้วยผลึกแร่โอลิวินอยู่ในเนื้อหิน ส่วนเนื้อละเอียดมากซึ่งประกอบด้วยแร่ไพรอกซินแก้วสีน้ำตาลและมีแร่โอลิวินและแร่ทึบแสงบ้างเล็กน้อย

หน่วยหิน bazaltic ไปงน้ำร้อน หิน bazaltic แหล่งคลุ่มพื้นที่บริเวณด้านตะวันออกเฉียงใต้ของอำเภอ ไปงน้ำร้อน จังหวัดจันทบุรี อยู่ในแนวเหนือ-ใต้ หิน bazaltic มีลักษณะเนื้อแน่นสีเทาดำถึงดำ ประกอบด้วยผลึกของแร่โอลิวิน และผลึกแร่ไคลโนไพรอกซี น้อยในหินเนื้อแน่น ซึ่งประกอบด้วยแร่แพลจิ ไอเคลส เกิดเป็นแท่งเล็กๆ แร่ไคลโนไพรอกซินเป็นผลึกเล็กๆ และทึบแสงและแก้ว Barr and Macdonald (1978) จำแนกหิน bazaltic บริเวณนี้เป็นพาก bazaitic

หน่วยหิน bazaltic ตราด ได้แก่ หิน bazaltic ที่พบริเวณบ้านหนองบอน บ้านบ่อไร่ อำเภอบ่อไร่ จังหวัดตราด หิน bazaltic แหล่งคลุ่มพื้นที่บริเวณทุบเขาในแนวเหนือ-ใต้ แหล่งปิดทับ

หินทราย และหินดินดานของยุคการบ่อนิเฟอร์สติงเพอร์เมียน หิน bazaltic หรือหินทรายลักษณะเฉพาะคือ มักจะพบผลึกขนาดใหญ่ของแร่การ์เนต แร่ไคลโนไพรอกซิน แร่สปีนеле แร่อิลเมไนต์ และชิ้นส่วนของหินอัลตราเมฟิก หิน bazaltic ออกหันว่ายนี้จัดอยู่ในพากโอลิวินเนฟลินไนต์ (olivine nephelinite)

หน่วยหิน bazaltic กะบุด หิน bazaltic บริเวณเกาะภูดซึ่งอยู่ทางด้านใต้ของจังหวัดตราด พบทองด้านตะวันตก ของเกาะ หิน bazaltic แหล่งปิดทับหินทรายยุคกุแรสซิก ลักษณะของหิน bazaltic เป็นพากเนื้อละเอียดสีเทาอมดำและมีลักษณะรูปrun ประกอบด้วยผลึกของแร่โอลิวินเป็นจำนวนมากและมีผลึกแร่ไคลโนไพรอกซินบ้าง ฝังตัวในเนื้อหินซึ่งประกอบด้วยแร่แพลจิโอเคลส แร่ไคลโนไพรอกซิน แร่โอลิวินและแร่ทีบแสง

หน่วยหิน bazaltic บ้านแซ่อ หิน bazaltic เกิดเป็นบริเวณเล็กๆ ทางด้านใต้ของที่ราบสูง โคราช บริเวณบ้านแซ่อ อําเภออรัญประเทศ จังหวัดสระแก้ว หินส่วนใหญ่จะผุให้คินสีน้ำตาลแดง คลุมพื้นที่ประมาณ 8 ตารางกิโลเมตร ลักษณะของหิน bazaltic เป็นพากเนื้อละเอียด สีเทาดำ มีรูปรุน มักจะมีแร่โอลิวินนิดไฮยาไลต์ ตกผลึกตามรูปรุน หิน bazaltic ประกอบด้วยผลึกแร่โอลิวิน ซึ่งมักจะเปลี่ยนไปเป็นแร่อิดติง ไซต์อยู่ ในเนื้อหินซึ่งประกอบด้วยแร่แพลจิโอเคลส แร่ไคลโนไพรอกซินและแร่แมกนีไทต์

### บริเวณที่ราบสูงโคราช (The Khorat Plateau)

หิน bazaltic พบรายการเป็นบริเวณเล็กบนที่ราบสูง โคราช ได้ตั้งแต่ จังหวัดนครราชสีมา บุรีรัมย์ สุรินทร์ ศรีสะเกษและอุบลราชธานี หิน bazaltic บริเวณดังกล่าวประกอบด้วยหินปูกลคุณพื้นที่ทำให้เกิดเป็นเนินที่ราบ และในหลายบริเวณยังคงมีลักษณะภูเขาไฟเก่าเหลืออยู่

หน่วยหิน bazaltic คันครราชสีมา หิน bazaltic ที่คุณพื้นที่มากที่สุด ในกลุ่มหิน bazaltic บริเวณที่ราบสูง โคราช หินส่วนใหญ่จะผุให้คินสีน้ำตาลแดง หิน bazaltic แหล่งปิดทับหินทรายหมวดโอลิวิน บริเวณด้านตะวันออกเฉียงใต้ของ จังหวัดนครราชสีมา เป็นพื้นที่ประมาณ 1400 ตารางกิโลเมตร ลักษณะของหิน bazaltic เป็นพากเนื้อละเอียดสีเทาดำ มีรูปรุน มีส่วนประกอบพากผลึกแร่โอลิวิน ซึ่งอยู่ในเนื้อหินที่ประกอบด้วยแร่แพลจิโอเคลส (แอนดีเซน) แร่ไคลโนไพรอกซินและแร่ ทีบแสง ส่วนประกอบทางเคมีของหินจัดอยู่ในพากหารายไอต์ (hawaiite) (Barr and Macdonald, 1978; นิคม จึงอยู่สุข และ ธนาวุฒิ ศิรินาวิน, 2525)

หน่วยหิน bazaltic บุรีรัมย์ หิน bazaltic จังหวัดบุรีรัมย์ มีลักษณะของปล่องภูเขาไฟเก่าเหลืออยู่ เกิดเป็นภูเขาสูงโดยหิน bazaltic แหล่งปูกลคุณพื้นที่ราบรอบเขา เช่น เขาวะโอด เขานพนรุ้ง เขากะพระอังคารและเข้าไปบรัด หิน bazaltic บริเวณปล่องภูเขาไฟจะเป็นพากที่มีรูปรุน

มาก และเขาซึ่งเป็นพากสคอเรีย (scoria) และพับพากบอมบ์ (bombs) ขนาดต่างๆ กัน ตั้งแต่ 1-2 เซนติเมตร ไปจนถึง 50 เซนติเมตร โดยมีรูปร่างเป็นก้อนยาวยี ลักษณะของหิน bazalt บุรีรัมย์เป็น หินเนื้อละเอียดสีเทาถึงเทาดำ ประกอบด้วยผลึกแร่ อลิวิน ผลึกแร่แพลจิโอเคลสและผลึกแร่ไคลโน ไฟrogochine บ้างเล็กน้อย อยู่ในเนื้อหินที่ละเอียดกว่าประกอบด้วยแร่แพลจิโอเคลส ซึ่งเป็นแท่งเล็กๆ มีการเรียงตัวค่อนข้าง handgun กัน เนื่องจากการ ไหลของลาวา แร่ไคลโน ไฟrogochine แร่ อลิวินและแร่ แมกนีไทต์ มักพบผลึกของแร่อะพาไทต์อยู่ในผลึกของแร่แพลจิโอเคลส หิน bazalt บุรีรัมย์จัดให้ อยู่ในพาก沙วยา ไฮต์ (hawaiite) (Barr and Macdonald, 1981)

หน่วยหิน bazalt สุรินทร์ หิน bazalt บริเวณจังหวัดสุรินทร์ พับบริเวณเขานม สวยงามและพื้นที่ร่องเขา คลุมพื้นที่ประมาณ 55 ตารางกิโลเมตร หิน bazalt มีสีเทาดำ เนื้อละเอียด เป็นรูปrun ประกอบด้วยผลึกของแร่ อลิวิน จำนวนมากและผลึกแร่ ไคลโน ไฟrogochine บ้างเล็กน้อย อยู่ในหินเนื้อละเอียด ซึ่งประกอบด้วยแร่แพลจิโอเคลสเป็นแท่งเล็กๆ มีการเรียงตัว หินกัน แร่ ไคลโน ไฟrogochine แร่ อลิวินและแร่ แมกนีไทต์ Barr and Macdonald (1978) จัดให้หินสุรินทร์ bazalt เป็นพากเมօเกีย ไฮต์ (mugeartie)

หน่วยหิน bazalt ศรีสะเกษ หิน bazalt พบทางด้านใต้ของ จังหวัดศรีสะเกษ บริเวณอำเภอภูแลและอำเภอชุมทาง โดยพบกระจายอยู่ในบริเวณภูเขามีก้อนและภูมีน้ำ หินส่วนใหญ่มีมักจะมีหินและกลาญเป็นคินสีน้ำตาลแดงปนคลุนพื้นที่ส่วนใหญ่ไว้ จะเห็นหิน bazalt อยู่บริเวณตอนกลางของเนิน นอกจากนี้บริเวณภูฝายพบหิน ได้อะเบส ซึ่งเป็นหิน bazalt ที่เย็นตัว ใต้ผิวโลกโผล่ให้เห็นเป็นเนินเขา มีความยาวประมาณ 1 กิโลเมตร โดยเนินเขาทางด้านตะวันตกอยู่ในแนว เหนือ-ใต้ หิน bazalt ประกอบด้วยผลึกแร่ อลิวิน และผลึกแร่ ไคลโน ไฟrogochine อยู่ในเนื้อหิน ส่วนละเอียด ซึ่งประกอบด้วยแร่แพลจิโอเคลส แร่ ไคลโน ไฟrogochine และแร่ แมกนีไทต์ หินบริเวณนี้ เป็นพาก沙วยา ไฮต์ ถึงพากเนฟิลิน沙วยา ไฮต์ (nepheline hawaiite) (ต่อศักดิ์ ประสมทรัพย์, 2548)

หน่วยหิน bazalt อุบลราชธานี หิน bazalt บริเวณทิศใต้ของจังหวัดอุบลราชธานี เกิดอยู่ 2 บริเวณคือ บริเวณบ้านหนองน้ำบุ่นและบริเวณเขาน้อย อำเภอโนนสัก ลักษณะหิน bazalt มีรูปrun (vesicular basalt) โดยมีแร่แคลไซต์และแร่ซีโอลิตตกผลึกอยู่ต่ำ มีโครงสร้างเนื้อแน่นเป็นพากเนื้อละเอียดสีเทาดำ ประกอบด้วยผลึกของแร่ อลิวินและแร่ ไคลโน ไฟrogochine (ไฮต์ หินอโขต) อยู่ในส่วนเนื้อละเอียดซึ่งประกอบด้วยแร่แพลจิโอเคลส แร่ ไคลโน ไฟrogochine และแร่ แมกนีไทต์ และอาจพบแร่สปินেล หิน bazalt บริเวณ อำเภอโนนสัก เป็นพากแอลคาไลน์ อลิวิน bazalt (alkali olivine basalt) (ต่อศักดิ์ ประสมทรัพย์, 2548)

### อายุของหิน bazaltic ในโซเชียล

การวัดและคำนวณหาอายุหิน bazaltic กลุ่มนี้โดยวิธี K/Ar, Ar/Ar และ Fission Track และวิธี Paleomagnetic นั้นได้กระทำกันในหลายๆ บริเวณ

หิน bazaltic บริเวณที่มีปล่องภูเขาไฟ คงสภาพอยู่เป็นพอกที่มีอายุอ่อน เช่น ที่เขา พโลย์แหนวน จังหวัดจันทบุรี  $0.44 \pm 0.11$  ล้านปี (Barr and Macdonald, 1981) ที่แม่ทะ จังหวัด ลำปาง  $0.6 \pm 0.2$  และ  $0.8 \pm 0.3$  ล้านปี (Sasada และคณะ, 1987) และที่เขากระโดง จังหวัด บุรีรัมย์  $0.92 \pm 0.03$  ล้านปี (Barr and Macdonald, 1981)

สำหรับหิน bazaltic ในบริเวณที่มีความสัมพันธ์กับแหล่งแร่พลอยมีอายุแตกต่าง กันออกไป เช่น ที่บริเวณอำเภอชุมทาง  $0.44 \pm 0.11$  ล้านปี บริเวณจังหวัดตราด  $1.13 \pm 0.17$  ล้านปี บริเวณบ่อพล อย จังหวัดกาญจนบุรี  $3.14 \pm 0.17$  ล้านปี และบริเวณเด่นชัย จังหวัดแพร่  $5.64 \pm 0.28$  ล้านปี (Barr and Macdonald, 1981)

หิน bazaltic ในที่ราบสูงโคราช พอกที่คงสภาพอยู่ลักษณะปล่องภูเขาไฟจะเป็น พอกที่มีอายุอ่อน เช่น ที่เขากระโดง จังหวัดบุรีรัมย์ ในขณะที่พอกที่ผุกลายเป็นเนินดินสีแดง และ พอกที่เย็นตัวໄต้พิวโลก เช่น หินไกดะเบส ที่ภูผาย จังหวัดศรีสะเกษ จะมีอายุแก่กว่า มีอายุ  $3.28 \pm 0.48$  ล้านปี (Barr and Macdonald, 1981) และคงว่าหิน bazaltic บนที่ราบสูงโคราชมีช่วง อายุของการเกิดต่างๆ กัน โดยหิน bazaltic บริเวณจังหวัดบุรีรัมย์และศรีสะเกษ มีอายุอ่อนกว่าหิน bazaltic ในบริเวณอื่นๆ อายุของหิน bazaltic จากแหล่งต่างๆ แสดงในตารางที่ 1.2

ตารางที่ 1.2 แสดงอายุของหิน bazalt ในประเทศไทย

| ตำแหน่งตัวอย่าง         | อายุ (ล้านปี)  |   |                             | Paleomag.                |
|-------------------------|--|---|-----------------------------|--------------------------|
|                         | K/Ar   | Ar/Ar   | Fission Track               |                          |
| บ้านช้างเคียน(เชียงราย) | 1.69 $\pm$ 1.25 <sup>A</sup>                             |   |                             |                          |
| เชียงของ(เชียงราย)      | 1.74 $\pm$ 0.18 <sup>A</sup>                             |   |                             |                          |
| แม่ทะ(ลำปาง)            | 0.8 $\pm$ 0.3 <sup>F</sup><br>0.6 $\pm$ 0.2 <sup>F</sup> | 0.59 $\pm$ 0.05 <sup>G</sup>  |                             | 0.69 4 0.95 <sup>B</sup> |
| เด่นชัย(แพร่)           | 5.64 $\pm$ 0.28 <sup>A</sup>                             |   |                             | 5.62 4 6.06 <sup>A</sup> |
| วิเชียรบุรี(เพชรบูรณ์)  |  | 9.08 $\pm$ 0.29 <sup>E</sup><br>8.82 $\pm$ 0.09 <sup>G</sup><br>11.03 $\pm$ 0.03 <sup>G</sup> |                             |                          |
| ลำนารายณ์(ลพบุรี)       | 11.29 $\pm$ 0.64 <sup>A</sup>                            | 18.1 $\pm$ 0.7 <sup>E</sup><br>24.1 $\pm$ 1.0 <sup>E</sup>                                    |                             |                          |
| บ่อพลอย(กาญจนบุรี)      | 3.14 $\pm$ 0.17 <sup>A</sup>                             | 4.17 $\pm$ 0.11 <sup>G</sup>  |                             |                          |
| เขาพลอยแหวน(จันทบุรี)   | 0.44 $\pm$ 0.11 <sup>A</sup>                             |   |                             |                          |
| บ้านบ่อเวฬุ(จันทบุรี)   |  |   | 2.57 $\pm$ 0.2 <sup>D</sup> |                          |
| เขาวัง(จันทบุรี)        |  | 3.00 $\pm$ 0.19 <sup>G</sup>  |                             |                          |
| หนองบอน(ตราด)           | 1.13 $\pm$ 0.17 <sup>A</sup>                             | 2.38 $\pm$ 0.16 <sup>G</sup>  |                             |                          |
| เกาะกูด                 | 8.5 $\pm$ 1.0 <sup>C</sup>                               |   |                             |                          |
| เขากะโง(บุรีรัมย์)      | 0.92 $\pm$ 0.03 <sup>A</sup>                             | 1.11 $\pm$ 0.26 <sup>H</sup>  |                             |                          |
| ภูผ้าย(ศรีสะเกษ)        | 3.28 $\pm$ 0.48 <sup>A</sup>                             |   |                             |                          |

อ้างอิง

A : Barr and Macdonald, 1981      B : Barr และคณะ, 1976      C : Bignell and Sneling, 1977

D : Carbonnel และคณะ, 1972      E : Intasopa, 1993      F : Sasada และคณะ, 1987

G : Sutthirat และคณะ, 1995      H : Charusiri และคณะ, 2004

## 1.4 กฎหมายพื้นฐาน

### 1.4.1 ค่าสภาพรับไว้ได้ทางแม่เหล็ก (Magnetic susceptibility)

ค่าสภาพรับไว้ได้ทางแม่เหล็ก เป็นสมบัติทางฟิสิกส์ อย่างหนึ่งของวัสดุ (Butler, 1992) ซึ่งสามารถใช้ในการจำแนกชนิดของแร่แม่เหล็ก (Magnetic Minerals) ที่มีอยู่ในหินหรือดิน ได้ การวัดค่าสภาพรับไว้ได้ทางแม่เหล็กแบบ low field จะทำการวัดภายในได้สำเนาแม่เหล็กที่ใส่เข้าไป (Applied magnetic field) ที่มีค่าต่ำกว่า 1 mT หรือ 800 A/m ทั้งในสถานะชนิด สถานะแม่เหล็กตรง (Direct field) หรือสถานะแม่เหล็กสลับ (Alternating field) ซึ่งค่าสภาพรับไว้ได้ทางแม่เหล็กในที่นี้นิยามด้วยสมการ

$$\vec{M} \propto k\vec{H}$$

เมื่อ  $M$  คือ ผลรวมของโมเมนต์ไดโอดแม่เหล็กต่อมวลหรือปริมาตรของตัวอย่าง  
 $H$  คือ สนามแม่เหล็ก  
 $k$  คือ สภาพรับไว้ได้ทางแม่เหล็ก

ค่าสภาพรับไว้ได้ทางแม่เหล็กสามารถแยกออกได้เป็นสองชนิดคือ

1. Volume susceptibility ( $\kappa$ ) ในการวัดค่าจะมีการกำหนดให้ปริมาตรของตัวอย่าง ที่จะวัดมีค่าคงที่ทั้งหมด สามารถนิยามด้วยสมการ

$$M_v \propto kH$$

$M_v$  = Volume magnetization ( $\text{Am}^{-1}$ ) คือ ผลรวมของโมเมนต์ไดโอดแม่เหล็กต่อ ปริมาตรของตัวอย่าง

$H$  = Applied field ( $\text{Am}^{-1}$ ) คือ สนามแม่เหล็ก

2. Mass susceptibility ( $\theta$ ) ในการวัดค่าจะมีการกำหนดให้มวลของตัวอย่างที่จะ วัดมีค่าคงที่ทั้งหมด สามารถนิยามด้วยสมการ

$$J \propto \theta H \propto \frac{\theta}{\sigma} B$$

$J$  = Mass magnetization ( $\text{Am}^2\text{kg}^{-1}$ ) คือ ผลรวมของโมเมนต์ไดโอดแม่เหล็กต่อ มวลของตัวอย่าง

$B$  = Applied field ( $\text{Wb.m}^{-2}$ ) คือ สนามแม่เหล็ก

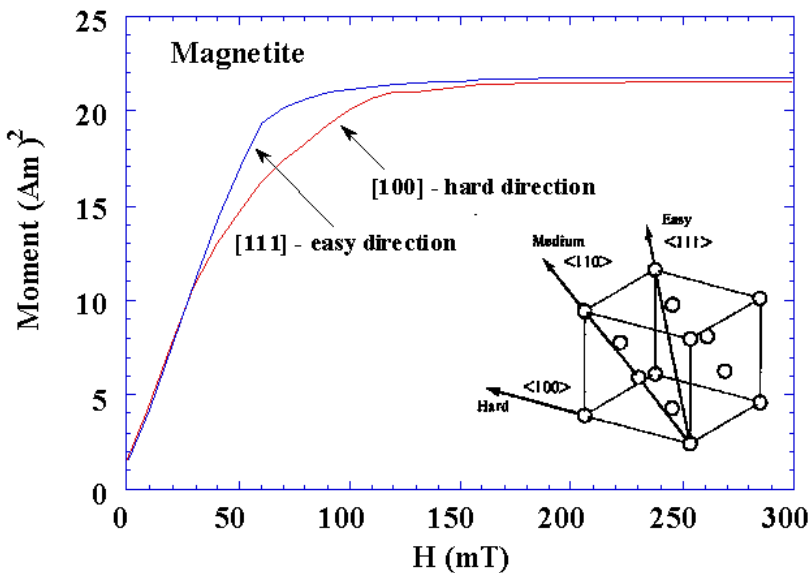
$\sigma$  = magnetic permeability คือ สภาพซึ่งช่วยทางแม่เหล็ก

ค่า  $k$  จะไม่มีหน่วยในระบบ SI แต่ค่า  $\theta$  มีหน่วยเป็น  $\text{m}^3\text{kg}^{-1}$

### 1.4.2 แอนไอโซทรอปีเชิงแม่เหล็ก (Magnetic Anisotropy)

แอนไอโซทรอปีเชิงแม่เหล็กของหิน หมายถึง คุณสมบัติทางแม่เหล็ก ( เช่น ค่าสกัดรับไว้ได้ทางแม่เหล็ก หรือค่าแมgnีไฟเซชันในตัวอย่างหิน ) ที่แตกต่างกันเมื่อทำการทดสอบในทิศทางที่ต่างกัน โดยเกิดจากธรรมชาติในตัวอย่างหิน ซึ่งขึ้นอยู่กับ หลายปัจจัย เช่น โครงสร้างของผลึก รูปร่างของกราน ความเครียด เป็นต้น

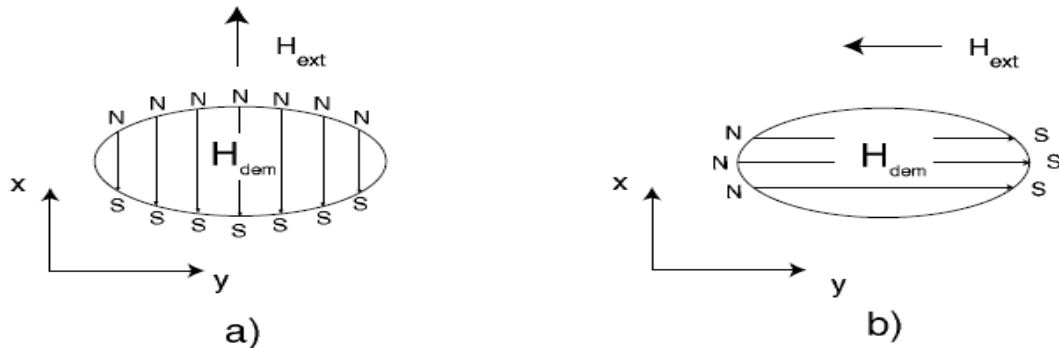
โครงสร้างของผลึก (crystallographic structure) แอนไอโซทรอปีของ โครงสร้างของผลึกจะขึ้นอยู่กับรูปร่างทางเรขาคณิตภายในของแต่ละผลึก ซึ่งโครงสร้างของผลึกจะมีรูปร่างที่ต่างกันอาจเป็นแบบสมมาตรหรือไม่สมมาตรก็ได้ เมื่อทำการทดสอบในทิศทางที่ต่างกัน ส่งผลให้มีคุณสมบัติทางแม่เหล็กที่แตกต่างกันด้วย



ภาพประกอบ 1.9 ผลกระทบของการเหนี่ยวนำจากสนามภายนอกกับอำนาจแม่เหล็กเหนี่ยวนำที่เกิดในแต่ละระนาบของผลึกแร่แมgnีไฟต์แบบลูกบาศก์ (Moskowitz, 1992)

ตัวอย่าง เช่น ลักษณะ โครงสร้าง ผลึกเดียวของแร่แมgnีไฟต์แบบลูกบาศก์ เมื่อถูกเหนี่ยวนำจากสนามภายนอกในทิศทางที่ต่างกัน ทำให้อำนัจแม่เหล็กเหนี่ยวนำที่เกิดขึ้นก็จะแตกต่างกัน โดยใน ทิศทาง [111] จะเกิดการเหนี่ยวนำได้ง่ายกว่า (easy direction) ส่วนในทิศทาง [100] จะเกิดการเหนี่ยวนำได้ยากกว่า (hard direction) ดังภาพประกอบ 1.9

รูปร่างของกรน (grain shape) ในกรณีของกรนแม่เหล็กที่ไม่เป็นแบบทรงกลม เช่น แบบทรงรี เมื่อวางแผนแม่เหล็กภายในให้สานามแม่เหล็กภายนอกในทิศทางที่ต่างกัน จะทำให้เกิดอำนาจแม่เหล็กเหนี่ยวนำที่ต่างกันด้วย



**ภาพประกอบ 1.10** แสดงการวางแผนแม่เหล็ก ภายใต้สานามแม่เหล็กภายนอก ในทิศทางต่างกัน (Fatima, 2002)

เมื่อนำกรนแม่เหล็กมาวางในสานามภายนอก ( $H_{ext}$ ) จะเกิดการเหนี่ยวนำทำให้เกิดการแยกขึ้นได้โดยแม่เหล็กขึ้น ส่งผลให้เกิดสานามแม่เหล็กคลบล้ำภายในกรนแม่เหล็ก ( $H_{dem}$ ) ซึ่งขึ้นอยู่กับทิศทางการวางแผนแม่เหล็ก เช่น เมื่อวางแผนดังภาพประกอบ 1.10a ซึ่งทิศของสานามภายนอกขนานกับแกน x จะทำให้เกิดสานามแม่เหล็กคลบล้ำภายในกรนแม่เหล็ก ( $H_{dem}$ ) มากกว่า เมื่อเทียบกับ เกรนที่วางดังภาพประกอบ 1.10b ซึ่งทิศของสานามภายนอกขนานกับแกน y เพราะฉะนั้น ค่าแมgnิไฟชั่น ( $M$ ) หรือค่าสภาพรับไว้ได้ทางแม่เหล็ก ( $k$ ) ก็จะต่างกัน ( $M_x > M_y$  หรือ  $k_x > k_y$ )

**ความเครียด** (strain) เกิดจากการเปลี่ยนแปลงรูปทรงของพลีกจากเดิม ซึ่งอาจเกิดมาจากสานามแม่เหล็กภายนอก ที่มาระทำ หรืออาจเกิดมา จากแรงภายนอกที่มาระทำ เช่น แรงที่เกิดจากกระบวนการแปรสัณฐาน (Tectonic) จนทำให้เกิดการเปลี่ยนแปลงรูปทรงไป

#### 1.4.3 สภาพแอนไอโซทรอปีของค่าสภาพรับไว้ได้ทางแม่เหล็ก (Anisotropy of Magnetic Susceptibility, AMS)

ปกติค่าสภาพรับไว้ได้ทางแม่เหล็กจะคงที่โดยขึ้นอยู่กับอำนาจแม่เหล็กเหนี่ยวนำ และขึ้นกับสานามแม่เหล็กภายนอกที่ให้ไป นอกจ้านี้ค่าสภาพรับไว้ได้ทางแม่เหล็กยังมีค่าที่แตกต่างกันเมื่อทำการให้สานามภายนอกในทิศทางที่ต่างกัน ด้วยเหตุนี้ค่าสภาพรับไว้ได้ทางแม่เหล็กจึง

ถูกอธิบายในรูปแบบของปริมาณที่เรียกว่า เทนเซอร์ อันดับที่ 2 (second-order tensor) (Hrouda, 1982) แสดงอยู่ในรูปสมการ

$$\vec{M} = \underline{k} \vec{H} = \begin{pmatrix} k_{xx} & k_{xy} & k_{xz} \\ k_{yx} & k_{yy} & k_{yz} \\ k_{zx} & k_{zy} & k_{zz} \end{pmatrix} \begin{pmatrix} H_x \\ H_y \\ H_z \end{pmatrix}$$

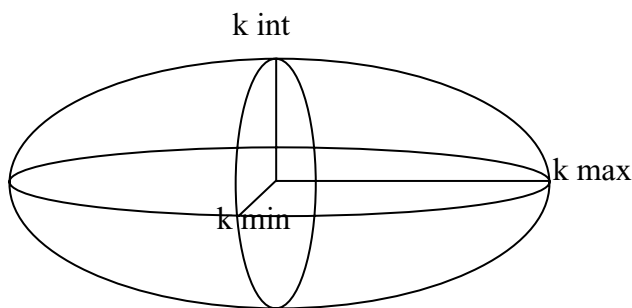
เมื่อ  $\vec{M}$  คือ จำนวนแม่เหล็กเหนี่ยวนำ (induced magnetization)

$\vec{H}$  คือ สนามแม่เหล็กภายนอก (external magnetic field)

$\underline{k}$  คือ สภาพรับไว้ได้ทางแม่เหล็ก (susceptibility tensor)

โดยที่ x, y และ z อยู่ตั้งจากกันในระบบพิกัดจาก สำหรับการวัดค่าสภาพรับไว้ได้ทางแม่เหล็กแบบภายใต้สนามความเข้มต่ำ (น้อยกว่า 1 mT) และที่อุณหภูมิห้อง จะทำให้ค่า  $k$  เป็น เทนเซอร์แบบสมมาตร โดยที่  $k_{xy} = k_{yx}$ ,  $k_{xz} = k_{zx}$ ,  $k_{yz} = k_{zy}$

ทั้งขนาดและทิศทางที่ต่างกันของค่าสภาพรับไว้ได้ทางแม่เหล็ก สามารถอธิบาย โดยใช้แบบจำลองรูปทรงรี (Ellipsoid) ซึ่งประกอบด้วยแกน 3 แกน แทนทิศทางที่มีค่า  $k$  มากที่สุด ( $k_{\max}$ ) ทิศทางที่มีค่า  $k$  ปานกลาง ( $k_{int}$ ) และทิศทางที่มีค่า  $k$  น้อยที่สุด ( $k_{\min}$ ) เป็น  $k_1$ ,  $k_2$  และ  $k_3$  ตามลำดับ ดังภาพประกอบ 1.11



ภาพประกอบ 1.11 แบบจำลองรูปทรงรีซึ่งภายในประกอบด้วยแกน 3 แกน

สำหรับค่า AMS parameter โดยทั่วไปจะมีหลายพารามิเตอร์ที่จะกำหนดรูปทรงรี (Susceptibility ellipsoid) แต่พารามิเตอร์ที่นิยมใช้คือ anisotropy degree ( $P_j$ ) และค่า shape factor ( $T$ ) (Jelinek, 1981).

Anisotropy degree ( $P_j$ ) คือตัวแปรที่ใช้แสดงความเป็นแอนิโซทรอยปีของค่าสภาพรับไว้ได้ทางแม่เหล็ก คำนวณค่า  $P_j$  จากสมการ

$$P_j = \exp \frac{\Psi}{\xi_1 4 \xi_m \theta^2 / \xi_2 4 \xi_m \theta^2 / \xi_3 4 \xi_m \theta^2}$$

และ shape factor ( $T$ ) คือตัวแปรที่แสดงลักษณะรูปร่างความรีของ magnetic susceptibility สามารถคำนวณจากสมการ

$$T = \frac{2\xi_2 4\xi_1 4\xi_3}{\xi_1 4\xi_3}$$

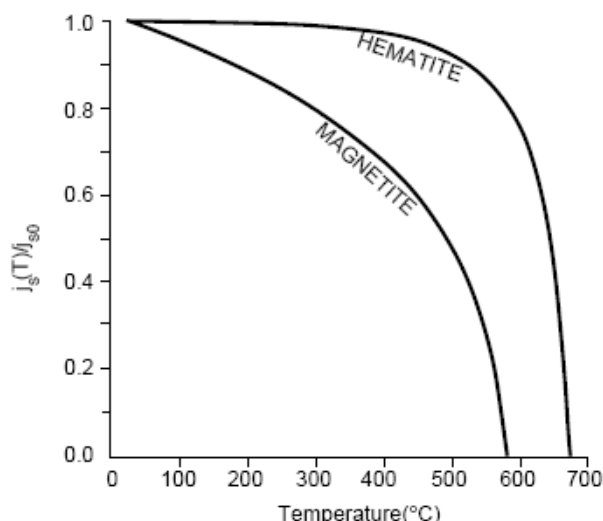
เมื่อ  $\xi_1 = \ln k_1$ ;  $\xi_2 = \ln k_2$ ;  $\xi_3 = \ln k_3$  และ  $\xi_m = \sqrt[3]{\xi_1 \xi_2 \xi_3}$

โดยถ้า  $T > 0$  แสดงว่ามีรูปร่างแบบแบนที่ขี้ว (oblate or plate-like ellipsoid)

$T < 0$  แสดงว่ามีรูปร่างแบบยาวๆ (prolate or rod-shaped ellipsoid) (Jelinek, 1981)

#### 1.4.4 อิทธิพลของอุณหภูมิต่อพฤติกรรมทางแม่เหล็ก

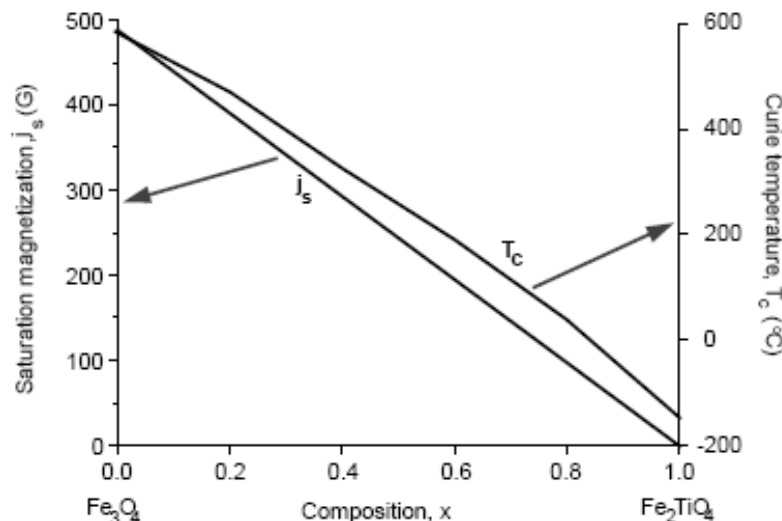
เมื่ออุณหภูมิสูงขึ้นส่งผลให้แอมเพลจุไดร์สันลดลงของอะตอมในของแข็งเพิ่มขึ้น และเนื่องจากโมเมนต์แม่เหล็กในอะตอมมีอิสระที่จะหมุนในทิศทางต่างๆ ได้ดังนั้นเมื่ออุณหภูมิสูงขึ้นการเคลื่อนที่(สั่น)ของอะตอมที่เพิ่มมากขึ้นเนื่องจากความร้อน จึงมีแนวโน้มจะทำให้ทิศทางของโมเมนต์แม่เหล็ก ที่อาจเรียงตัวดีแล้วเกิดการกระเจิงทำให้ทิศทางเปลี่ยนแปลงไป



ภาพประกอบ 1.12 ความสัมพันธ์ของอุณหภูมิกับสภาพแม่เหล็กอิ่มตัวของแร่แมกนีไทต์ และแร่เอี๊มาไทต์ (Butler, 1992)

สำหรับวัสดุที่มีสภาพความเป็นแม่เหล็กแบบเฟอร์โรแมกнетิก แอนติเฟอร์โรแมกเนติกและเฟอร์ริเมกเนติก การสั่นของอะตอมเนื่องจากความร้อนจะไปแทรกแซงแรงดูดระหว่างโมเมนต์ของไอโพลในอะตอมที่อยู่ข้างเคียงกัน ส่งผลให้เกิดการเรียงตัวผิดทิศทางไปจากเดิม โดย

ไม่สนใจว่าจะมีสานานภายนอกหรือไม่ก็ตาม จึงทำให้วัสดุแม่เหล็กชนิดเฟร์โรแมกнетิกและเฟอร์ริแมกเนติกมีค่าสภาพทางแม่เหล็กอิ่มตัวลดลง ค่าสภาพทางแม่เหล็กอิ่มตัวสูงสุดที่อุณหภูมิ 0 K ซึ่งมีการสั่นสะเทือนจากความร้อนน้อยที่สุด เมื่ออุณหภูมิสูงขึ้นสภาพทางแม่เหล็กอิ่มตัวจะค่อยๆลดลง และจะลดลงเหลือศูนย์อย่างรวดเร็วที่อุณหภูมินี้ที่เรียกว่า อุณหภูมิคูรี ( $T_c$ ) แรงคู่คบเวที่ทำให้ไม่มенต์จากการหมุนรอบตัวองเรียงตัวเป็นทิศทางเดียวกันถูกทำลายอย่างลื้นเชิง ทำให้อุณหภูมิสูงกว่าอุณหภูมิคูรี ขึ้นไป วัสดุที่เดิมมีสภาพแม่เหล็กแบบเฟร์โรแมกเนติกแล ะเฟอร์ริแมกเนติก กล้ายเป็นแบบพาราแมกเนติก ไปทั้งหมด ค่าของอุณหภูมิคูรีในวัสดุแต่ละชนิดจะแตกต่างกัน เช่น ในเหล็กมีอุณหภูมิคูรี  $770^{\circ}\text{C}$  แมgnิไทต์มีอุณหภูมิคูรี  $580^{\circ}\text{C}$  และเอมาไทต์มีอุณหภูมิคูรี  $680^{\circ}\text{C}$  (ดังภาพประกอบ 1.12)



ภาพประกอบ 1.13 สภาพแม่เหล็กอิ่มตัวและอุณหภูมิคูรีของ ไททาโนแมgnิไทต์ ( $\text{Fe}_{3-x}\text{Ti}_x\text{O}_4$ ) ซึ่งขึ้นอยู่กับปริมาณของ ไทดeneiym (x) ที่เป็นส่วนประกอบ (Butler, 1992)

จากภาพประกอบ 1.13 ที่แสดงถึงการแปรผันของปริมาณ ไทดeneiym (Ti) ที่เป็นส่วนประกอบใน แร่ ไททาโนแมgnิไทต์ ( $\text{Fe}_{3-x}\text{Ti}_x\text{O}_4$ ) (โดยที่ x เป็นปริมาณของ ไทดeneiym ) ซึ่งสัมพันธ์กับสภาพแม่เหล็กอิ่มตัวและอุณหภูมิคูรีของกลุ่มแร่แมgnิไทต์ ( $\text{Fe}_3\text{O}_4$ ) และกลุ่มแร่ ulvo-spinel ( $\text{Fe}_2\text{TiO}_4$ ) ตัวอย่างเช่นที่อุณหภูมิคูรีประมาณ  $200^{\circ}\text{C}$  จะมีปริมาณของ ไทดeneiym 60% เป็นส่วนประกอบในแร่ ไททาโนแมgnิไทต์ (TM60) เป็นต้น

## 1.5 การตรวจเอกสาร

ทับทิมและแซปไฟร์ เกิดขึ้นตามธรรมชาติโดยกร ะบวนการทางธรณีวิทยา เช่น กระบวนการเกิดหินอัคนี (Igneous rock) หรือกระบวนการเกิดหินแปร (Metamorphic rock) ทั้งนี้ อาจพบพลอยในลักษณะเป็นผลึกที่ฝังอยู่ในเนื้อหินแหล่งกำเนิด หรือ เกิดเป็นแร่ประกอบหินของหินดันกำเนิด (สูพร อินท์โลสก้า, 2544) ซึ่งพอจะจำแนกชนิดหินสำคัญที่เป็นแหล่งกำเนิดของทับทิม และแซปไฟร์ได้ ดังนี้

1. หินอัคนีพุ (Extrusive igneous rock) หรือหินภูเขาไฟ ได้แก่ หินแอลคาไลน์ bazalt
2. หินอัคนีแทรกซอน (Intrusive igneous rock) ได้แก่ หินเพกมาไทท์ หินจำพวกแกรนิต หินไชอีไนต์ หินอัลตราเมฟิก
3. หินแปร (Metamorphic rock) ได้แก่ หินอ่อน หินสการ์น หินแอมฟิโบไลต์ หินชีสต์ หินไนส์ หินมิกมาไทท์

สำหรับพลอยคอรันดัม มีการดำเนินดัมพันธ์ เกี่ยวกับหินภูเขาไฟ ชนิดแอลคาไลน์ bazalt อันเป็นแหล่งกำเนิดชนิดเดียวเท่าที่สำรวจพบในประเทศไทย พบริจั่นหัวด กัญจนบุรี จันทบุรี ตราด แพร่ สุโขทัย เพชรบูรณ์ อุบลราชธานี และศรีสะเกษ (Aranyakanon and Vichit, 1983; พงศ์ศักดิ์ วิชิต, 2531) สำหรับแหล่งพลอยคอรันดัม ที่เกิดจากการผุพังทำลายของหินภูเขาไฟ พบริจั่นหัวด กัญพุชชา ลาว เวียดนามตอนใต้ ออสเตรเลีย ในจีเรีย รوانดา และมาดากัสการ์ตอนเหนือ และตอนกลาง เป็นต้น ล้วนแต่มีความเกี่ยวข้องกับหินภูเขาไฟชนิด bazalt กล่าวคือมักจะพบแหล่งพลอยแซปไฟร์และทับทิม (คอรันดัม) เกิดขึ้นในบริเวณหิน bazalt หรือบริเวณไกลีเคียง จากการสำรวจพบหลักฐานพลอยแซปไฟร์ฝังอยู่ในเนื้อหิน bazalt ในพื้นที่แหล่งพลอยแซปไฟร์บริเวณเขาน้ำตก อำเภอป่าสัก จังหวัดสระบุรี (โพยม อรุณยานนท์, 2531) และบริเวณบ้านบ่อแก้ว อำเภอเด่นชัย จังหวัดแพร่ (Vichit, 1992) ทำให้เชื่อแน่ว่าแหล่งพลอยคอรันดัมของไทย เกิดมาจากการผุพังทำลายของหิน bazalt ที่มีพลอยคอรันดัม (corundum-bearing basalt) จะมีส่วนประกอบทางเคมีเป็นพากแอลคาไลน์ค่อนข้างสูง สามารถจำแนกเป็นหิน bazalt ที่อยู่ในกลุ่ม bazanite (basanitoid) โดยทั่วไปจะมีปริมาณซิลิเกตต่ำและมีไไฟเทเนียมสูงอันเป็นคุณสมบัติของหิน bazalt ที่เกิดในที่ลึก (Vichit, 1975; Jungyusuk and Khositanont, 1992; Sutthirat, 1995)

Suttherland และคณะ (1998) ได้ศึกษาการดำเนินดัมของพลอยคอรันดัมที่สัมพันธ์กับหิน bazalt และสรุปว่าแร่คอรันดัมนี้ ตกผลึกมาจาก felsic alkaline melt ที่ได้มาจากการหลอมละลายของการแปรสภาพสัมผัสแบบแทนที่ธรณีภาคชั้นนอก (metasomatized lithosphere) โดย

กระบวนการแปรสภาพสัมผัส (contact metamorphism) ส่วน Guo และคณะ (1994) ศึกษาการกำเนิดของแร่ครอแรนดัมที่สัมพันธ์กับหินแอลคาไลน์บะซอลต์จาก อ.บ่อพลอย จ.กาญจนบุรี และจากแหล่งอื่นในประเทศไทยต่างๆ ผลสรุปว่าแร่ครอแรนดัมเหล่านี้เกิดมาจากการปั๊กิริกาที่ซับซ้อนของการผสมผสานกันระหว่างหินหนืดที่มีส่วนประกอบเป็นพาก silicic magma และ carbonatitic melts ก่อนที่จะถูกนำเข้ามาสู่ผืนผิวโดยหินหนืดแอลคาไลน์บะซอลต์

ผลการศึกษาของ สุพร อินทโสก้า (2544) ได้ข้อบ่งชี้ว่าแร่ครอแรนดัมที่มีการเกิดสัมพันธ์อยู่กับหินแอลคาไลน์บะซอลต์นั้น ไม่ได้เกิด มาจากการตกผลึกจากหินหนืดบะซอลต์ นั้น แต่เกิดมาจากการหินหนืดชนิดอื่น ที่มีส่วนประกอบที่มีธาตุเหล็ก แอลคาไลน์และอะลูมิն่าในปริมาณที่ค่อนข้างสูง ในที่ลึก ณ อุณหภูมิและความดันสูง โดยหินหนืดดันกำเนิดเหล่านี้อาจมีการกำเนิดที่เกี่ยวข้องกับกระบวนการแปรสภาพสัมผัสหรือการแปรสภาพสัมผัสแบบแทนที่ และหรือ กระบวนการหลอมละลายและการปนเปื้อน จากการวิเคราะห์ส่วนประกอบของมลพิษของไอลainแซปไฟร์ สามารถบ่งบอกได้ว่าพลอยครอแรนดัมนั้นตกผลึกในสภาพแวดล้อมที่มีการเย็นตัวอย่างช้าๆ และถูกพาเข้ามาสู่ผืนโลกพร้อมๆ กับการระเบิดของภูเขาไฟแอลคาไลน์บะซอลต์ที่เกิดขึ้นภายหลัง

Vichit (1975) เสนอแนวทางการกำเนิดครอแรนดัมในหินบะซอลต์อย่างละเอียดและน่าสนใจ ไว้หลายแบบ แต่กรณีในประเทศไทยได้สนับสนุนแนวความคิดที่ว่า พลอยครอแรนดัมน่าจะเกิดเป็นผลึกแร่ขนาดใหญ่ ในหินบะซอลต์ จากการศึกษาหินบะซอลต์บริเวณเขาลันหม อำเภอป่าพลอยของ Yaemniyom (1982) กล่าวว่าหินบะซอลต์บริเวณดังกล่าวน่าจะเกิดมาจากการหินหนืดปฐมภูมิ (primary magma) และพลอยครอแรนดัมที่พบเกิดเป็นผลึกแร่ขนาดใหญ่ ในหินบะซอลต์ น่าจะมีความสัมพันธ์กับการเกิด ผลึกแร่ขนาดใหญ่ ต่างๆ เช่น ไฟรอตซินและสปีนेल ภายใต้ความดัน ไม่ต่ำกว่า 15-20 กิโลบาร์

ธนวุฒิ ศิรินาวนิ (2524) ได้ทำการศึกษาหินบะซอลต์ชนิดโอลิวินเนฟิลีไนต์ ในพื้นที่แหล่งพลอยครอแรนดัม (ทับทิม) ที่บริเวณห หนองบอน จังหวัดตราด สรุปว่าพลอยครอแรนดัมบริเวณดังกล่าวไม่มีความสัมพันธ์ทางด้านการกำเนิดกับหินโอลิวินเนฟิลีไนต์โดยตรง และสันนิษฐานว่าพลอยครอแรนดัมถูก นำเข้ามาโดยหินบะซอลต์ดังกล่าว จากระดับความลึกที่มีสภาวะความดันประมาณ 20 กิโลบาร์หรือสูงกว่า ซึ่งอยู่เหนือระดับที่ มีการเกิดหินหนืด โอลิวินเนฟิลีไนต์ แต่ไม่ได้กล่าว ถึงรายละเอียดเกี่ยวกับด้านกำเนิดของพลอยครอแรนดัมว่ามีกระบวนการกำเนิดมาได้อย่างไร

Levinson และ Cook (1994) เสนอสมมุติฐานการกำเนิดพลอยครอแรนดัมในหินแอลคาไลน์บะซอลต์ว่า ทั้งพลอยครอแรนดัมและหินแอลคาไลน์บะซอลต์ ไม่ได้มีความสัมพันธ์ทางด้านการกำเนิดต่อกันเลย แต่การที่พบพลอยครอแรนดัมฝังอยู่ในหินแอลคาไลน์บะซอลต์นั้นสามารถ

อธิบายได้เป็น 2 ขั้นตอน ตามหลักทฤษฎีของแผ่นธารณีแปรสัณฐาน (plate tectonic theory) โดย ขั้นตอนแรกเป็นการกำเนิดพลอยคอรันดัมจากหินตะกอนที่ มีอะลูมิเนียมสูง เช่น หินดินดาน หรือ วัสดุพากไฮเดรตอะลูมิเนียมออกไซต์ ซึ่งสามารถเกิดขึ้นได้อよ่างกว้างขวางในเขตเมืองร้อน หิน ตะกอนและวัสดุเหล่านี้ถูกพาลงสู่ใต้แผ่นเปลือกโลกบริเวณเขตมุดตัวของเปลือกโลก (subduction zone) ภายใต้อุณหภูมิและความดันที่เหมาะสมสามารถทำให้แร่ประกอบหินดินดานที่ มีอะลูมิเนียม สูง ซึ่งเป็นพากไฮเดรตอะลูมิเนียมออกไซต์ เปลี่ยนแปลง เป็นคอรันดัมโดยกระบวนการแปรสภาพ การเปลี่ยนแปลงนี้สามารถเกิดขึ้นได้ที่ระดับความลึกตั้งแต่ 24-50 กิโลเมตร หรือที่ความดัน ประมาณ 8-17 กิโลบาร์ ซึ่งเป็นส่วนล่างของเปลือกโลก (lower crust) สำหรับขั้นตอนที่สองเป็น ขั้นตอนการนำพาพลอยคอรันดัมขึ้นมาสู่ผิวโลกโดยหินหนีดแอลคาไลน์บะชอลต์ ซึ่งเกิดขึ้นที่ ระดับลึกกว่าเขตการเกิดพลอยคอรันดัม คือระดับลึกไม่ต่ำกว่า 50 กิโลเมตร หรือที่ความดันสูงไม่ต่ำ กว่าประมาณ 17 กิโลบาร์ อันเป็นส่วนบนของชั้นแม่นเทิด (upper mantle) ของโลก เมื่อหินหนีด แอลคาไลน์บะชอลต์ปะทุขึ้นมาจะนำพาพลอยคอรันดัมขึ้นมาสู่ผิวโลกได้

อภิเชษฐ์ นุญสูง (2540) ได้ศึกษาธารณีเคมีและศิลวิทยาของหินบะชอลต์เม่ทะ จังหวัดลำปาง หินบะชอลต์เม่ทะประกอบด้วยหินลavaหลากบนปกเป็นส่วนมาก หินลavaหลากได้ น้ำ และกองเศษหินชิ้นภูเขาไฟเล็กน้อย หินลavaหลากบนปกประกอบด้วยหินลavaหลากอย่างน้อย 6 ชั้น โดยแต่ละชั้นมีความหนาตั้งแต่ประมาณ 1 เมตรถึงมากกว่า 12 เมตร ในแต่ละชั้นศิลวะรรณ หินบะชอลต์เม่ทะเปลี่ยนสภาพน้อยที่สุด มีเนื้อดอกถึงเนื้อจุลคลอก แร่ดอกและจุลแร่ดอก ส่วนใหญ่ เป็นโซลิวิน แร่ดอกและจุลแร่ดอกที่พบบ้างเล็กน้อย ได้แก่ แพลจิโอเคลส ไคลโนไพรอกซีน เหล็ก- ไทเทเนียมออกไซต์และโครเมียนสปินेल ในแต่ละชั้นศิลวะรรณหินบะชอลต์มีต้นกำเนิดจากหินหนีด เดียวกันและอยู่ในหินหนีดชุดแอลคาลิก หินหนีดต้นกำเนิดของหินบะชอลต์ แม่ทะอาจเกิดจากการ หลอมเป็นบางส่วนในระดับต่ำของแม่น ทิลอุคสมบูรณ์ ในภาวะความดันมากกว่า 10 กิโลบาร์ (ความลึกมากกว่า 35 กิโลเมตร) เล็กน้อย และเคลื่อนตัวขึ้นมาสะสมในแหล่งกักเก็บหินหนีดใน ระดับดิน (ความดันประมาณ 5 กิโลบาร์หรือความลึก 17-18 กิโลเมตร) ก่อนที่จะปะทุขึ้นมาสู่ผิว โลกและทำให้เกิดกลุ่มหินบะชอลต์เม่ทะ

จกรพันธ์ สุทธิรัตน์ (2537) ได้ศึกษาศิลวะรรณของหินบะชอลต์บริเวณอำเภอสบ ปราบ และอำเภอเกาะคาจังหวัดลำปาง ลักษณะทางธารณีวิทยาของหินบะชอลต์ในพื้นที่แบ่ง ออกเป็น 2 บริเวณ คือ หินบะชอลต์ทางตอนเหนือ (น้ำใจบะชอลต์) และหินบะชอลต์ทางตอนใต้ (สบปราบ-เกาะคาบะชอลต์) น้ำใจบะชอลต์บริเวณนี้แสดงการไหลลงตามชั้นของเข้า ส่วน หินสบปราบ-เกาะคาบะชอลต์ แบ่งออกเป็น 5 ชั้น หินใจบะชอลต์ และ สบปราบ-เกาะ บะชอลต์ สามารถแบ่งแยกจากกันได้โดยลักษณะทางธารณีเคมีอย่างชัดเจน ในความแตกต่างของ

ทั้งธาตุหลัก และธาตุร่องรอย น้ำใจบะชาลด์ถูกจัดไว้ ห้องในกลุ่มน้ำชาไนต์ ขณะที่สูบปราบ- เกาะ คำบะชาลด์ จัดอยู่ในประเภทอัลคาไลน์ Olivine บะชาลด์ อาจสรุปได้ว่าหินบะชาลด์ 2 บริเวณ กำเนิดมาจากหินหนึ่งเดียวที่มีที่ตั้งอยู่ในชั้นแม่นเทิลตอนบน ด้วยลำดับการหลอมละลายบางส่วน ต่อ ร่องรอยพลาลอยแซปไฟร์ในพื้นที่โดยเฉพาะบริเวณน้ำใจบะชาลด์ น่าจะแสดงความสัมพันธ์ของ พลาลอยแซปไฟร์และการกำเนิดอย่างใกล้ชิดกับการกำเนิดของหินบะชาลด์ เช่นเดียวกับหินบะชาลด์ ที่ให้พลาลอยหัวไผ่ เป็นไปได้ว่าพลาลอยแซปไฟร์อาจจะมีกำเนิดเริ่มต้นและบุกเบิกแล้วนาดใหญ่ที่ตอก พลีกจากหินหนึ่งเดียวที่มีที่ตั้งอยู่ในชั้นแม่นเทิลตอนบนที่ความดันสูงกว่า 20 กิโลบาร์ สปีเนล เลอเรโซไลท์ที่ติดมาในหินน้ำใจบะชาลด์ปูนภูมิแสดงให้เห็นว่า หินหนึ่งเดียวที่ติดมาในหินบะชาลด์ บางส่วนในชั้นแม่นเทิลตอนบนที่ความดันต่ำกว่า 25 กิโลบาร์

Zhou และ Mukasa (1997) ได้ศึกษาธรณีเคมี (Geochemical) ของหินบะชาลด์จาก ที่ร่วนสูงโกราชในประเทศไทย ซึ่งหินมีอายุ 0.9 ล้านปี (ใช้วิธี K-Ar หาอายุของหินตัวอย่างที่เข้า กระโดง) โดยแบ่งหินเป็นหินกลุ่มที่ 1 ซึ่งเก็บมาจาก นครราชสีมา และ ภูวน ล้านนา หินกลุ่มที่ 2 เก็บมา จาก เขากะรัง ยะไข่ ปะบัด ภูพระอังคาร และ เขานพนมรุ้ง ผลจากการศึกษามิ่งสามารถที่จะระบุชนิด ของหินบะชาลด์ในที่ร่วนสูงโกราชได้อย่างชัดเจน เพราะว่าธาตุที่เป็นองค์ประกอบของหินที่ศึกษา มีในหินบะชาลด์เกือบทุกชนิด และ สำหรับธาตุที่เป็นองค์ประกอบของหินทั้งสองกลุ่มที่ตัว เชื่อมโยงกับสมบัติทางแม่เหล็กที่มีอยู่ในหิน ได้แก่ ธาตุจำพวกเหล็กที่อาจจะเป็นส่วนประกอบ ของแร่เชิง แมกนีไทต์ และแมกนีไทต์ ซึ่งเป็นแร่ที่มีสมบัติทางแม่เหล็กเป็นพวกรอยไม่ติด

Charusiri และคณะ (2004) ได้ศึกษาธรณีวิทยาและศิลปาเคมีของหินบะชาลด์ที่เข้า กระโดงในจังหวัดบุรี รัมย์ เป็นเขากะรังบะชาลด์ขนาดเล็กๆ ปะบัด ภูพระอังคาร หินที่มีอายุ 30 ตาราง กิโลเมตร โดยมีสารหินละลายหลัก ไฮโลไปทางทิศตะวันออกเฉียงเหนือ จากการหาอายุหินทั้งก้อน ด้วยวิธี Ar/Ar พบว่ามีอายุที่พอเชื่อถือได้ประมาณ 1 ล้านปี ภายในเนื้อหินบะชาลด์มีสีดำปนเทาถึง สีน้ำตาลเนื้อแน่นและมีพลีกที่มองไม่เห็น จากการศึกษาศิลปาธรณภาพของหินบะชาลด์จากชั้นล่างขึ้น ชั้นบนแสดงให้เห็นว่าหินบะชาลด์หลายชั้นมีแร่วิทยาและหินที่คล้ายคลึงกัน โดยมีแร่แมกนีไทต์ (magnetite) ที่เป็นแร่สำคัญในการศึกษาสมบัติทางแม่เหล็ก ผลการศึกษาทางธรณีเคมีแสดงว่า หินบะชาลด์ที่ เขากะรัง เป็นหินบะชาลด์ ชนิดแอลคาไลน์ ตั้งแต่ปานกลาง ทั้งสองศิลปา วรรณภาพและธรณีเคมี ชี้ให้เห็นว่าหินบะชาลด์ที่ เขากะรัง อยู่ระหว่างหินบะชาลด์ชนิดฮาวยายไอต์ (Hawaiite) จนถึง ออลิวินแอลคาไลน์ (Olivine alkaline)

Bhongsuwan และ Elming (2000) ศึกษาสมบัติแม่เหล็ก ของหินและลักษณะ แม่เหล็กบรรพกาลของหินบะชาลด์จากภาคกลางและภาคเหนือของประเทศไทย โดยได้เก็บ

ตัวอย่างหิน bazalt มาจากแหล่งหิน 5 แหล่ง ได้แก่ แหล่งหิน bazalt ล้านารายณ์ แหล่งหิน bazalt วิเชียรบุรี แหล่งหิน bazalt ค่นชัย แหล่งหิน bazalt สนป่าบาน และแหล่งหิน bazalt เมือง ที่โดยนำมาวัดค่า แมกนีไฟเซ็นต์ต่อก้างธรรมชาติ ค่าสภาพรับไว้ได้ทางแม่เหล็ก ค่า AMS และลบล้างจำนวนแม่เหล็กโดยใช้ความร้อนและใช้กระแสน้ำ ผลการศึกษาพบว่าหิน bazalt ประกอบด้วยแร่แมกนีไทต์และแร่ไฟฟ้าโนแนกนีไทต์เป็นส่วนใหญ่ โดยพบแร่แม่เหล็กพาก Ti-rich ไฟฟ้าโนแนกนีไทต์ในแหล่งหินสนป่าบาน แหล่งหินแม่ทะและบางจุดของแหล่งหินค่นชัย ส่วน Ti-poor ไฟฟ้าโนแนกนีไทต์พบในแหล่งหินล้านารายณ์ แหล่งหินวิเชียรบุรี แหล่งหิน bazalt ค่นชัย สำหรับค่า Q-Value พบว่าตัวอย่างหินส่วนใหญ่มีเสถียรภาพทางแม่เหล็กสูง จึงเป็นไปได้ว่าหินสามารถรักษาแมกนีไฟเซชั่น ต่อก้าง อาจไว้ได้ ในส่วนของสภาพแอนไฮโซ ทรอปีเชิงแม่เหล็กพบว่าส่วนใหญ่มีค่า  $P_j$  ที่ต่ำกว่า 10% และคงว่าแอนไฮโซ ทรอปีมีผลน้อยมากต่อทิศทางของแมกนีไฟเซ็นต์ต่อก้างธรรมชาติ นอกจากนี้หินยังมีค่า foliated มากกว่าค่า lineated ซึ่งพบโดยทั่วไปในลาวาหลัก และคงว่ารูปทรงของค่าสภาพรับไว้ได้ทางแม่เหล็ก ก่อนข้างที่จะเป็นแบบแบนที่ขี้ว (oblate ellipsoid)

Zhang และคณะ (2008) ได้ศึกษาคุณสมบัติแม่เหล็กและสภาพแอนไฮโซ ทรอปี เชิงแม่เหล็กของพนังแทรกชั้น (sill) และหิน bazalt หลากหลาย จากหินภูเขาไฟไทยมีร. เบทเพนนิชูลา ทางตอนเหนือของรัสเซีย พบว่ามีค่าสภาพรับไว้ได้ทางแม่เหล็กสูงด้วยกันสองชนิด โดยพนังแทรกชั้นมีค่าเฉลี่ย  $3.7 \times 10^{-3}$  SI ส่วนหิน bazalt มีค่าสูงกว่า  $5.3 \times 10^{-3}$  SI ส่วนขนาดของเกรนแม่เหล็กที่มีผลต่อเสถียรภาพของค่าแมกนีไฟเซ็นต์ต่อก้างในหิน โดยเกรนแม่เหล็กที่มีขนาดเล็กจะส่งผลมากกว่าเกรนแม่เหล็กที่มีขนาดใหญ่ และจากผลการศึกษาแอนไฮโซ ทรอปีของค่าสภาพรับไว้ได้ทางแม่เหล็กพบแร่แม่เหล็กในกลุ่มเฟอร์โรแมกเนติก โดยในพนังแทรกชั้นพบแร่แม่เหล็ก Ti-poor ไฟฟ้าโนแนกนีไทต์ ที่มีขนาดเกรนละเอียด (PSD และ SD) และแร่แมกนีไทต์ที่มีขนาดเกรนหมายกว่า (PSD หรือ MD) ส่วนในหิน bazalt อลด์หลาภพแร่แม่เหล็ก Ti-poor หรือ Ti-medium ไฟฟ้าโนแนกนีไทต์ ที่มีขนาดเกรนหมาย (PSD หรือ MD)

Endale และ Marcia (1999) ได้ศึกษาโครงสร้างแม่เหล็กของหิน bazalt ยุคเมโซโซนิก ในเบตปาราน่า ทางตอนใต้ของประเทศบราซิล เพื่อศึกษาทิศทางการไหลของลาวาในอดีต และเพื่อหาตำแหน่งที่เกิดการปะทุของลาวา โดยใช้ข้อมูลการศึกษาค่าแอนไฮโซ ทรอปีของค่าสภาพรับไว้ได้ทางแม่เหล็ก จาก 5 จุดเก็บตัวอย่าง ใน 3 บริเวณที่แตกต่างกัน คือ บริเวณทางตะวันออกเฉียงใต้ 2 จุด (BV และ CV) บริเวณทางตะวันตกเฉียงใต้ 1 จุด (JS) และในบริเวณทางตอนกลาง 2 จุด (IC และ PA) โดยพบว่าจากจุด BV และ CV มีทิศทางการไหลในแนวตะวันออกเฉียงเหนือ / ตะวันตกเฉียงใต้ และจากจุด JS มีทิศทางการไหลในแนวตะวันตกเฉียงเหนือ / ตะวันออกเฉียงใต้

และจากจุด IC และ PA มีทิศทางการไหลในแนวตะวันออก- ตะวันตก โดยใช้ค่า  $k_{\max}$  ( $k_1$ ) และจากตัวอย่างหินทั้งหมดแสดง ให้เห็นถึงค่า  $k_{\min}$  ( $k_3$ ) ที่อยู่ในแนวตั้งจากกับทิศทางการไหลของ lava นอกจากนี้ในส่วนของการศึกษาสมบัติของแม่เหล็กในหินพบว่า มีแร่แมกนีไทต์ขนาดเกรน PSD จนถึง MD และแร่ Ti-poor ไททาโนแมกนีไทต์เป็นแร่ประกอบในตัวอย่างหินด้วยเช่นกัน

Rixiang และ คณะ (2003) ได้ศึกษาแอน ไอโซ ทรอปีของค่าสภาพรับไว้ได้ทางแม่เหล็กและคุณสมบัติแม่เหล็กของหิน bazaltic Hannuoba ทางตอนเหนือของประเทศจีน เพื่อที่จะหาตำแหน่งของปล่องภูเขาไฟ จากการวิเคราะห์ทางเคมีของหิน bazaltic ที่ศึกษาพบว่าเป็นชนิด แอลคาไลน์ bazaltic (alkali basalt) และหิน โทเลอิติก bazaltic (tholeiitic basalts) มีอายุเฉลี่ยประมาณ 21.4 ล้านปี และจากการวัดค่าสภาพรับไว้ได้ทางแม่เหล็กที่อุณหภูมิต่างๆ ของตัวอย่างหิน bazaltic พบว่ามีอุณหภูมิครีปธรรม 560-585 °C ซึ่งเป็นอุณหภูมิครีปของแร่แมกนีไทต์ และจากการศึกษาเพื่อหาขนาดของเกรนแม่เหล็ก พบว่าอยู่ในช่วง Pseudo-Single Domain (PSD) ส่วนผลของแอน ไอโซ ทรอปีของค่าสภาพรับไว้ได้ทางแม่เหล็กแสดงให้เห็นถึงทิศทางของแกน  $k_{\max}$  ซึ่งขนานไปกับทิศทางการไหลของ lava ส่วนแกน  $k_{\min}$  จะมีทิศตั้งฉากกับการไหลของ lava และเมื่อนำกลุ่มของตัวอย่างหินทั้งหมดจากจุดเก็บตัวอย่างที่อยู่โดยรอบ บนของปล่องภูเขาไฟมาเบรี่ยนเทียนกับทิศทางของแกน  $k_{\max}$  ที่ขนานไปกับการไหลของ lava นั้นก็สามารถที่จะหาตำแหน่งของปากปล่องภูเขาไฟได้

Mattsson และ Elming (2001) ได้ศึกษาแอน ไอโซ ทรอปีของค่าสภาพรับไว้ได้ทางแม่เหล็กของหินแกรนิต Ratan ในเขต TIB ตอนกลางของประเทศไทย เค้นพบว่ามีแร่แมกนีไทต์ และหรือ ไททาโนแมกนีไทต์ เป็นแร่แม่เหล็กในหินตัวอย่าง และจากการศึกษา AMS แสดงให้เห็นลักษณะโครงสร้างทางแม่เหล็กที่ต่างกัน 3 เขตคือ เขตทางด้านตะวันออก เขตตอนกลางและเขตด้านตะวันตก ซึ่งผลที่ได้ในเขตตะวันออก แสดงทิศทางของแกน  $k_3$  อยู่ในแนวตะวันตกเฉียงใต้- ตะวันออกเฉียงเหนือ ส่วนแกน  $k_1$  และ  $k_2$  กระจายโดยรอบในแนวตะวันตกเฉียงเหนือ- ตะวันออกเฉียงใต้ซึ่งขนานไปกับแนวรอยต่อของเขตพลูโตนหินแกรนิต ส่วนในเขตตะวันตกทิศทางของแกน  $k_3$  อยู่ในแนวตะวันออก- ตะวันตก ส่วนแกน  $k_1$  และ  $k_2$  กระจายโดยรอบในแนวเหนือ- ใต้ ซึ่งขนานไปกับแนวรอยต่อของเขตพลูโตนหินแกรนิต เช่นเดียวกัน ส่วนในเขตตอนกลางจะมีลักษณะที่ต่างออกไปคือ ทิศทางของแกน  $k_3$  จะอยู่ในแนวตั้ง ส่วนแกน  $k_1$  และ  $k_2$  กระจายอยู่โดยรอบในแนวตะวันตกเฉียงเหนือ- ตะวันออกเฉียงใต้ ซึ่งจากผลดังกล่าวในเขตด้านตะวันออกและด้านตะวันตกทำให้เชื่อว่าเป็นผลมาจากการเคลื่อนตัวของแนวรอยต่อของเขตพลูโตนหินแกรนิตนั่นเอง

Salminen และ Pesonen (2007) ศึกษาสมบัติทางแม่เหล็กของหินมอนโซ่ ไอโอไรต์ และหินไชอิโนต์ ซึ่งเป็นกลุ่มหินอัคนีน้ำเงิน Valaam ในประเทศรัสเซีย ผลกระทบจากการทดสอบค่า

ความหนาแน่น ค่า  $k$  ค่า NRM และค่า Q-value พบว่าหิน มอนโซนิไซด์อิรต์มีค่าความหนาแน่นมากกว่าหินไฮอีไนต์ซึ่งคาดว่าจะเป็นผลมาจากการแร่โลหะที่ประกอบอยู่ในหิน นอกจากนี้ค่า NRM และค่า  $k$  ของหินมอนโซนิไซด์อิรต์ก็ยังสูงกว่าหินไฮอีไนต์ ส่วนค่า Q-value นั้นไม่ค่อยแตกต่างกันมากนัก ในส่วนของการทดสอบหาแร่ประกอบในหินด้วย ยวิชีความร้อน พบว่ามีแร่กลุ่มเฟอร์โรแมกเนติกเป็นแร่ประกอบในหิน โดยหินมอนโซนิไซด์อิรต์มีอุณหภูมิครีปประมวล  $535-560^{\circ}\text{C}$  ซึ่งแสดงลักษณะของแร่ “ไทยาโนแมกนีไทต์” ที่มี “ไทเทเนียม” ประกอบอยู่เล็กน้อย และมีเพียงบางตัวอย่างหินไฮอีไนต์ที่มีอุณหภูมิ  $325-355^{\circ}\text{C}$  ซึ่งเป็นอุณหภูมิครีบองแร่ “ไทยาโนแมกนีไทต์” ที่มี “ไทเทเนียม” ประกอบอยู่ค่อนข้างมาก และจากการศึกษา AMS พบว่ามีค่า  $P_{\text{j}}$  อยู่ในช่วง  $1-6\%$  ซึ่งเป็นค่าที่น้อยและไม่ส่งผลต่อค่าทิศทางแมกนีไทเซ็นในตัวอย่างหิน โดยหินมอนโซนิไซด์มีค่า  $P_{\text{j-T}}$  ที่มากกว่าหินไฮอีไนต์เล็กน้อย

Lipka และคณะ (1988) ได้ทำการศึกษาแร่ “ไทยาโนแมกนีไทต์” ในหิน bazalt จากประเทศในเจริญ โดยตัวอย่างหิน bazalt เป็นชนิด เนฟелиน bazalt และชนิด โลลิวิน bazalt ตัวอย่างหินทั้งหมดให้ค่าสภาพรับไว้ได้ทางแม่เหล็กเฉลี่ยในระดับ  $20 \times 10^{-3}$  SI และทำการทดสอบด้วยความร้อนเพื่อหาอุณหภูมิครี พบว่าจากตัวอย่างหินเนฟелиน bazalt ในตัวอย่างหินมีอุณหภูมิครีประมวล  $80-130^{\circ}\text{C}$  และจากการทดสอบด้วยรังสีเอ็กซ์เรย์ เพื่อ ตรวจหาปริมาณของชาตุ “ไทเทเนียม” ที่เป็นส่วนประกอบในแร่ “ไทยาโนแมกนีไทต์” ( $\text{Fe}_{3-x} \text{Ti}_x \text{O}_4$ ) พบว่ามีปริมาณ “ไทเทเนียม” ( $x$ ) ประมวล  $0.7$  หรือ  $70\%$  ส่วนตัวอย่างหินชนิด โลลิวิน bazalt มี อุณหภูมิครีอยู่ในช่วง  $450-500^{\circ}\text{C}$  พบว่ามีปริมาณ “ไทเทเนียม” ( $x$ ) ที่น้อยกว่า  $0.2$  หรือน้อยกว่า  $20\%$  โดยปริมาณของ “ไทเทเนียม” ( $\text{Ti}, 0 \Omega_x \Omega_1$ ) ที่ต่างกันจะส่งผลถึงการเปลี่ยนแปลงของกลุ่มแร่จาก “แมกนีไทต์” ( $\text{Fe}_3\text{O}_4$ ) ไปเป็นกลุ่มแร่ “ulvöspinel” ( $\text{Fe}_2\text{TiO}_4$ )

Bascou และคณะ (2005) ศึกษาสมบัติทางแม่เหล็กกับโครงสร้างทางผลึกในหิน bazalt หลาก ในบริเวณ Monts Ramus ทางตอนใต้ของประเทศฝรั่งเศส อายุประมวล  $0.7$  ล้านปี (หาอายุด้วยวิธี K-Ar) โดยมีลักษณะชั้นหิน bazalt แบ่งเป็น 3 ชั้น ผลจากการวิเคราะห์ทางด้านแม่เหล็ก k-T curves และจากการทดสอบด้วยกล้องจุลทรรศน์อิเล็กตรอน พบแร่ “Ti-rich” “ไทยาโนแมกนีไทต์” ( $\text{Fe}_{3-x} \text{Ti}_x \text{O}_4$ ) ที่อุณหภูมิครีประมวล  $150^{\circ}\text{C}$  แสดงถึงปริมาณ “ไทเทเนียม” ( $\text{Ti}$ )  $60\%$  ( $x=0.6$ ) ในหิน bazalt ชั้นบน ส่วนในหินชั้นล่างและชั้นกลางของหิน bazalt หลาก แสดงอุณหภูมิครีที่ต่ำกว่า  $150^{\circ}\text{C}$  แสดงถึงปริมาณ “ไทเทเนียม” ที่มากกว่า  $60\%$  ( $x>0.6$ ) หรืออาจจะมีชาตุ Al และ Mg ผสมอยู่ในแร่ “ไทยาโนแมกนีไทต์”

Tugui และคณะ (2009) ศึกษาคุณสมบัติทางแม่เหล็กของหิน bazalt ที่ครอบคลุม บริเวณหิน bazalt หลาก ใช้วิธีการทดสอบหาค่าสภาพรับไว้ได้ทางแม่เหล็กที่เปลี่ยนแปลงเมื่อให้ความ

ร้อนเพื่อหาอุณหภูมิครี พบแร่ที่เป็นองค์ประกอบในหินแบ่งเป็น 3 กลุ่ม โดยกลุ่มแรก เป็นแร่แมกนีไทต์ (อุณหภูมิครี 580 °C) กลุ่มที่สอง เป็นแร่ไททาโนแมกนีไทต์ที่มีปริมาณของไทเทเนียมในปริมาณที่มาก (อุณหภูมิครีอยู่ในช่วง 100-200 °C) และกลุ่มที่สาม เป็นแร่ไททาโนแมกนีไทต์ ที่มีปริมาณของไทเทเนียมในปริมาณที่ต่างกัน (อุณหภูมิครีอยู่ในช่วง 100-200 °C และ 500-600 °C) โดยกลุ่มที่มีอุณหภูมิครีระหว่าง 100-200 °C จะมีปริมาณของไทเทเนียม 40-60% เป็นองค์ประกอบในแร่ไททาโนแมกนีไทต์ ( $\text{Fe}_{3-x} \text{Ti}_x \text{O}_4$ ) ( $x$  อยู่ในช่วง 0.4-0.6) ซึ่งเป็นกลุ่มแร่ในตระกูล ulvöspinel

### 1.6 วัตถุประสงค์

- 1.) เพื่อศึกษาและวิเคราะห์ สมบัติทางแม่เหล็กของหิน bazalt ในบางแหล่งของประเทศไทย ที่คาดว่าจะมีความสัมพันธ์กับการเกิดพลอย��อรันดัมในประเทศไทย
- 2.) เพื่อพัฒนาเป็นวิธีการทางชลวีฟลิกส์อย่างง่าย ในการทดสอบหิน bazalt ในประเทศไทย

## บทที่ 2

### วิธีการวิจัย

การศึกษาวิจัยในครั้งนี้ได้ใช้วัสดุ อุปกรณ์และวิธีการดำเนินการวิจัยดังต่อไปนี้

#### 2.1 วัสดุและอุปกรณ์ที่ใช้ในการทดลอง

- 1) ตัวอย่างหิน bazalt ชนิดวัดการวางแผน (Oriented rock samples)
- 2) เครื่องเจาะเก็บตัวอย่างหินแบบเก็บแกน (Portable core-drilling machine)
- 3) เครื่องวัดการวางแผน (Orienting fixture)
- 4) เก็มทิศสุริยะ (Sun compass)
- 5) เก็มทิศแม่เหล็ก (Magnetic compass)
- 6) เครื่องระบุพิกัดทางภูมิศาสตร์ (GPS)
- 7) เครื่องตัดหิน สำหรับเตรียมตัวอย่างหิน
- 8) เครื่องแมgnetiometer แบบหมุน (Spinner magnetometer) ยี่ห้อ AGICO รุ่น JR-6

JR-6

- 9) เครื่องวัดค่าสภาพรับไว้ได้ทางแม่เหล็ก (Spinning Specimen Magnetic Susceptibility Anisotropy Meter) รุ่น KLY-3S Kappabridge
- 10) เครื่องล้างอำนาจแม่เหล็กแบบสนามสลับ ยี่ห้อ Molspin
- 11) เตาเผาสำหรับเครื่อง KLY-3S รุ่น CS-3 ยี่ห้อ AGICO

#### 2.2 วิธีการทดลอง

##### การเก็บตัวอย่างหิน

การเก็บตัวอย่างหิน ชนิดวัดการวางแผน oriented sample มีขั้นตอน ที่ซับซ้อน ละเอียดอ่อน จึงนิยมเก็บตัวอย่างประเภทนี้เมื่อต้องการที่จะใช้กรอบอ้างอิงภูมิศาสตร์ (Geographic reference coordinate) ในการวัดทิศทางของปริมาณเวกเตอร์ที่เป็นสมบัติภายในหิน เช่น ทิศทางของแมgneti Nicole (Direction of Natural Remanent Magnetization, NRM) ในหิน หรือการวางแผนของ susceptibility ellipsoids ในหิน เป็นต้น



**ภาพประกอบ 2.1** แสดงขั้นตอนการเก็บตัวอย่างหินชนิดวัดการวางตัว (Oriented rock sample)

การเก็บตัวอย่างหินชนิดวัดการวางตัว oriented sample มีขั้นตอนดังนี้

- 1) เลือกจุดหินโผล่ที่เหมาะสมที่จะเก็บตัวอย่าง
- 2) เจาะเก็บตัวอย่างด้วยเครื่องเจาะแบบหัวเจาะเพชร ชนิดเก็บแกน (Portable core-drilling machine) โดยระวังไม่ให้แกนตัวอย่างหักใน เจาะลึกประมาณ 3-4 นิ้ว
- 3) ใช้เครื่องวัดการวางตัว (Orienting fixture) เสียบลงในรอยเจาะรอบแกนตัวอย่าง ตั้งระนาบด้วยลูกน้ำ และอ่านค่ามุมเทองแกนตัวอย่าง วัดมุม strike ด้วยเข็มทิศแม่เหล็ก และเข็มทิศสุริยะ (กรณีที่มีแสงแดด) ซึ่งการใช้เข็มทิศทั้ง 2 แบบร่วมกันจะช่วยลดความผิดพลาด กรณีวัดในพื้นที่ที่มีสนามแม่เหล็กربกวนมาก จากนั้นก็นำหัวก้านที่กว้างที่ เวลาและค่าเส้นรุ้ง-เส้นแรงของ จุดเก็บตัวอย่าง
- 4) ปิดรอยดินสอดสีบนแกนตัวอย่างลงในร่องที่สวมแกนตัวอย่างอยู่
- 5) ถอนเครื่องวัดการวางตัวออก
- 6) ใช้แท่งทองแดงที่มีปลายรูปลิ่มแทงลงในรอยเจาะ และวัดให้แท่งตัวอย่างหักที่ โคน
- 7) ใช้ปากกาเคมีกันน้ำ ปิดช้าตรงรอยดินสอสี และเขียนหมายเลขอับกับลงบน แกนตัวอย่าง
- 8) ได้แกนตัวอย่างแบบ oriented sample

หินตัวอย่างที่ทำการศึกษาถูกเก็บมาจากแหล่งหินนับชอลต์ที่กระจายอยู่ในหลายบริเวณต่างๆ ในประเทศไทย โดยทำการเก็บจากจุด (site) ที่พิจารณาแล้วว่าเหมาะสมกับงานวิจัย ซึ่งจุดที่ทำการเก็บส่วนใหญ่จะเป็นหินที่สดและยังไม่เกิดการผุกร่อนของหิน เพราะหากเกิดการผุกร่อนของหินนั้น ก็จะทำให้สมบัติทางแม่เหล็กของหินนั้นเปลี่ยนแปลงไป หินตัวอย่างบริเวณทางภาคตะวันออกเฉียงเหนือตอนล่าง ส่วนใหญ่เก็บมาจากเหมืองหิน (quarry) ที่กำลังเปิดดำเนินการอยู่ทั้งในจังหวัดนครราชสีมา บุรีรัมย์ สุรินทร์ ศรีสะเกษ และอุบลราชธานี ส่วนในบริเวณภาคเหนือตอนล่างและบริเวณภาคกลาง คือจังหวัดแพร่และเพชรบูรณ์ จุดที่ทำการเก็บตัวอย่างหินจะเป็นบริเวณที่มีการตัดถนนพادผ่านแหล่งหินนับชอลต์ (road cut) ซึ่งจะทำให้ได้หินตัวอย่างที่มีความสดอยู่ ส่วนในจังหวัดกาญจนบุรี จะเป็นบริเวณลานลาวาซึ่งจะมีหินนับชอลต์แผ่กระจายอยู่ในบริเวณกว้าง

### การเตรียมตัวอย่าง

เนื่องจากความจริงที่ว่า แมกนีไฟเซ็นคงค้างธรรมชาติ (NRM) ในหินแต่ละที่อาจเกิดที่เวลาแตกต่างกันเล็กน้อย(สเกลทางธรณีวิทยา) เช่น หินอัคนี ส่วนของหินที่เย็นตัวผ่านอุณหภูมิภูริก่อนก็จะรับเอา NRM ไว้ก่อนหินที่ยังร้อนอยู่ หรือ หินทะกอนที่อยู่ส่วนล่าง จะรับเอา NRM ก่อนหินที่อยู่ส่วนบน ช่วงเวลาที่แตกต่างกันนี้สามารถแม่เหล็กโลหะอาจมีการเปลี่ยนแปลงทิศทางไปเล็กน้อย ทั้งนี้อาจเนื่องมาจาก secular variation ของสนามแม่เหล็กโลกเอง หรือเนื่องมาจากแผ่นเปลี่ยนโลกเกิดการเคลื่อนที่หรือ หมุนตัว ดังนั้นในการเก็บตัวอย่างหินเพื่อวัดสมบัติแบบนี้ จำเป็นต้องใช้วิธีหาค่าเฉลี่ยและทราบความผิดพลาดของค่าเฉลี่ยนั้น จึงทำให้จุดเก็บตัวอย่างหนึ่งๆ (sites) ควรจะเก็บตัวอย่างอย่างน้อย 5-10 ตัวอย่าง (samples) และแต่ละตัวอย่างยังสามารถตัดแบ่งออกได้เป็นชิ้นงาน 1-3 ชิ้นงาน (specimens) เพื่อนำค่าที่ได้จากการวัดแต่ละชิ้นงานเหล่านี้มาเฉลี่ยเพื่อให้ได้ข้อมูลที่ถูกต้องมากที่สุด

แท่งตัวอย่างที่เก็บจาก site ต่างๆ จะต้องนำมัดเป็นชิ้นตัวอย่างรูปทรง กระบวนการสูง 2.25 เซนติเมตร ก่อนที่จะนำไปวัดด้วยเครื่องมือชนิดต่างๆ เครื่องดัดหินเป็นเครื่องที่สร้างขึ้นเองที่ภาควิชาฟิสิกส์ คณะวิทยาศาสตร์ มหาวิทยาลัยสงขลานครินทร์ มีระบบบรรยายความร้อนด้วยน้ำหล่อเย็น เครื่องเป็นชนิดใช้มอเตอร์ขนาด 1/2 แรงม้า ใช้ใบตัดหินชนิดเปียก

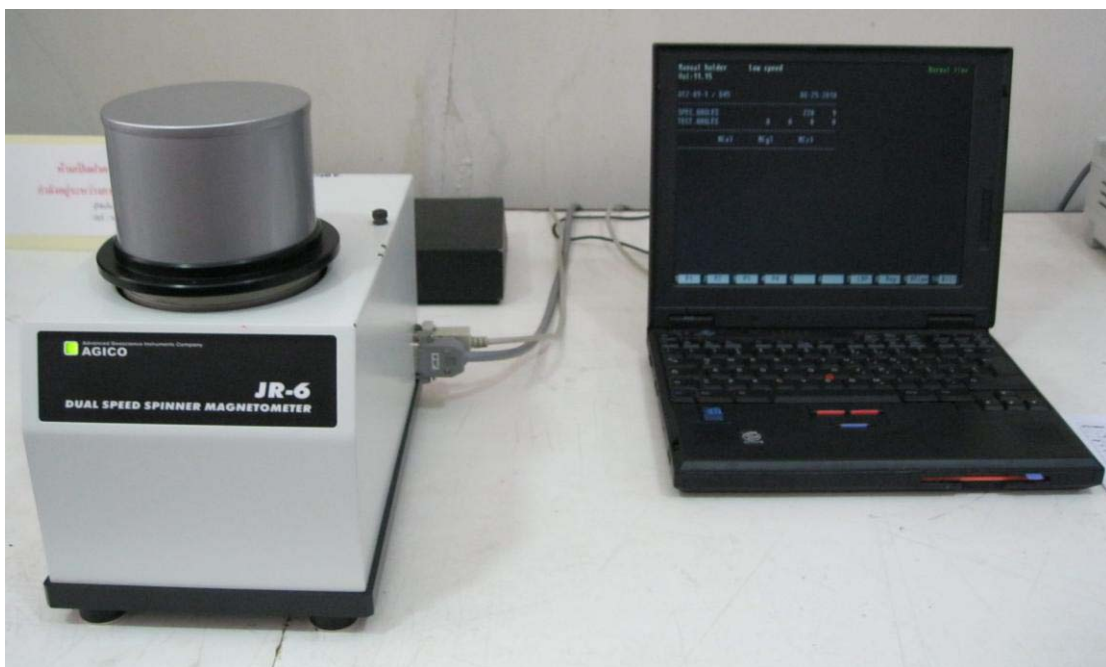


ภาพประกอบ 2.2 แสดงเครื่องตัด แต่งตัวอย่างหิน (บก) และตัวอย่างหินที่ได้จากการเจาะ  
เก็บแกนและชิ้นตัวอย่างมาตรฐานจากการตัดแต่งขนาด 2.25 เซนติเมตร (ล่าง)

### การทดลองในห้องปฏิบัติการ

งานที่ทำการทดสอบ ในห้องปฏิบัติการวิจัยอำนวย资源配置 เหล็กของหินและอิฐ จำเพาะเหล็กบรรพกาล ที่ภาควิชาฟิสิกส์ คณะวิทยาศาสตร์ มหาวิทยาลัยสงขลานครินทร์ โดยทำการศึกษาสมบัติทางแม่เหล็กของหิน ได้แก่ ค่าแมgnetiThiezhan ตากค้างธรรมชาติ (Natural Remanent Magnetization, NRM) ค่าสภาพรับไว้ได้ทางแม่เหล็ก ชนิดสนามต่ำ (low field susceptibility) และพารามิเตอร์ แอนโไอโซทรอปี และค่า Q-value ทำการศึกษาอำนวย资源配置 เหล็กโดยการลบล้างแมgnetiThiezhan ในตัวอย่างหินโดยใช้สกัดแม่เหล็กสลับ (Alternating field demagnetization, AF) และหรือการลบล้างแมgnetiThiezhan ในตัวอย่างหินด้วยวิธีความร้อน (Thermal demagnetization)

1) เครื่องแมgnetiThiezhan แบบหมุน (Spinner magnetometer) ของยี่ห้อ AGICO รุ่น JR-6 จากประเทศสาธารณรัฐเช็ก โดยใช้วัดความเข้มและทิศทางของแมgnetiThiezhan คงค้างของตัวอย่างหินขนาดไม่เกิน 1 นิ้ว ตัวเครื่องมีความไว  $2.4 \times 10^{-6}$  A/m ตัวอย่างหินจะหมุนรอบแกนดึงภายในชุดลวดรับสัญญาณ โดยที่ภายนอกจะมีกำลังแม่เหล็กอยู่ 3 ชั้นทำด้วยโลหะผสม mu-metal และเครื่องมือเชื่อมโดยต่อ กับ เครื่องคอมพิวเตอร์พีซี และควบคุมด้วยโปรแกรมควบคุมการทำงานพร้อมประมาณผลหลังจากการวัดครบ 6 ตำแหน่ง ค่าความเข้มและทิศทาง ของ NRM จะถูกคำนวณโดยอัตโนมัติและแสดงบนจอคอมพิวเตอร์



ภาพประกอบ 2.3 เครื่องแมgnetiThiezhan แบบหมุนยี่ห้อ AGICO รุ่น JR-6

2) เครื่อง วัดค่าสปารับไว้ได้ทางแม่เหล็ก Spinning Specimen Magnetic Susceptibility Anisotropy Meter รุ่น KLY-3S Kappabridge ผลิตโดยบริษัท AGICO, INC ประเทศสาธารณรัฐเช็ก ตัวเครื่องมีความถี่ที่ใช้ 870 Hz ความเข้มของสนามแม่เหล็กที่ใช้ 300 A/m ช่วงการวัดถึง 0.1 SI ความไว  $3 \times 10^{-8}$  SI ความถูกต้อง ± 3% ใช้งานเชื่อมต่อกับเครื่องคอมพิวเตอร์และประมวลผลโดยใช้โปรแกรม SUSAM และโปรแกรม SUSAR เพื่อศึกษาสภาพแอนไอโซ ทร,oปีของค่าสปารับไว้ได้ทางแม่เหล็กของตัวอย่างหิน



ภาพประกอบ 2.4 เครื่องวัดค่าสปารับไว้ได้ทางแม่เหล็ก ยี่ห้อ AGICO รุ่น KLY-3S Kappabridge

3) เครื่องกลบล้างอำนวยแม่เหล็กแบบสนามสลับ ยี่ห้อ Molspin ของประเทศอังกฤษ เครื่องล้างอำนวยแม่เหล็กแบบ AF ประกอบด้วย 4 ส่วนสำคัญ คือ (1) ขดลวด ล้างแม่เหล็กและอุปกรณ์ผลิตสนามแม่เหล็ก (2) มอเตอร์ปรับความเร็ว (3) holder สำหรับใส่ตัวอย่างพร้อมระบบ tumbler และ (4) ชุดกำบังแม่เหล็ก ภาชนะบรรจุตัวอย่างพร้อมด้วย tumbler แบบ 2 แกน ถูกวางตรงกับกลางขดลวดล้างแม่เหล็ก ในกำบังแม่เหล็กที่ล็อก สนามแม่เหล็กโลกเหลือเพียงต่ำกว่า 10 nT อุปกรณ์ tumbler ต่ออยู่กับมอเตอร์ที่หมุนด้วยความเร็วปรับได้ สนามแม่เหล็กถูกสร้างโดย AC variometer ซึ่งสามารถผลิตสนามความเข้มสูงสุดประมาณ 95 mT



ภาพประกอบ 2.5 เครื่องลบล้างอำนาจแม่เหล็กแบบสนาณสลับ ยี่ห้อ Molspin

### การวัดค่าสภาพรับไว้ได้ทางแม่เหล็ก และค่า Anisotropy of magnetic susceptibility

การวัดจะใช้เครื่อง Kappabridge ที่มีค่าความละเอียด  $3 \times 10^{-8}$  SI ซึ่งลักษณะของ เครื่องประกอบด้วยตัวเครื่องคอมพิวเตอร์สำหรับควบคุมการทำงานและส่วนที่เป็น holder ใช้ สำหรับวางตัวอย่างหิน เพื่อทำการ วัดและอุปกรณ์ตัวจ่ายพลังงานไฟฟ้าให้กับเครื่องวัด ในส่วน ขั้นตอนของการวัด เริ่มจากทำการ เปิดเครื่องเพื่ออุ่นตัวเครื่อง อย่างน้อย 30 นาที เพื่อจะให้เครื่อง มี เสถียรภาพ จากนั้นปรับเทียบเครื่องโดยใช้ตัวอย่างมาตรฐาน (Calibration) เพื่อความถูกต้อง และ เริ่มทำการวัด โดยวางตัวอย่างหินตามตำแหน่งต่างๆซึ่งมีอยู่ คือ ตำแหน่งในแกน X แกน Y แกน Z จนครบทุกตำแหน่ง หลังจากนั้นทำการใส่ค่า พารามิเตอร์ ต่างๆของตัวอย่างหิน ได้แก่ ข้อมูล Site, Specimen, ค่ามุม Strike และมุม Dip หลังจากนั้นเครื่องจะทำการประมวลผล ให้ค่าสภาพรับไว้ได้ ทางแม่เหล็กและค่าพารามิเตอร์แอนไซทรอปีของค่าสภาพรับไว้ได้ทางแม่เหล็ก

### การวัดค่าแมgnีไฟเซชันตกค้างธรรมชาติ

การวัดค่าแมgnีไฟเซชันตกค้างธรรมชาติ (NRM) โดยการนำตัวอย่างหินที่ได้จาก การเตรียมตัวอย่างทางด้านแม่เหล็กมาทำการวัดด้วยเครื่อง JR-6 Spinner magnetometer โดย ตัวอย่างหินแต่ละชิ้นจะมีค่ามุม Strike และมุม Dip ของแต่ละตัวอย่าง จากนั้นนำตัวอย่างมาจัดวาง ในทิศทางของลูกรบนตัวอย่าง ให้ตรงกับแต่ละตำแหน่งของเครื่องมือวัด เพื่อวัดค่าในแนว แกน X แกน Y และแกน Z โดยตัวอย่างจะหมุนรอบแกนแนวดึงภายในคลอดรับสัญญาณ เครื่องมือเชื่อม ต่อกับคอมพิวเตอร์พีซี ควบคุมด้วยโปรแกรมการทำงาน Rema6.exe และประมวลผลหลังวัดครบ 4 ตำแหน่ง ได้ค่าความเข้มและทิศทางของแมgnีไฟเซชันคงค้างจะถูกคำนวณโดยอัตโนมัติ

### การลบล้างอำนาจแม่เหล็กในหินตัวอย่าง

ในการศึกษาจะนำตัวอย่างหินมาลบล้าง อำนาจ แม่เหล็กเป็นขั้นๆ (Progressive stepwise demagnetization experiment) ซึ่งรวมทั้งหมุดมี 13 ขั้น ด้วยวิธีสนามสลับ การลบล้างด้วยสนามสลับมีการเพิ่มขึ้นของค่าสนาม ดังนี้ 3, 4.5, 6, 7.5, 10, 15, 20, 25, 30, 35, 40, 50 และ 60 mT ตามลำดับ โดยหลังจากการลบล้างแต่ละครั้ง ตัวอย่างที่นจะถูกนำมาวัดด้วยเครื่อง JR-6 Spinner magnetometer ซึ่งจะได้ค่าความเข้มและทิศทางของแมกนีไฟเซชันคงที่แต่ละครั้งที่ทำการลบล้าง ตั้งแต่เริ่มต้นจนครบค่าสนามที่ต้องการ (60 mT)

### การวิเคราะห์หาธาตุประกอบในหินตัวอย่าง

ในการศึกษาจะนำชิ้นตัวอย่างหินบาง มาทำการวิเคราะห์หาธาตุซึ่งเป็นชาตุประกอบในตัวอย่างหิน ด้วยกล้องจุลทรรศน์อิเล็กตรอน แบบส่องกราด (Scanning Electron Microscope: SEM) ของ JSM รุ่น 5800 LV ร่วมกับเครื่องเรืองรังสีเอกซ์แบบกระจายพลังงาน (Energy Dispersive X-ray Spectrometer: EDX) ของ Oxford รุ่น ISIS 300 ที่ศูนย์เครื่องมือวิทยาศาสตร์ มหาวิทยาลัยสงขลานครินทร์

## บทที่ 3

### ผลและการอภิปรายผล

#### 3.1 ผลการวิจัยสมบัติแม่เหล็ก

##### 3.1.1 ผลการวิจัยสมบัติแม่เหล็กขั้นต้นของตัวอย่างหิน

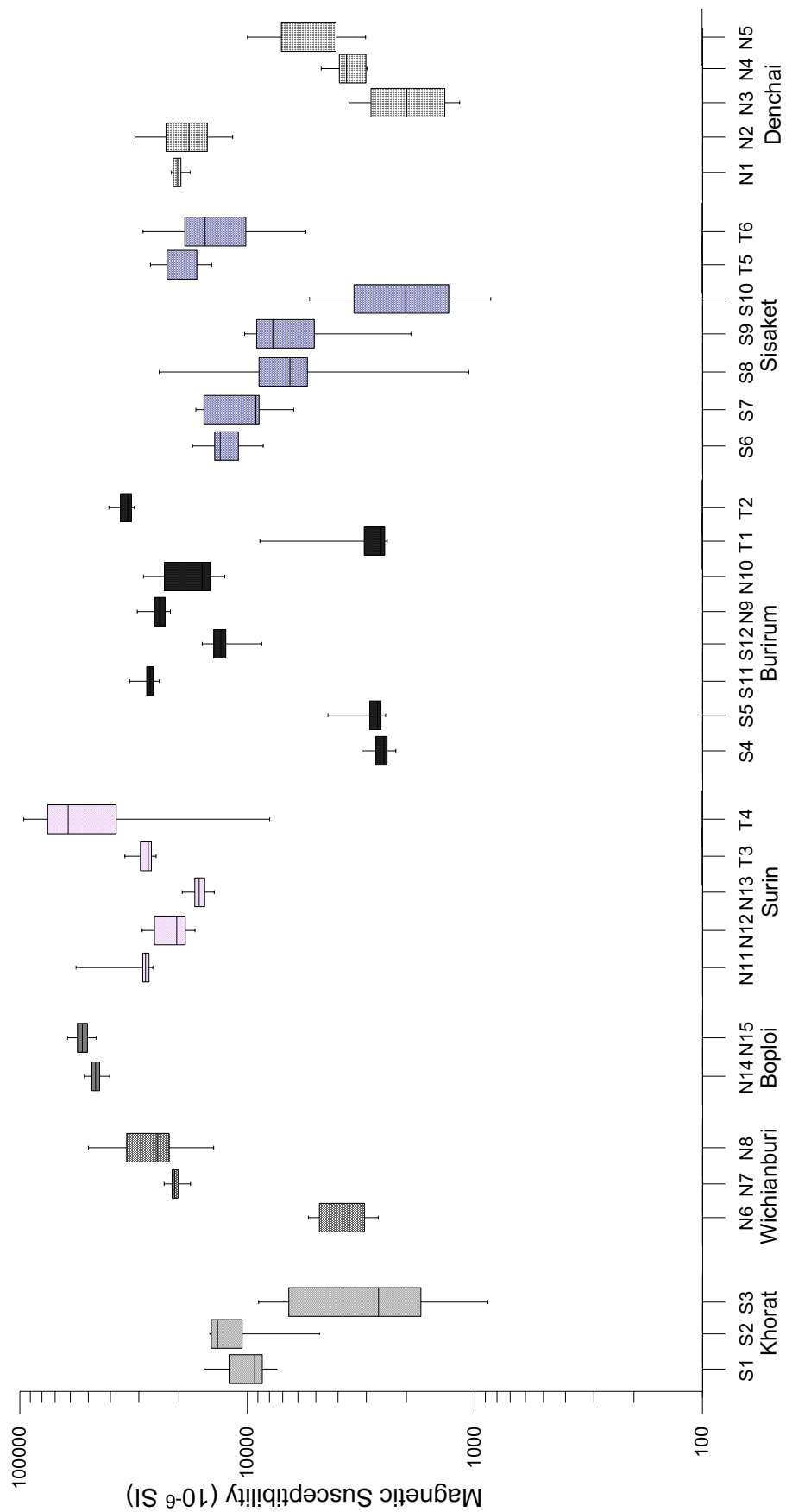
สมบัติทางแม่เหล็กขั้นต้นของหิน bazaltic ที่ศึกษาประกอบด้วย ค่าสภาพรับไว้ได้ทางแม่เหล็ก (Magnetic susceptibility, k) ค่าแมgnétizability ไทยเชื้อตกลักษณะธรรมชาติ (Natural Remanent Magnetization, NRM) ค่าพารามิเตอร์แอนโไอโซทรอปีและค่า Koenigsberger ratio (Q-value) ของตัวอย่างหิน โดยค่าเฉลี่ยต่างๆแสดงไว้ในตารางที่ 3.1

ตารางที่ 3.1 ค่าเฉลี่ยสมบัติแม่เหล็กของตัวอย่างหิน bazaltic จากแหล่งต่างๆที่ศึกษา

| Site            | N  | K <sub>m</sub> (x10 <sup>-6</sup> SI) | NRM (mA/m)  | Q-value | Pj    | T      |
|-----------------|----|---------------------------------------|-------------|---------|-------|--------|
| นครราชสีมา (NR) |    |                                       |             |         |       |        |
| S1              | 21 | 10096 ± 2043                          | 1599 ± 803  | 3.96    | 1.011 | 0.109  |
| S2              | 14 | 11869 ± 3662                          | 1778 ± 836  | 3.75    | 1.013 | 0.375  |
| S3              | 19 | 4088 ± 2871                           | 6848 ± 3835 | 41.88   | 1.026 | -0.486 |
| บุรีรัมย์ (BR)  |    |                                       |             |         |       |        |
| S4              | 29 | 2579 ± 232                            | 223 ± 45    | 2.16    | 1.010 | 0.234  |
| S5              | 30 | 2922 ± 576                            | 164 ± 41    | 1.40    | 1.044 | 0.582  |
| S11             | 23 | 27120 ± 1931                          | 2753 ± 280  | 2.54    | 1.035 | 0.654  |
| S12             | 49 | 13045 ± 1606                          | 3095 ± 228  | 5.93    | 1.015 | 0.892  |
| N9              | 33 | 24615 ± 2003                          | 3428 ± 492  | 3.48    | 1.015 | 0.867  |
| N10             | 37 | 18734 ± 4816                          | 6397 ± 865  | 8.54    | 1.008 | -0.454 |
| T1              | 19 | 3350 ± 1981                           | 425 ± 102   | 3.51    | 1.012 | -0.366 |
| T2              | 16 | 34436 ± 2803                          | 3601 ± 523  | 2.61    | 1.016 | -0.062 |
| สุรินทร์ (SR)   |    |                                       |             |         |       |        |
| N11             | 36 | 29496 ± 5922                          | 445 ± 156   | 0.38    | 1.010 | 0.281  |
| N12             | 31 | 22064 ± 3540                          | 1171 ± 684  | 1.33    | 1.017 | 0.133  |

| <b>Site</b>                      | <b>N</b> | <b>K<sub>m</sub> (x10<sup>-6</sup> SI)</b> | <b>NRM (mA/m)</b> | <b>Q-value</b> | <b>Pj</b> | <b>T</b> |
|----------------------------------|----------|--|-------------------|----------------|-----------|----------|
| N13                              | 31       | 16256 ± 1278                               | 643 ± 137         | 0.99           | 1.033     | 0.797    |
| T3                               | 21       | 27937 ± 2326                               | 514 ± 149         | 0.46           | 1.027     | 0.738    |
| T4                               | 21       | 55623 ± 26781                              | 1042 ± 585        | 0.47           | 1.016     | 0.563    |
| <b>อุบลราชธานี-ศรีสะเกษ (UB)</b> |          |  |                   |                |           |          |
| S6                               | 40       | 12582 ± 2072                               | 5077 ± 690        | 10.09          | 1.069     | 0.031    |
| S7                               | 13       | 10901 ± 3439                               | 4122 ± 719        | 9.45           | 1.035     | -0.231   |
| S8                               | 35       | 8275 ± 5826                                | 1897 ± 1133       | 5.73           | 1.028     | 0.025    |
| S9                               | 27       | 6734 ± 2647                                | 10487 ± 3030      | 38.93          | 1.038     | -0.539   |
| S10                              | 23       | 2374 ± 1314                                | 4139 ± 1828       | 43.58          | 1.013     | 0.457    |
| T5                               | 18       | 19837 ± 3696                               | 4060 ± 280        | 5.12           | 1.003     | 0.111    |
| T6                               | 17       | 14849 ± 6673                               | 1952 ± 814        | 3.29           | 1.026     | 0.192    |
| <b>เด่นชัย (DC)</b>              |          |  |                   |                |           |          |
| N1                               | 19       | 20111 ± 1134                               | 3111 ± 563        | 3.87           | 1.045     | -0.014   |
| N2                               | 13       | 18647 ± 5338                               | 1821 ± 456        | 2.44           | 1.024     | 0.234    |
| N3                               | 19       | 2063 ± 773                                 | 5372 ± 2611       | 65.10          | 1.010     | 0.586    |
| N4                               | 8        | 3646 ± 581                                 | 2480 ± 1307       | 17.00          | 1.009     | -0.438   |
| N5                               | 22       | 5728 ± 2233                                | 1137 ± 309        | 4.96           | 1.022     | 0.763    |
| <b>วิเชียรบุรี (WB)</b>          |          |  |                   |                |           |          |
| N6                               | 16       | 3848 ± 846                                 | 3605 ± 2359       | 23.41          | 1.016     | 0.361    |
| N7                               | 37       | 20748 ± 1155                               | 820 ± 244         | 0.99           | 1.030     | 0.241    |
| N8                               | 17       | 27809 ± 9113                               | 633 ± 712         | 0.57           | 1.054     | -0.014   |
| <b>บ่อพลอย (BP)</b>              |          |  |                   |                |           |          |
| N14                              | 26       | 46536 ± 2699                               | 6704 ± 2177       | 3.60           | 1.017     | -0.120   |
| N15                              | 13       | 52959 ± 4005                               | 12572 ± 7612      | 5.93           | 1.056     | -0.317   |

เมื่อ N คือจำนวนชิ้นตัวอย่าง, K<sub>m</sub> คือค่าส่วนรับไว้ได้ทางแม่เหล็กเฉลี่ย, NRM คือค่าแมกนีไฟซ์ชันคงที่ของรูปทรงชาติ, ค่า Q-value และ ค่า Pj และ T เป็นพารามิเตอร์แอนไซซ์ทรอกี (Jelinek, 1981)



ภาพรังสรรค์ 3.1 การกราฟภายนอกของค่า k จากตัวอย่างพิมพ์ชนิดเดียวทั้งสาม ที่ศึกษา

### 3.1.2 เสถียรภาพทางแม่เหล็กของหิน bazaltic กีกษา

ค่านิวนัณค่า Koenigsberger ratio หรือค่า Q-value ของตัวอย่างหิน bazaltic กีกษา โดยคำนวณจากสมการ  $Q - \text{Value} = \frac{\text{NRM}}{40000k}$  โดย NRM คือ แมgneti ไฟเซ็นต์ก้างธรรมชาติในหน่วย mA/m และค่า k คือค่าสภาพรับไว้ได้ทางแม่เหล็ก (ในระบบ SI ไม่มีหน่วย) ค่า Q-value จะแสดงเสถียรภาพของแมgneti ไฟเซ็นต์ก้าง โดย  $Q > 1$  แสดงแมgneti ไฟเซ็นต์ก้างในหินมีเสถียรภาพสูงสามารถเก็บรักษาอำนาจ衡แม่เหล็กต่อก้างไว้ได้นาน (Collinson, 1983) กราฟของค่า Q-value จากตัวอย่างหิน bazaltic กีกษา แสดงไว้ในภาพประกอบ 3.2

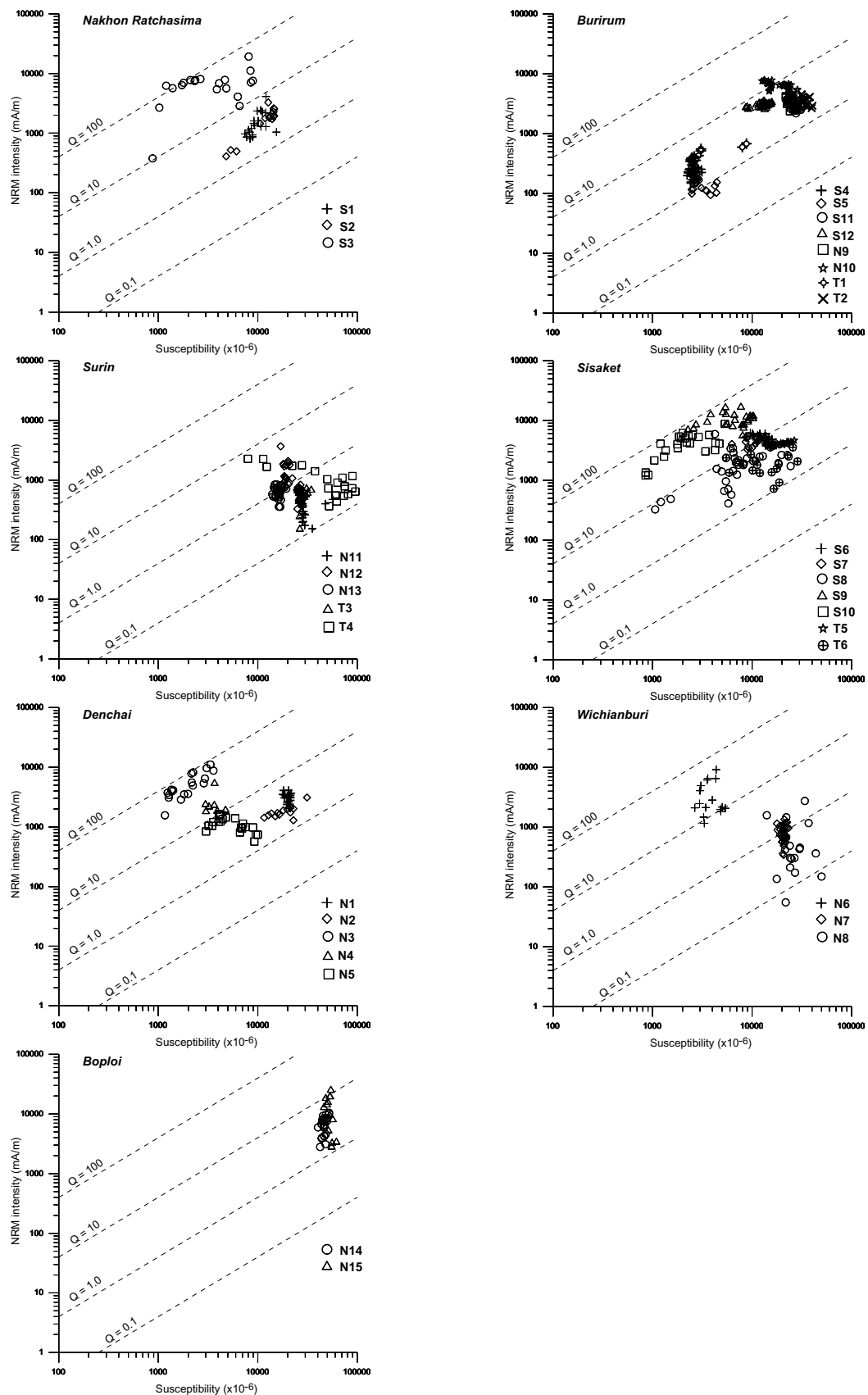
### 3.1.3 ทิศทางของ AMS และพารามิเตอร์แอนไอโซทรอปี Pj-T

ทิศทางการวางแผนตัวของ AMS แสดงการกระจายทิศทางของค่า  $k_{\max} (\blacksquare)$ ,  $k_{\text{int}} (\blacktriangledown)$  และ  $k_{\min} (\bullet)$  ของตัวอย่างหินที่ทำการเก็บด้วยวิธี oriented sampling โดยที่ค่า  $k_{\max}$ ,  $k_{\text{int}}$  และ  $k_{\min}$  เป็นขนาดของค่า k ที่เป็นแกนหลัก (principal axis) ของทรงรีแสดงขนาดของค่า k (magnitude ellipsoid) ทิศทางการวางแผนตัวของค่า  $k_{\max}$ ,  $k_{\text{int}}$  และ  $k_{\min}$  เมื่อแสดงในกราฟสเตอเรอิโกราฟิกอาจจะสัมพันธ์กับข้อมูลทางธรณีวิทยาที่สำคัญ เช่น แสดงทิศทางการไหลของ lava ในอดีตจะเป็นหิน แสดงทิศทางแรงดึงแรงดันที่กระทำกับหิน เป็นต้น

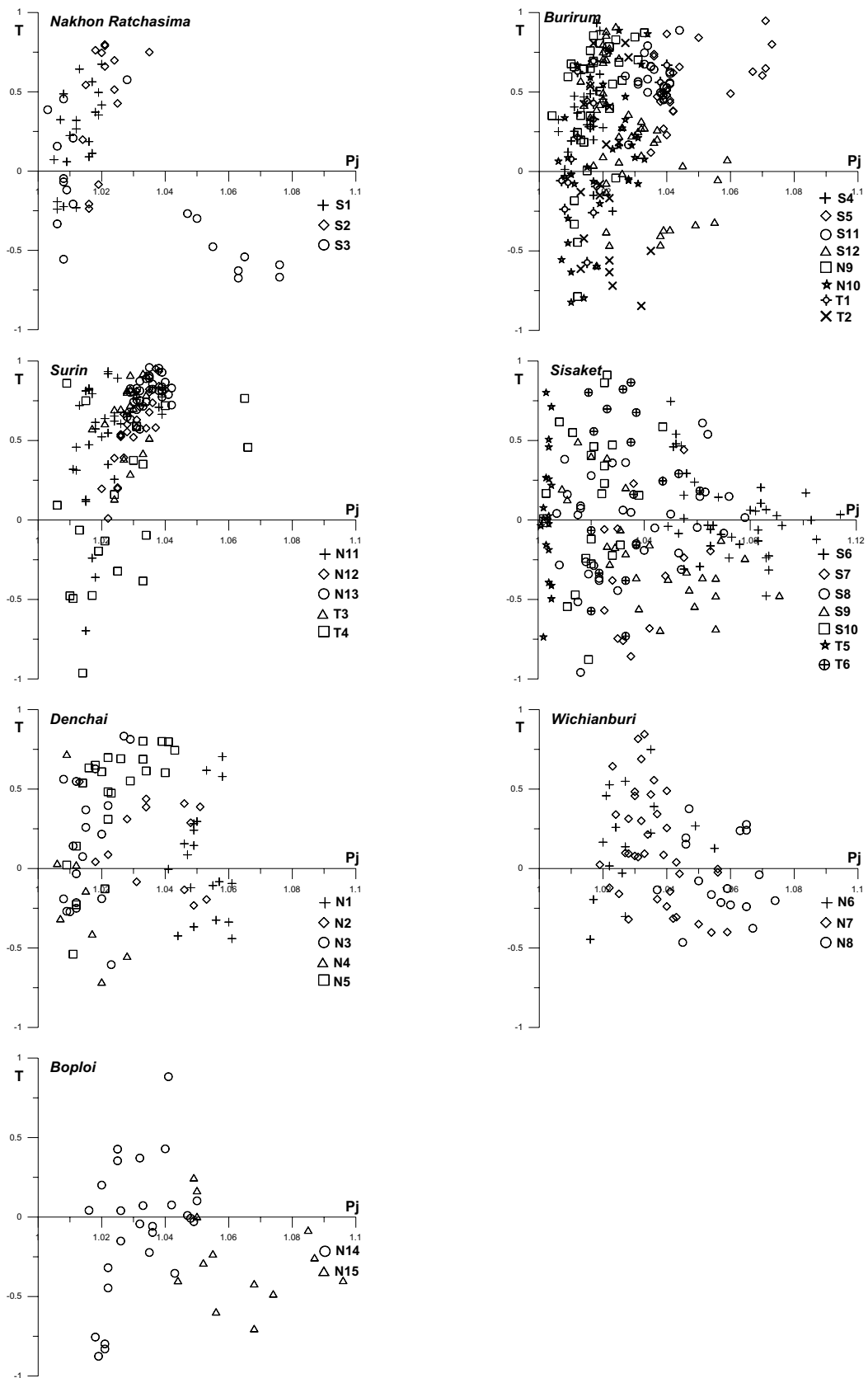
กรณีที่ค่า  $k_{\max} = k_{\text{int}} = k_{\min}$  แสดงทรงรีชนิดทรงกลม นั่นคือค่า k เป็นไอโซทรอปิก ทุกทิศทาง ส่วนกรณีที่ค่า k มีสภาพแอนไอโซทรอปิก เช่น กรณีที่ค่า  $k_{\max} = k_{\text{int}} > k_{\min}$  แสดงทรงรีเป็นแบบแบนที่ขี้ (oblate ellipsoid) และกรณีที่ค่า  $k_{\max} > k_{\text{int}} = k_{\min}$  แสดงทรงรีเป็นแบบยาวรี (prolate ellipsoid) การวิเคราะห์ลักษณะทรงรีสามารถดูได้จากค่า T หรือ shape factor ในขณะที่ค่า Pj จะแสดงความเป็น anisotropy degree หากค่า Pj มากแสดงถึงสภาพแอนไอโซทรอปีค่อนข้างสูง ซึ่งอาจจะสัมพันธ์กับ

- (1) การปรากฏของแร่บางชนิดที่มีค่า Pj สูงตามธรรมชาติ (magneto-crystalline anisotropy)
- (2) รูปร่างของเกรนแม่เหล็ก (shape anisotropy) เช่น เกรนรูปเข็ม เกรนรูปแผ่น เป็นต้น
- (3) แอนไอโซทรอปีที่เกิดจากแรงกระแทก เช่น แรง tektonik stress-induced anisotropy)

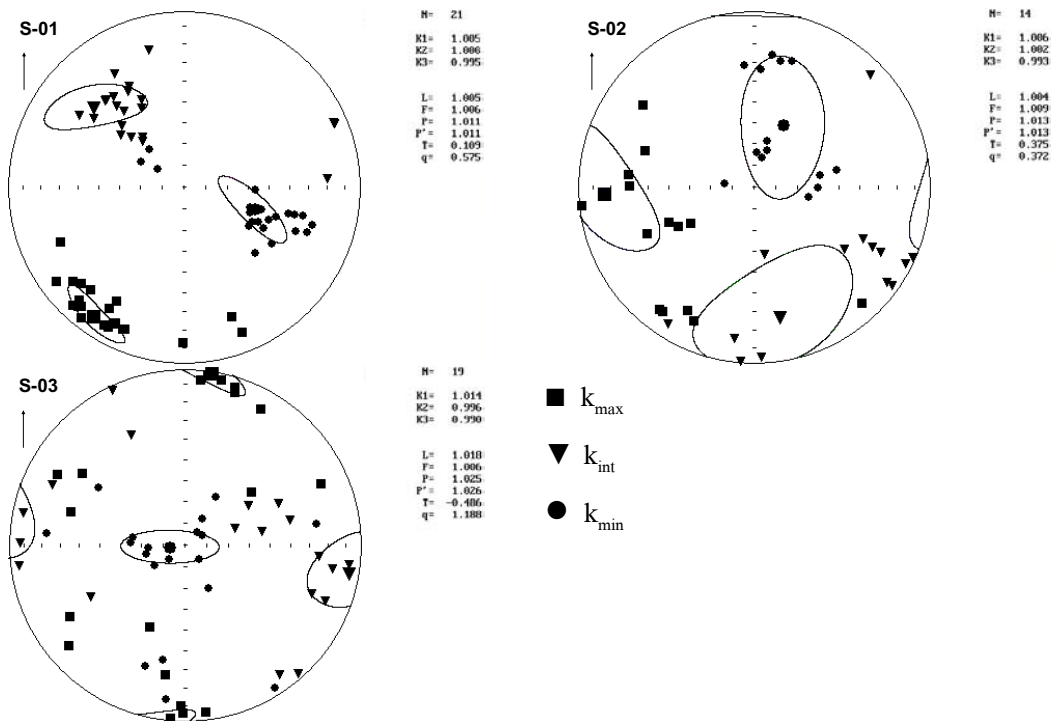
กราฟ Pj-T ของตัวอย่างหิน bazaltic กีกษาแสดงไว้ในภาพประกอบ 3.3 และทิศทางการวางแผนตัวของ AMS แสดงไว้ในภาพประกอบ 3.4 - 3.10



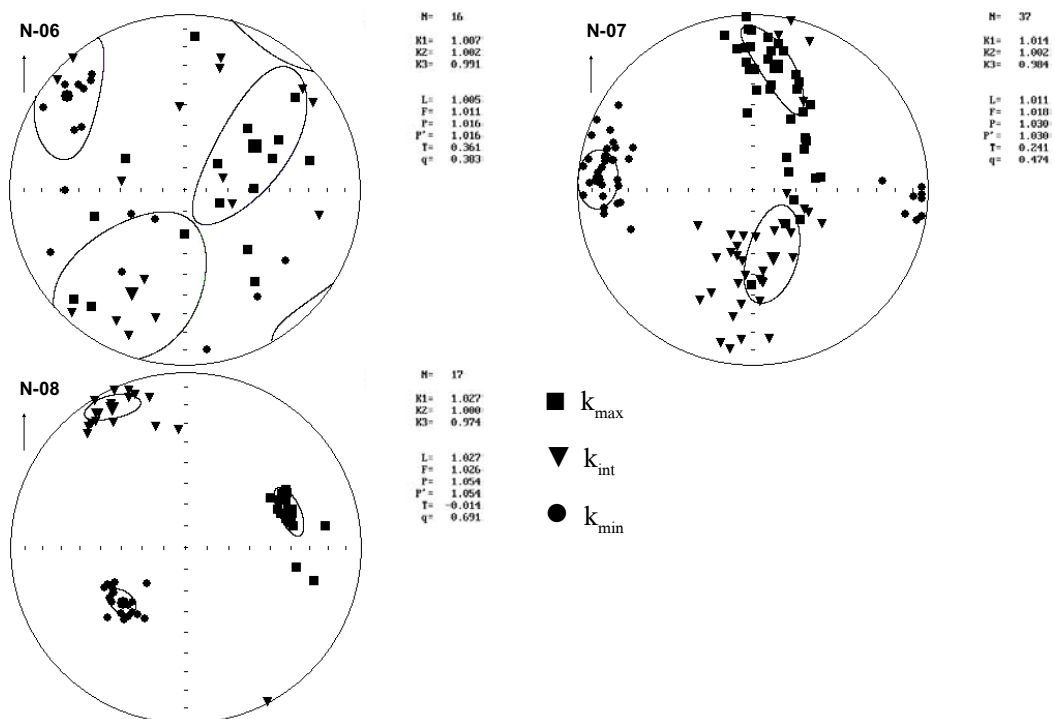
ภาพประกอบ 3.2 กราฟค่า k, NRM และ Q-value จากตัวอย่างหิน bazalticที่ศึกษา



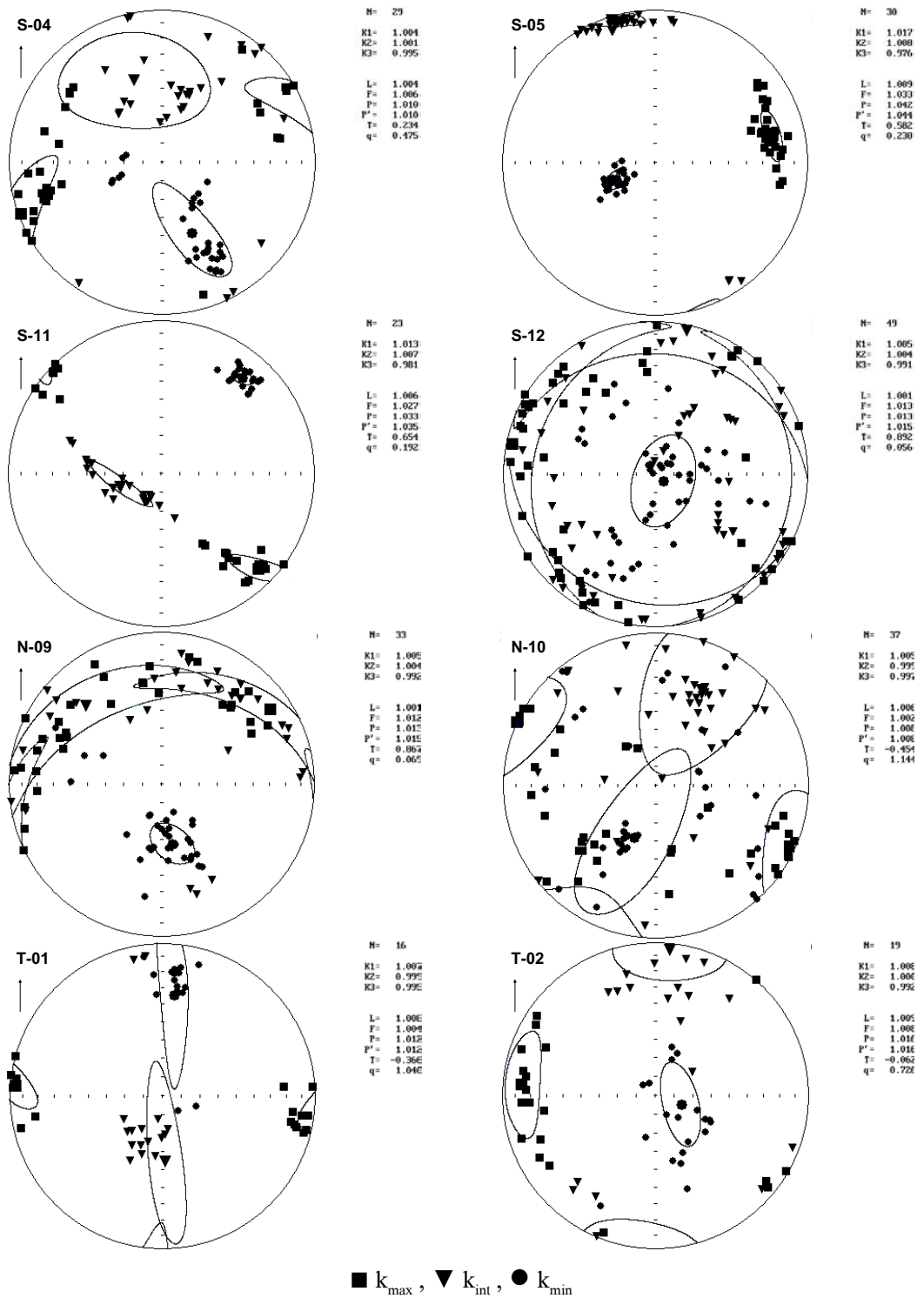
ภาพประกอบ 3.3 กราฟ  $P_j$ - $T$  ของตัวอย่างหิน bazaltic ที่ศึกษา



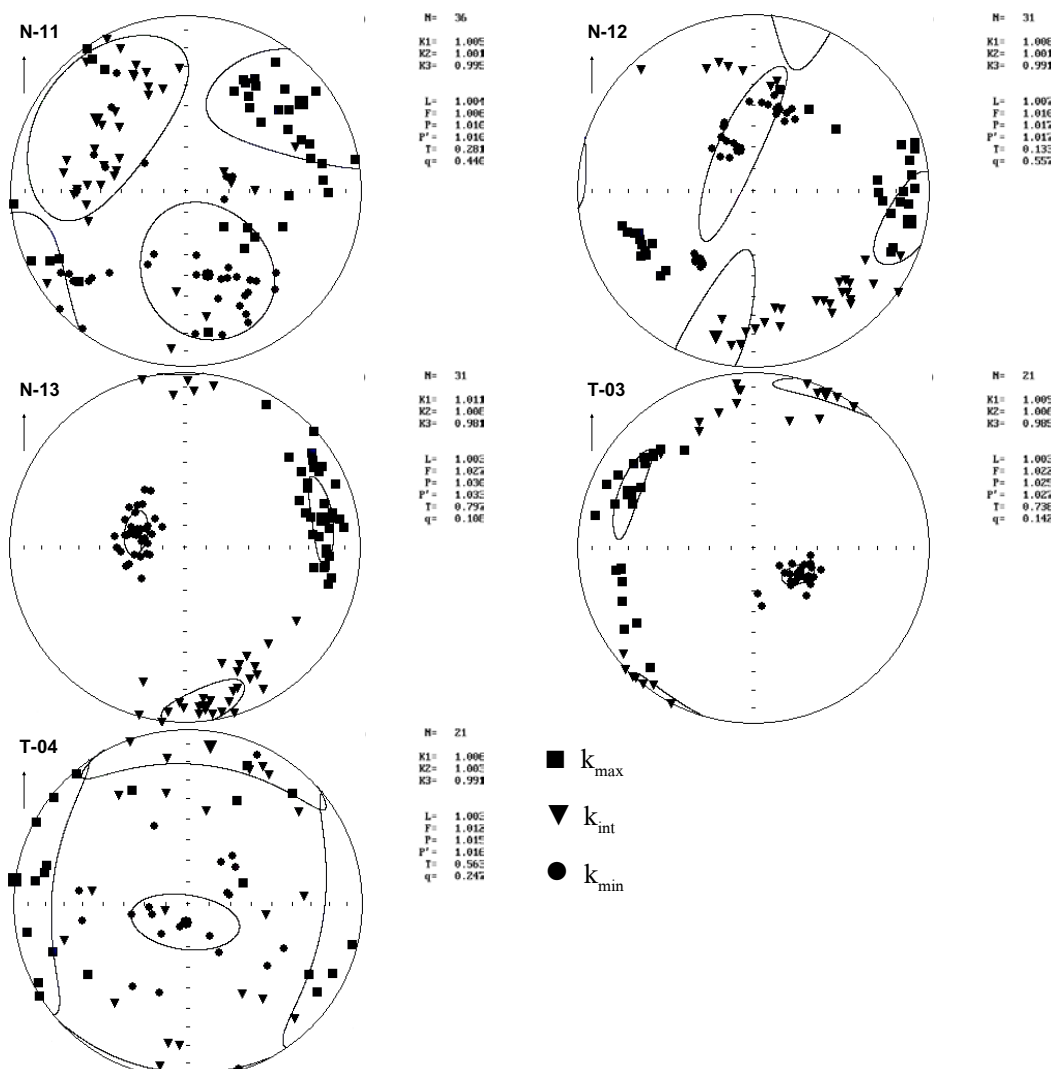
ภาพประกอบ 3.4 การกระจายทิศทางทรงรี AMS ของตัวอย่างหิน bazaltic จ. งหวัดนครราชสีมา (NR)



ภาพประกอบ 3.5 การกระจายทิศทางทรงรี AMS ของตัวอย่างหิน bazaltic วิเชียรบุรี (WB)

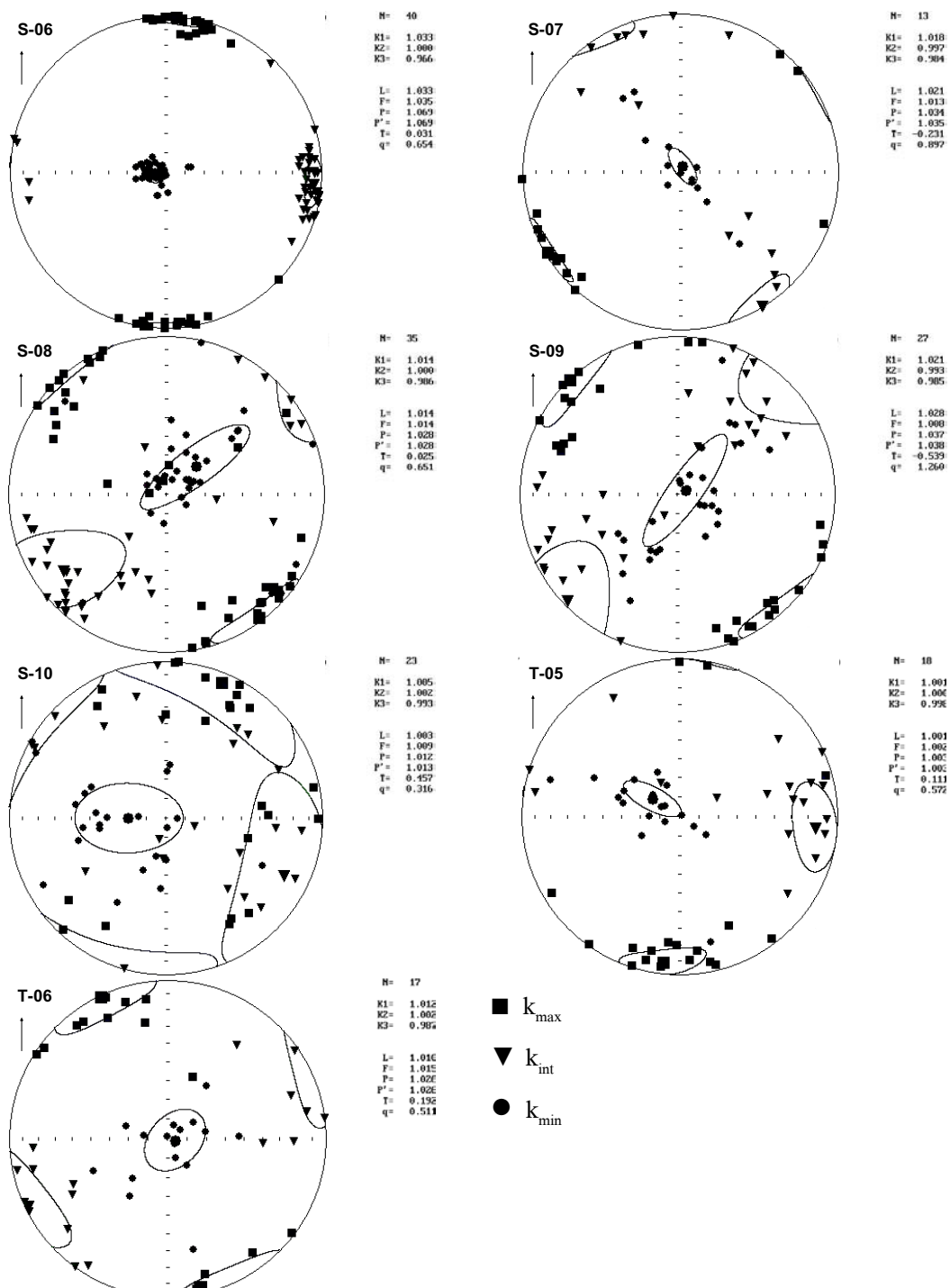


ภาพประกอบ 3.6 การกระจายทิศทางทรงรี AMS ของตัวอย่างหิน bazaltic janghwadubri รัมย์ (BR)

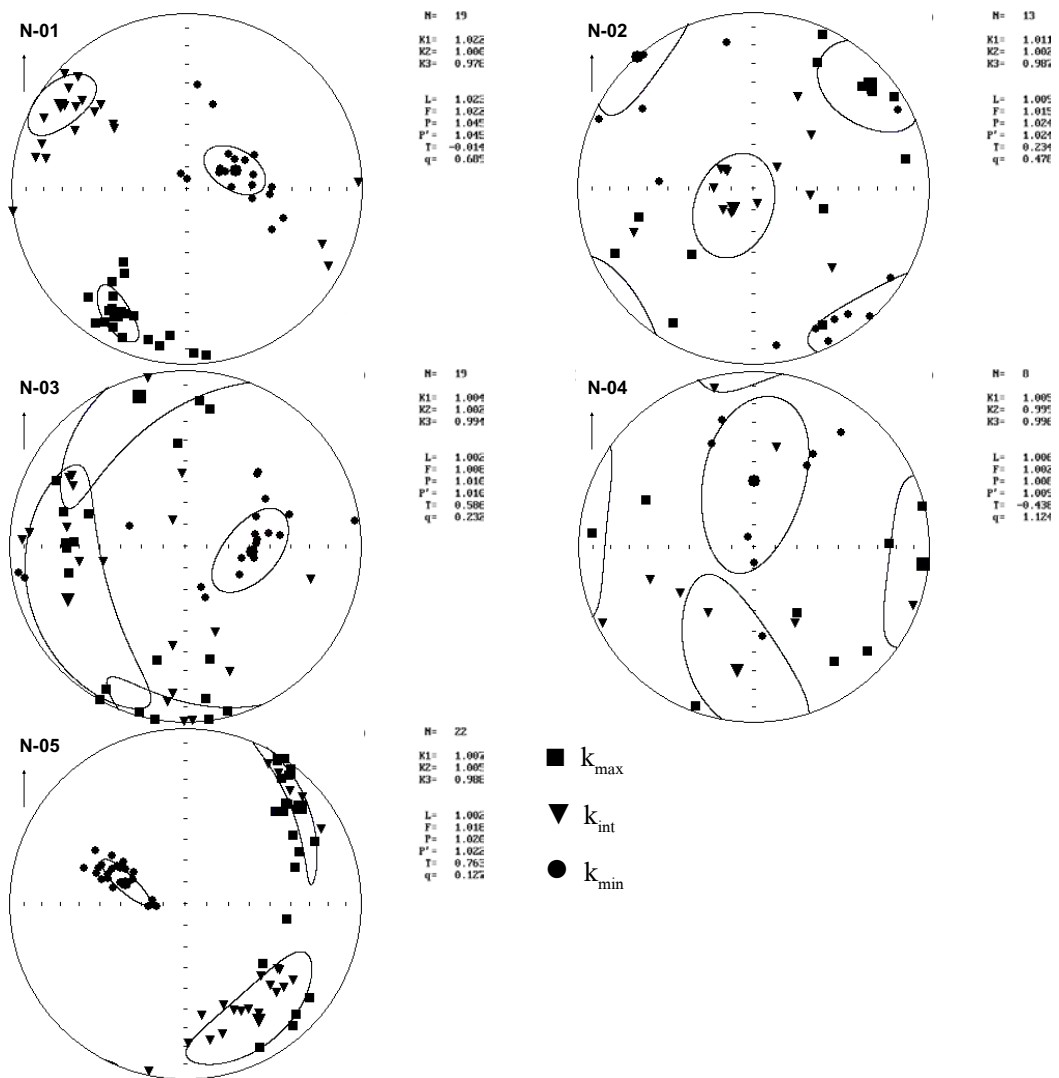


ภาพประกอบ 3.7 การกระจายทิศทางทรงรี AMS ของตัวอย่างหิน bazaltic ที่จังหวัดสุรินทร์

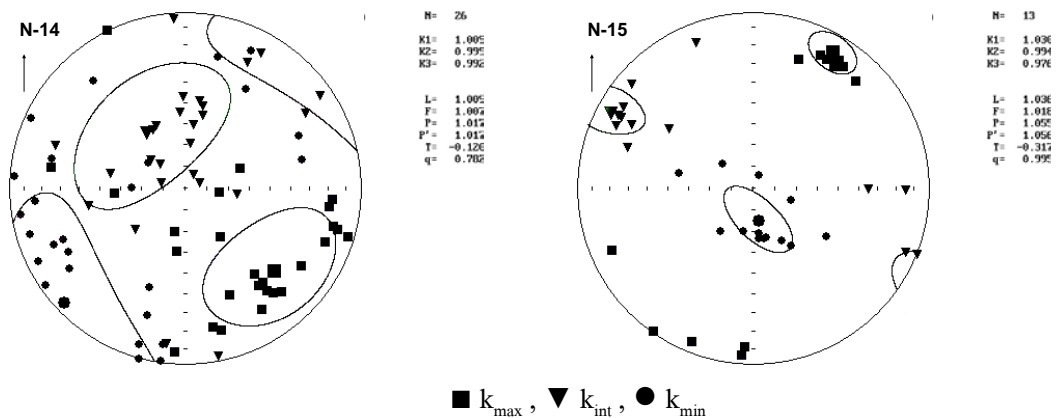
(SR)



ภาพประกลุบ 3.8 การกระจายทิศทางทรงรี AMS ของตัวอย่างหิน bazalt ที่จังหวัดอุบลราชธานี - ศรีสะเกษ (UB)



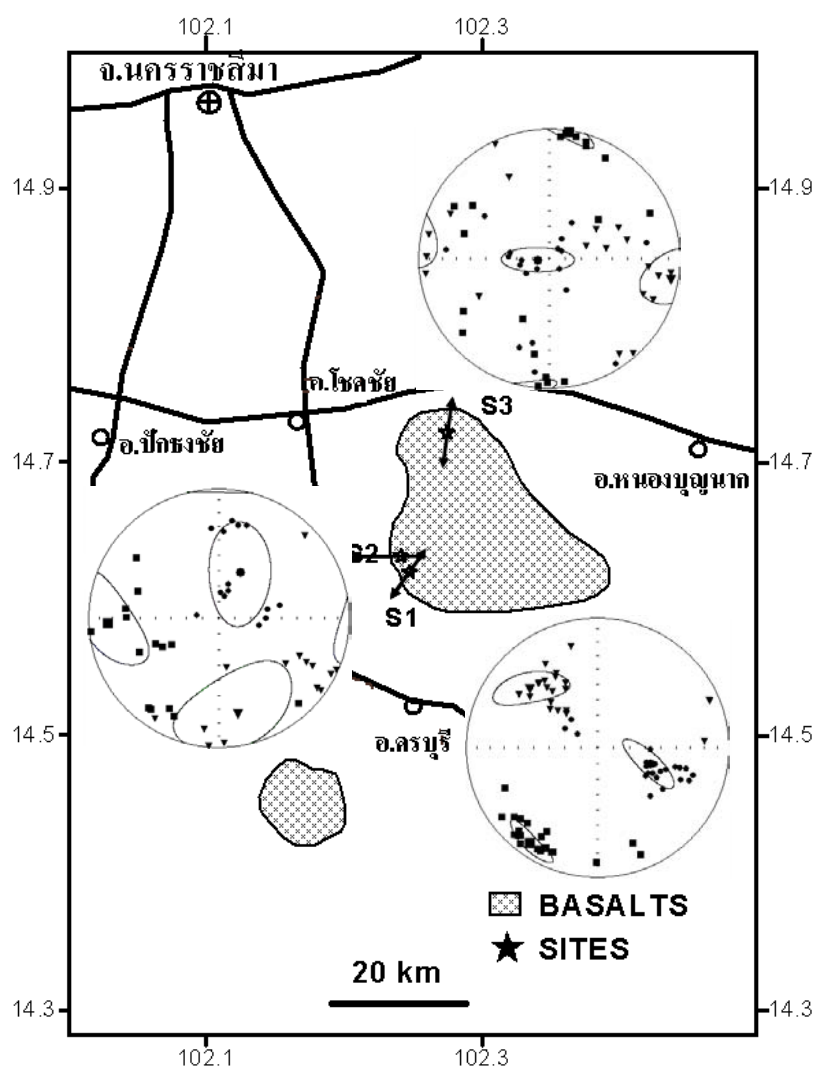
ภาพประกอบ 3.9 การกระจายทิศทางทรงรี AMS ของตัวอย่างหิน bazalt เด่นชัด (DC)



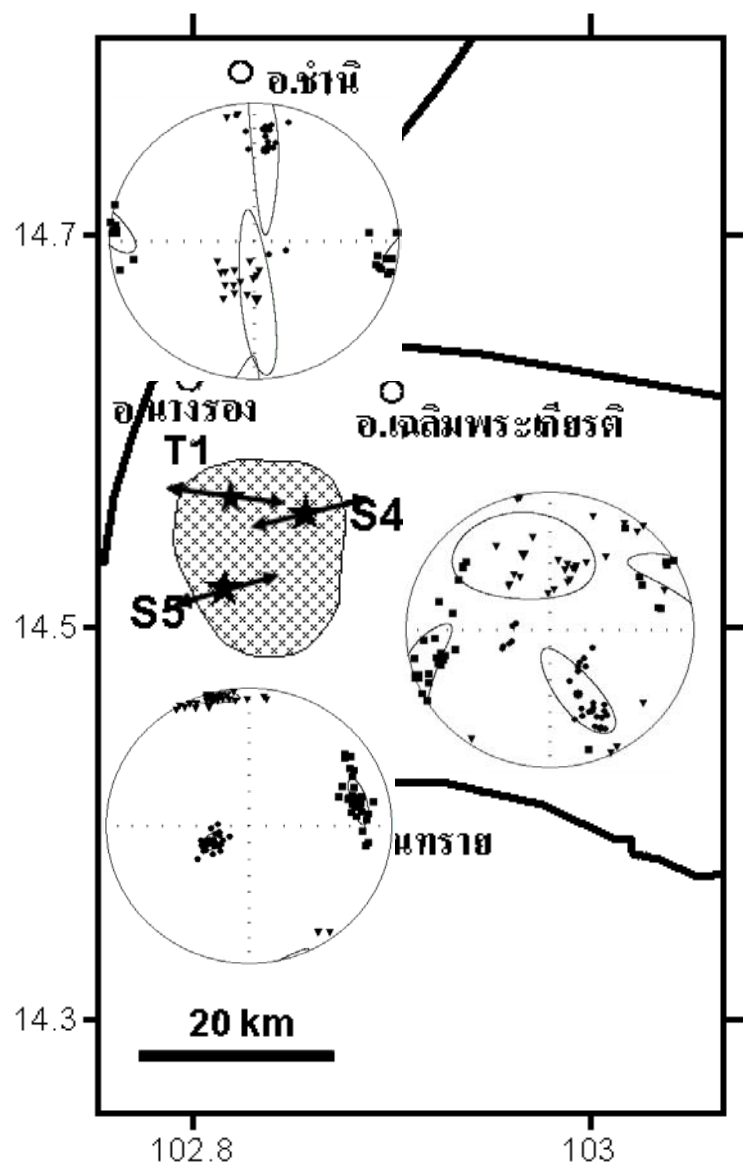
ภาพประกอบ 3.10 การกระจายทิศทางทรงรี AMS ของตัวอย่างหิน bazalt บ่อพลอย (BP)

### 3.1.4 ทิศทางการไหลของ lava ขึ้นตันจากผลของค่า AMS

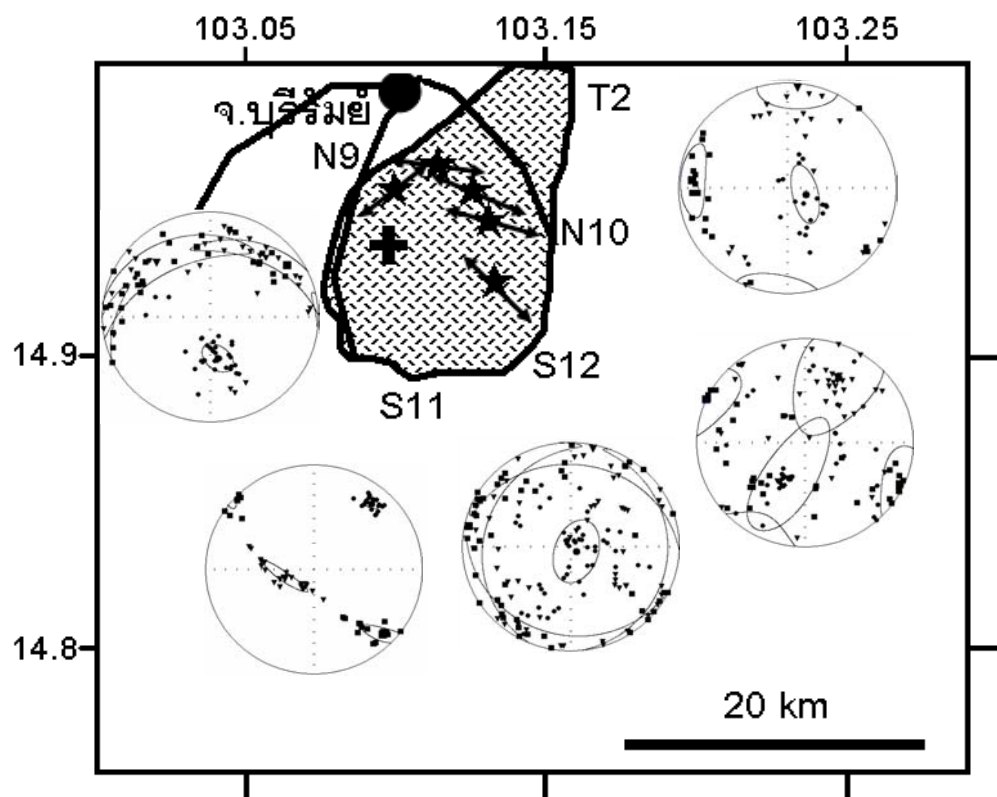
ทิศทางการวางแผนตัวของ AMS สามารถนำมาประยุกต์ใช้ในการอธิบายขั้นต้นถึงทิศทางการไหลของ lava จากตัวอย่างหิน bazalt โดยที่จะใช้ทิศของแกน k1 และทิศทางที่ lava ไหล ส่วนแกน k3 จะอยู่ในทิศตั้งฉากกับระยะทางของการไหลของ lava (Endale และ Marcia, 1999., Rixiang และคณะ, 2003) ภาพประกอบ 3.11 - 3.18 แสดงทิศทางการไหลของ lava จากผลของค่า AMS ของหิน bazalt ที่ศึกษา และตารางที่ 3.2 แสดงค่าของมุมบ่ายเบนและมุมเทของแกน k1 และ k3 ในแต่ละแหล่งของหิน bazalt ที่ศึกษา



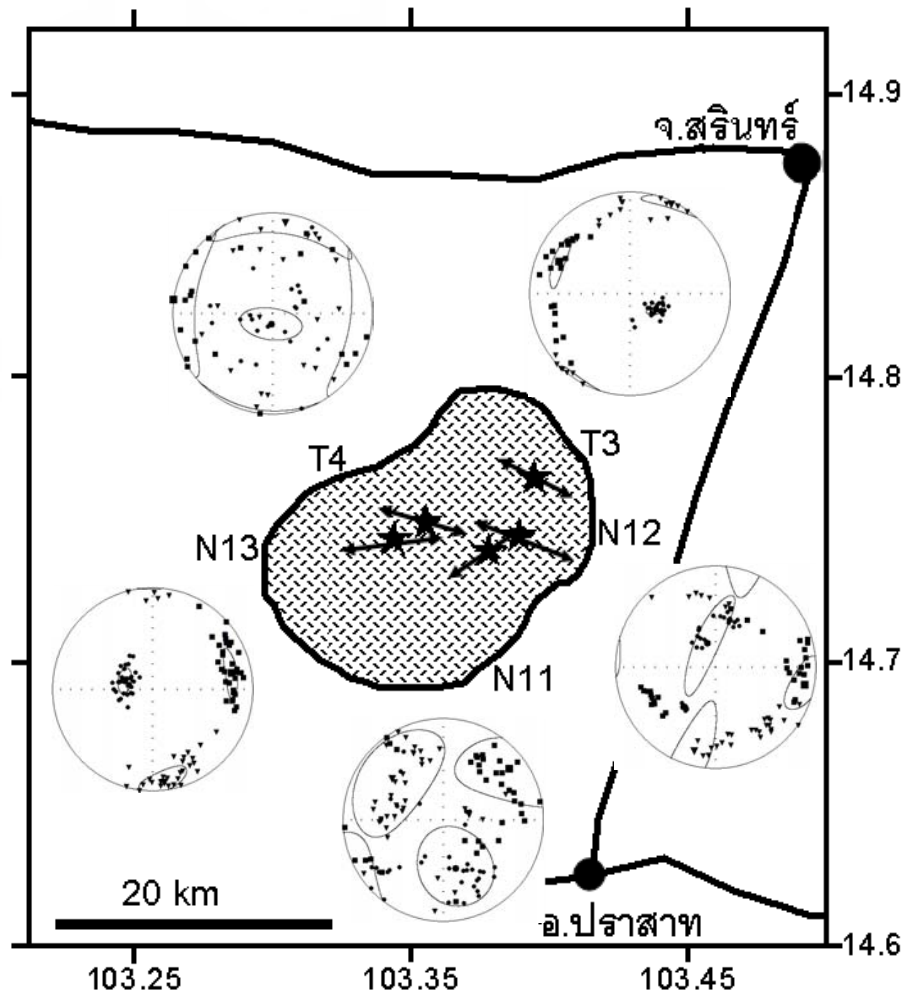
ภาพประกอบ 3.11 ทิศทางการไหลของ lava จากผลของค่า AMS ของหิน bazalt จังหวัด  
นครราชสีมา (ลูกศรใช้แทนทิศทางของการไหล)



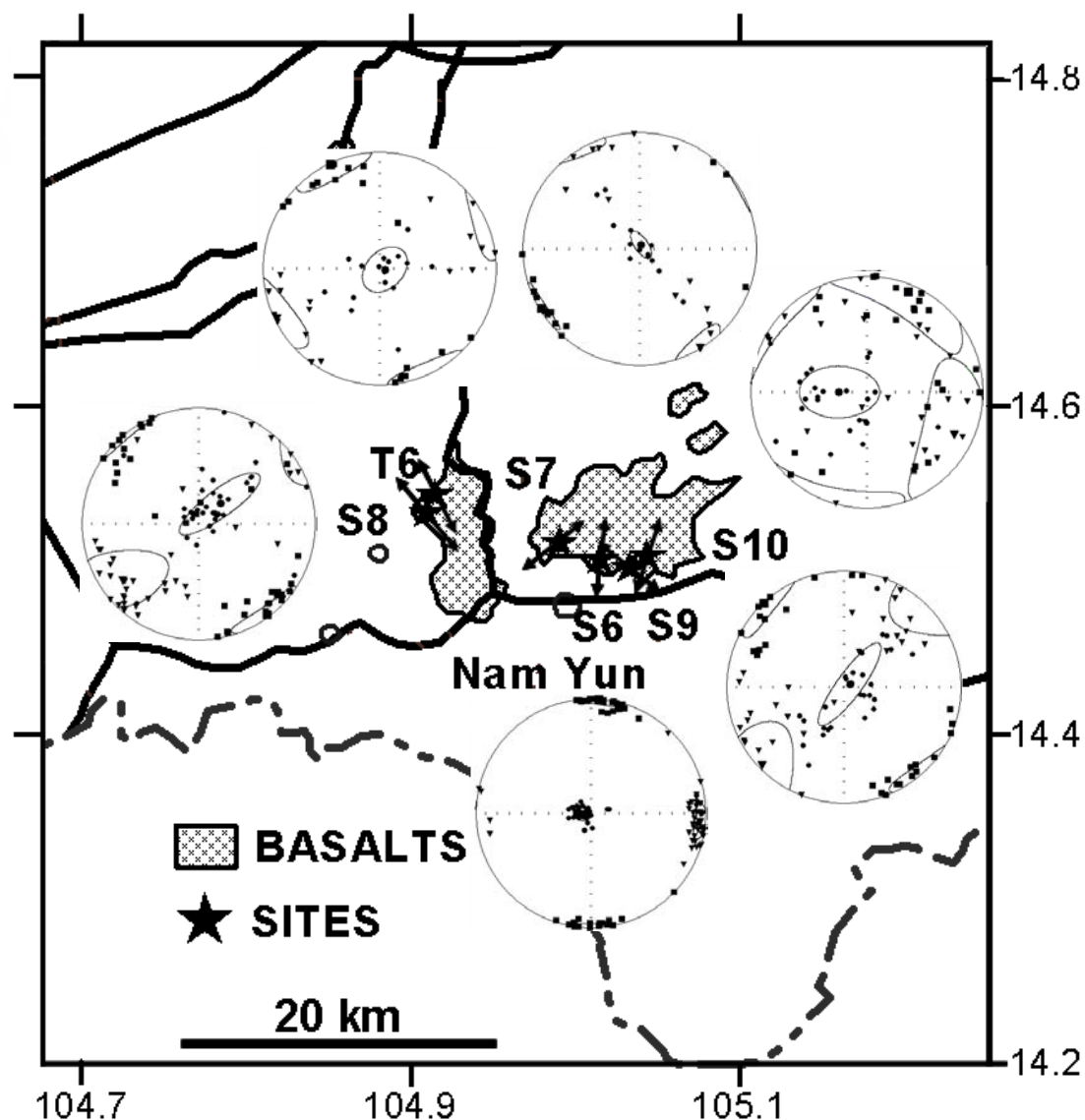
ภาพประกอบ 3.12 ทิศทางการไฟลของดาวจากผลของค่า AMS ของหิน bazalt บริเวณภูพระอังคาร จังหวัดบุรีรัมย์ (ลูกศรใช้แทนทิศทางของการไฟล)



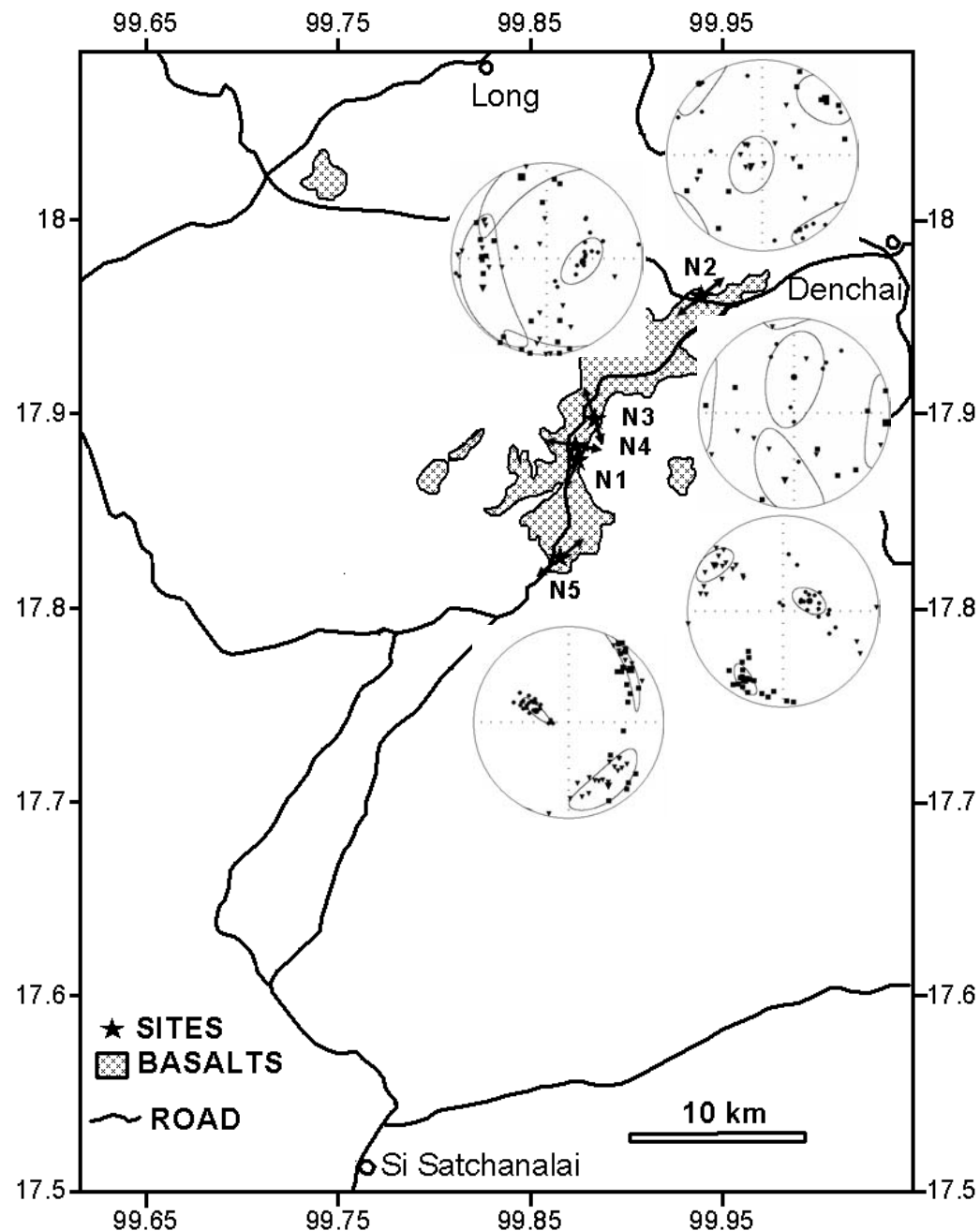
ภาพประกอบ 3.13 ทิศทางการไฟลของลาวาจากผลของค่า AMS ของหิน bazaltic บริเวณ  
เขากะโงดง จังหวัดนนทบุรีรัมย์ (ลูกศร ใช้แทนทิศทางของการไฟล)



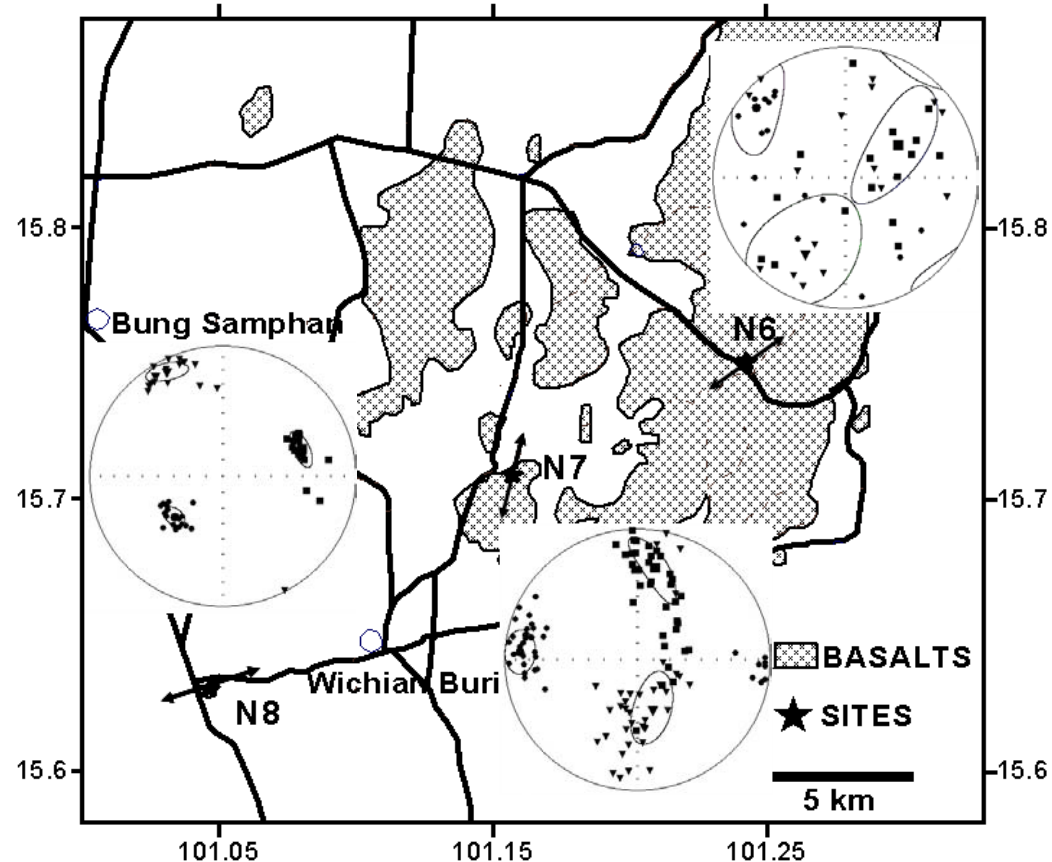
ภาพประกอบ 3.14 ทิศทางการไฟลของลาวาจากผลของค่า AMS ของหิน bazaltic บริเวณ เขานมสวาย จังหวัดสุรินทร์ (ลูกศรใช้แทนทิศทางของการไฟล)



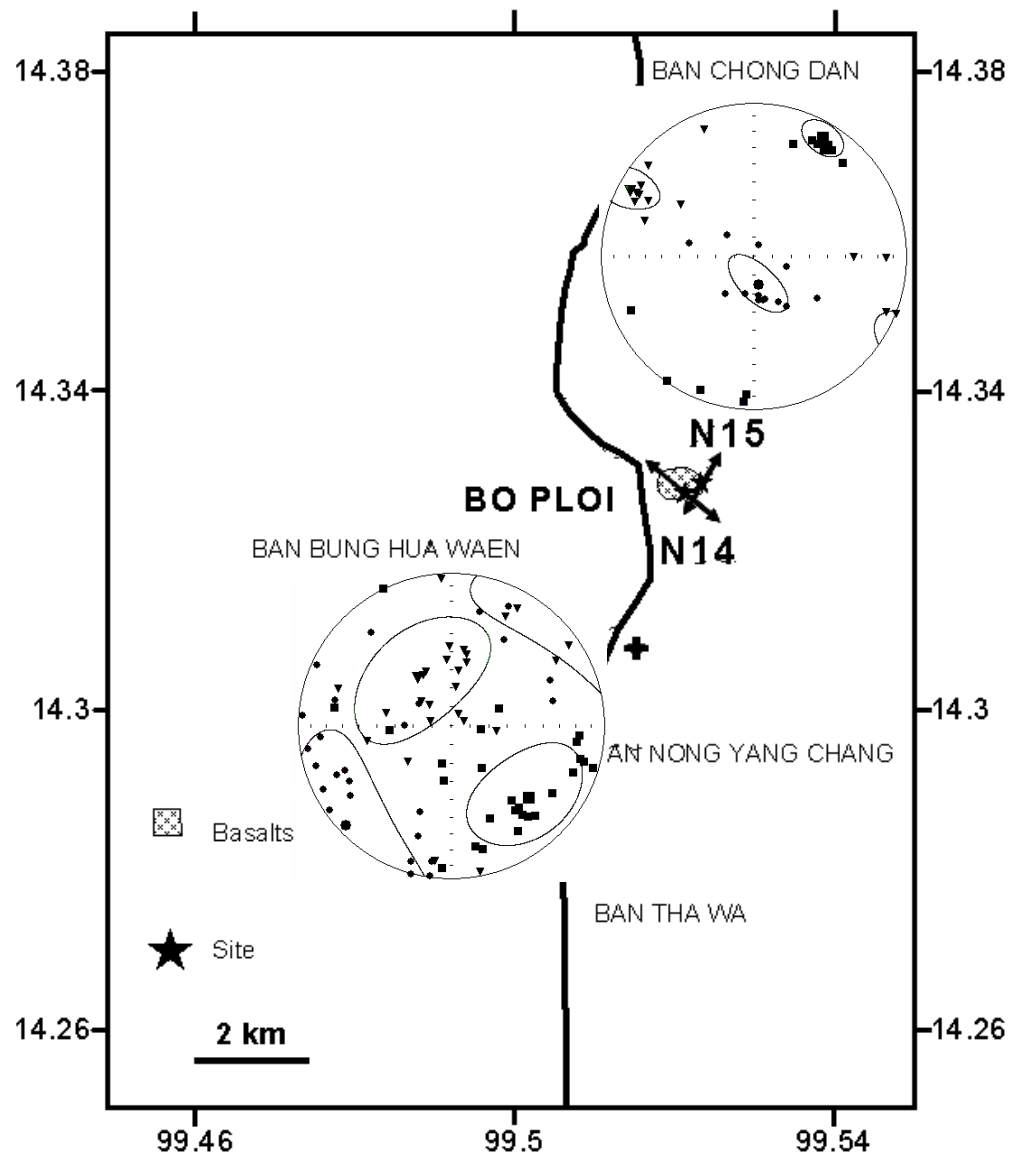
ภาพประกอบ 3.15 ทิศทางการไฟลของลาวาจากผลของค่า AMS ของหิน bazalt บริเวณจังหวัดอุบลราชธานี-ศรีสะเกษ (ลูกศรใช้แทนทิศทางของการไฟล)



ภาพประกอบ 3.16 ทิศทางการไหหลงลาวาจากผลของค่า AMS ของหิน bazalt บริเวณ  
อำเภอเด่นชัย (ลูกศรใช้แทนทิศทางของการไหหล)



ภาพประกอบ 3.17 ทิศทางการไหลของ lava จากผลของ AMS ของหิน bazalt บริเวณ  
อำเภอวิชัยรบุรี (ลูกศรใช้แทนทิศทางของการไหล)



ภาพประกอบ 3.18 ทิศทางการไฟลของลาวาจากผลของค่า AMS ของหิน bazaltic tuff บริเวณ  
อำเภอป้อพลอย (ลูกศรใช้แทนทิศทางของการไฟล)

ตารางที่ 3.2 The mean maximum and minimum axes of susceptibility ellipsoids.

| Site                 | n  | Maximum axes (k1) |         |               | Minimum axes (k3) |         |               |
|----------------------|----|-------------------|---------|---------------|-------------------|---------|---------------|
|                      |    | Dec (°)           | Inc (°) | conf.angle(°) | Dec (°)           | Inc (°) | conf.angle(°) |
| นครราชสีมา           |    |                   |         |               |                   |         |               |
| S1                   | 21 | 214.9             | 11.6    | 14.8 / 5.5    | 107.4             | 55.7    | 21.8 / 6.1    |
| S2                   | 14 | 267.2             | 16.3    | 31.7 / 16.1   | 25.2              | 58.1    | 34.2 / 18.8   |
| S3                   | 19 | 9.0               | 1.9     | 14.6 / 5.6    | 263.4             | 82.9    | 22.8 / 7.6    |
| บุรีรัมย์            |    |                   |         |               |                   |         |               |
| S4                   | 29 | 249.8             | 2.2     | 36.9 / 9.1    | 157.4             | 48.2    | 33.0 / 10.3   |
| S5                   | 30 | 77.2              | 22.0    | 11.7 / 5.3    | 246.0             | 67.6    | 5.9 / 3.8     |
| S11                  | 23 | 134.4             | 11.7    | 20.2 / 4.3    | 40.3              | 19.0    | 5.2 / 3.9     |
| S12                  | 49 | 281.8             | 5.1     | 84.1 / 16.3   | 132.2             | 84.0    | 25.2 / 16.4   |
| N9                   | 33 | 55.4              | 15.0    | 66.4 / 8.1    | 169.9             | 57.1    | 13.6 / 8.7    |
| N10                  | 37 | 294.4             | 0.9     | 27.4 / 18.7   | 202.9             | 59.8    | 53.5 / 19.2   |
| T1                   | 16 | 273.7             | 4.4     | 16.5 / 6.6    | 6.7               | 33.8    | 52.2 / 6.5    |
| T2                   | 19 | 274.7             | 14.0    | 22.7 / 11.6   | 109.3             | 75.6    | 22.9 / 9.6    |
| สุรินทร์             |    |                   |         |               |                   |         |               |
| N11                  | 36 | 52.9              | 18.5    | 44.5 / 23.7   | 165.6             | 49.1    | 35.7 / 28.0   |
| N12                  | 31 | 101.2             | 10.6    | 20.3 / 12.4   | 340.7             | 69.8    | 45.1 / 9.6    |
| N13                  | 31 | 78.7              | 21.0    | 16.9 / 5.9    | 286.3             | 66.6    | 10.1 / 5.4    |
| T3                   | 21 | 293.9             | 24.2    | 18.7 / 5.8    | 120.9             | 65.6    | 7.8 / 4.2     |
| T4                   | 21 | 277.9             | 0.1     | 48.0 / 23.2   | 187.2             | 81.2    | 25.4 / 12.7   |
| ศรีสะเกษ-อุบลราชธานี |    |                   |         |               |                   |         |               |
| S6                   | 40 | 4.0               | 1.1     | 10.0 / 4.6    | 263.6             | 84.2    | 5.9 / 4.8     |
| S7                   | 13 | 238.5             | 2.4     | 14.2 / 4.6    | 24.3              | 87.1    | 10.9 / 4.7    |
| S8                   | 35 | 142.9             | 2.4     | 20.1 / 7.9    | 46.8              | 68.9    | 35.2 / 9.4    |
| S9                   | 27 | 316.6             | 1.8     | 20.5 / 10.3   | 68.6              | 85.2    | 35.5 / 8.6    |
| S10                  | 23 | 22.6              | 7.9     | 44.2 / 20.2   | 269.6             | 70.4    | 28.7 / 17.8   |
| T5                   | 18 | 186.1             | 7.8     | 17.8 / 8.2    | 303.2             | 73.2    | 16.7 / 5.9    |
| T6                   | 17 | 334.9             | 2.4     | 21.2 / 13.6   | 102.2             | 86.0    | 18.1 / 12.9   |

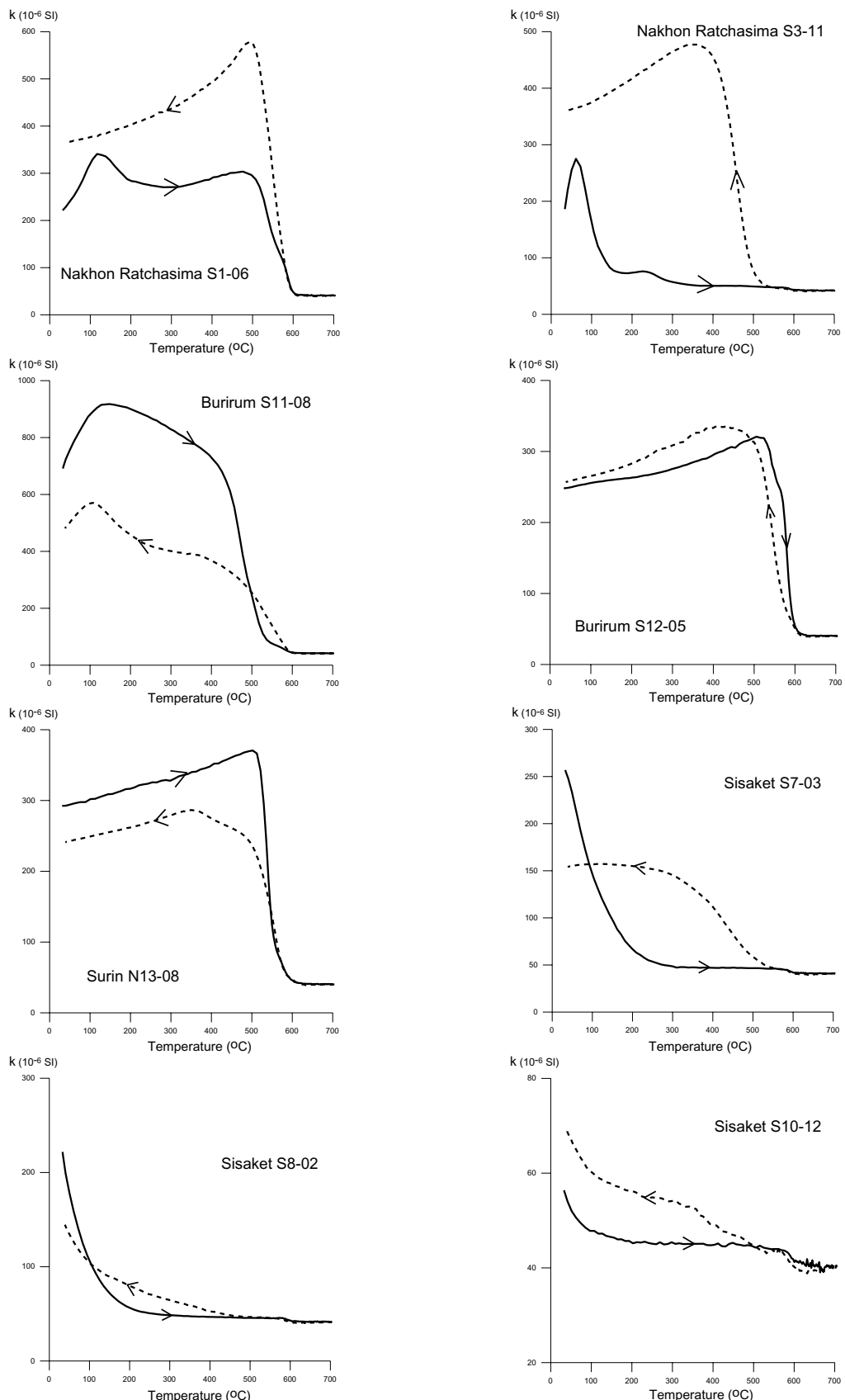
| ເດືອນຫຸ້ມ  |    |       |      |             |       |      |             |
|------------|----|-------|------|-------------|-------|------|-------------|
| N1         | 19 | 209.0 | 19.0 | 14.3 / 6.7  | 69.0  | 65.7 | 15.5 / 9.5  |
| N2         | 13 | 48.6  | 12.2 | 24.4 / 19.3 | 318.5 | 0.3  | 23.8 / 14.7 |
| N3         | 19 | 343.1 | 12.6 | 54.0 / 15.2 | 94.7  | 58.8 | 22.9 / 12.6 |
| N4         | 8  | 95.9  | 3.4  | 29.7 / 20.3 | 0.2   | 59.0 | 44.1 / 22.7 |
| N5         | 22 | 50.0  | 16.0 | 31.7 / 4.4  | 289.5 | 60.6 | 15.2 / 4.0  |
| ວິຊີຍຽບນູ້ |    |       |      |             |       |      |             |
| N6         | 16 | 58.3  | 51.0 | 44.4 / 16.0 | 308.5 | 15.3 | 27.7 / 15.6 |
| N7         | 37 | 10.9  | 29.3 | 24.9 / 7.3  | 273.7 | 12.6 | 11.9 / 10.6 |
| N8         | 17 | 70.9  | 37.4 | 11.0 / 5.5  | 229.3 | 50.6 | 6.8 / 5.1   |
| ນໍອພລອຍ    |    |       |      |             |       |      |             |
| N14        | 26 | 133.1 | 31.6 | 31.0 / 25.0 | 226.9 | 6.1  | 43.7 / 26.1 |
| N15        | 13 | 30.5  | 11.6 | 10.5 / 9.4  | 170.9 | 75.1 | 20.0 / 9.3  |

### 3.1.5 ค่าสภาพรับไว้ได้ทางแม่เหล็กที่อุณหภูมิต่างๆ

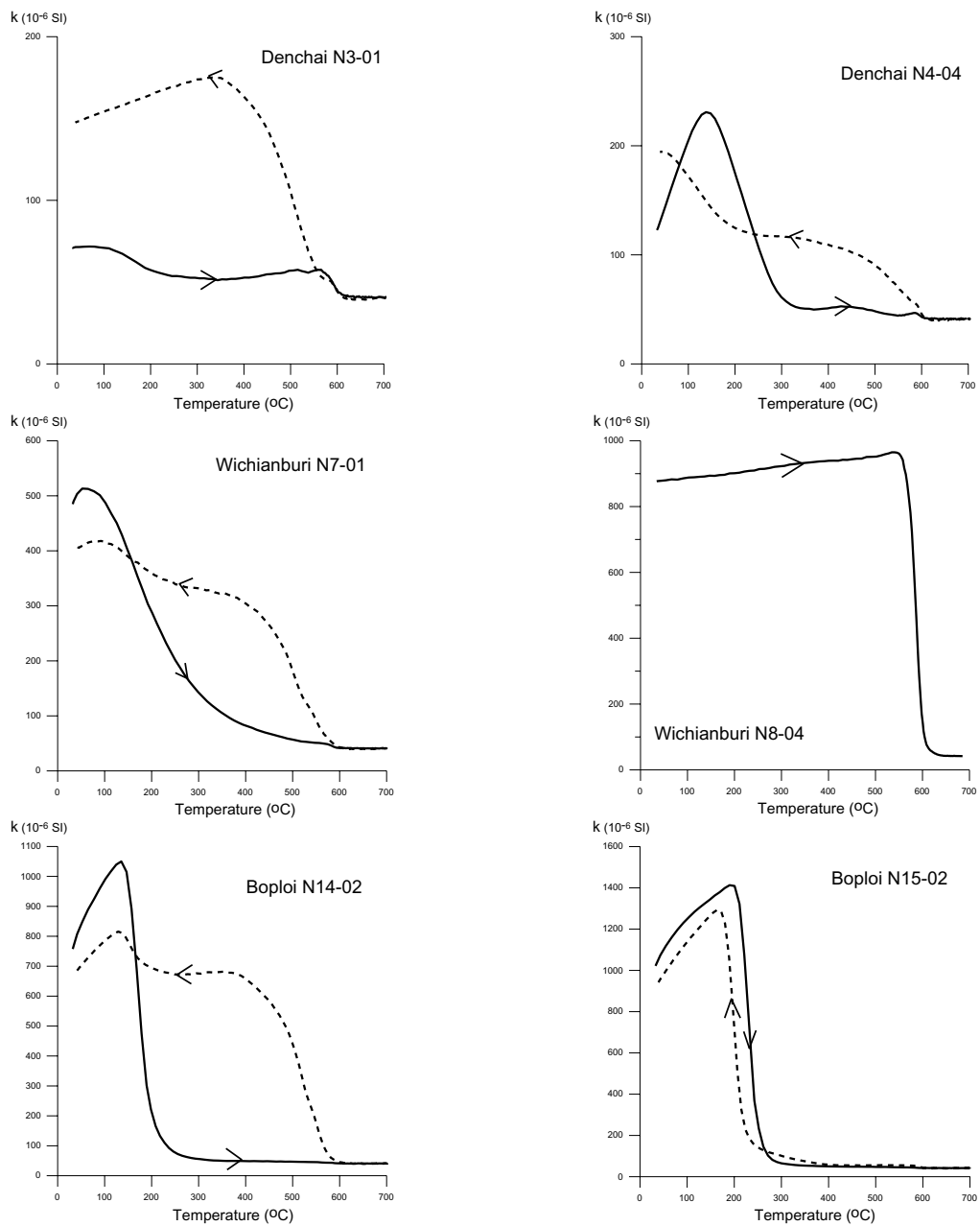
ทำการวัดค่าสภาพรับไว้ได้ทางแม่เหล็กของตัวอย่างหินผง ที่อุณหภูมิแตกต่างๆ 25 - 700 °C (heating cycle) และวัดขณะปล่อยให้หินเย็นตัวจนถึงอุณหภูมิห้องอีกครั้ง (cooling cycle) โดยวัดค่า  $k$  อย่างต่อเนื่องที่เรียกว่า thermo-magnetic experiment ซึ่งจะให้ข้อมูลเกี่ยวกับอุณหภูมิครีของแร่เฟอร์โรแมกนีติกชนิดต่างๆที่ประกอบอยู่ในหิน และสามารถติดตามการเปลี่ยนแปลง ของแร่เฟอร์โรแมกนีติกจากกระบวนการออกซิเดชัน-รีดักชัน ในระหว่างการเผาจากอุณหภูมิครีที่เปลี่ยนแปลงไประหว่างการเย็นตัวกลับมาที่อุณหภูมิห้อง ดังภาพประกอบที่ 3.19 แสดงผลการทดสอบ thermo-magnetic ของหิน bazaltic ที่ศึกษา โดยสืบพื้นที่แสดงผลในช่วงระหว่างการเผา (heating cycle) ส่วนเส้นประแสดงผลในช่วงระหว่างการปล่อยให้หินเย็นตัว (cooling cycle)

### 3.1.6 ผลการลบล้างแมgnetiไฟเซชันตกล้างธรรมชาติด้วยสนามแม่เหล็กสลับ

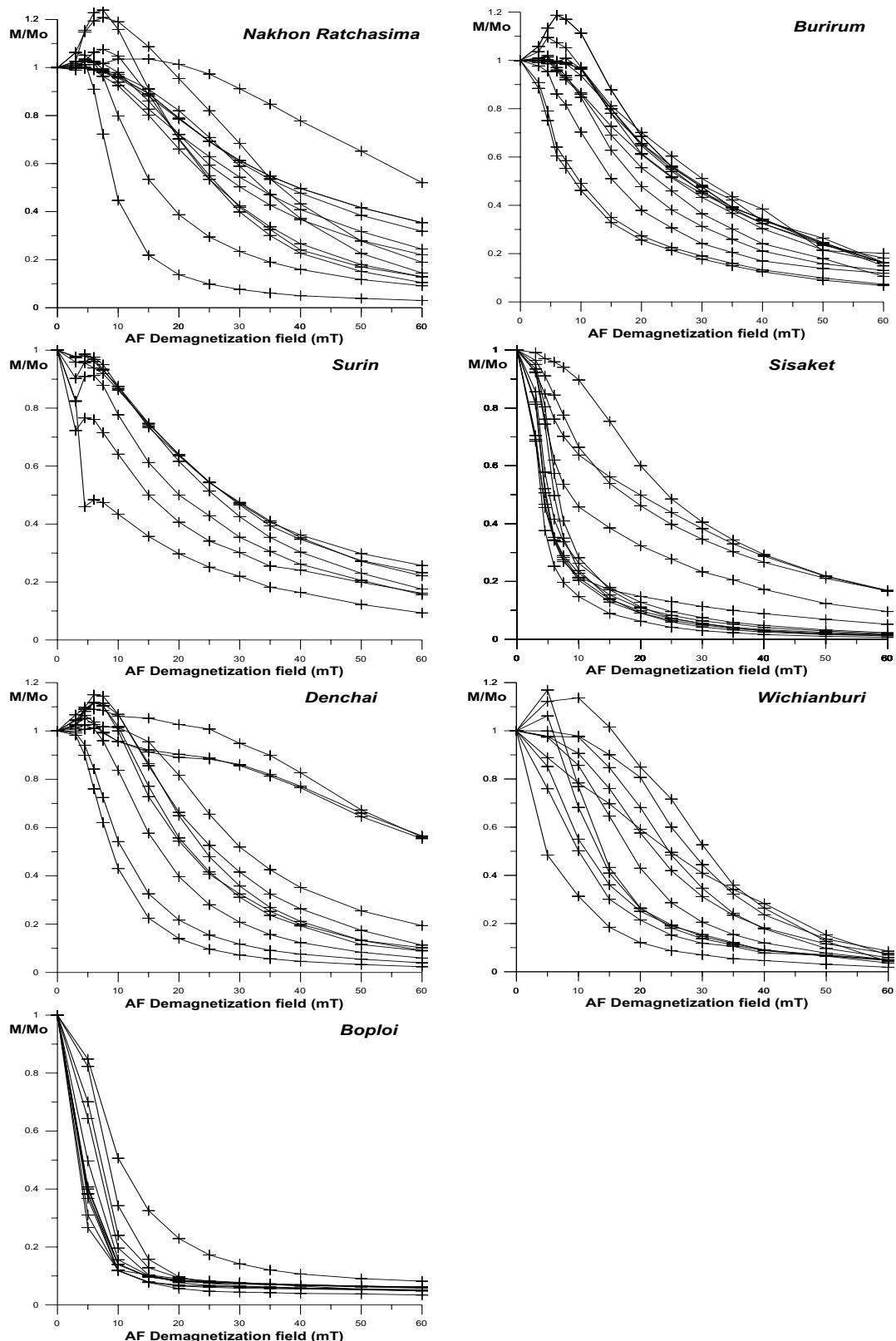
ผลการลบล้างแมgnetiไฟเซชันตกล้างธรรมชาติหรือ NRM ของหินตัวอย่างจากแหล่งหิน bazaltic ที่ศึกษาแสดงค่า Median Destructive Field (MDF) ซึ่งเป็นค่าความเข้มสูงสุดของสนามแม่เหล็กสลับที่ใช้ลบล้าง NRM ให้เหลือครึ่งหนึ่ง (50%) ผลการศึกษาพบว่าค่า MDF ของตัวอย่างหิน bazaltic จากแหล่งต่างๆมีค่าระหว่าง 5 – 40 mT ซึ่งแสดงการกระจายของโดเมนแม่เหล็กตั้งแต่นานาดเกรนระดับนาโน ได้แก่ โดเมนเดียวสเลียร (SSD, stable single domain) ซึ่งมีค่า MDF สูงระดับ 40 mT ไปจนถึงเกรนแม่เหล็กระดับไมโคร ชนิดหลายโดเมน (MD, multidomain) ที่มีค่า MDF ต่ำระดับ 5 mT ซึ่งเป็นร่องปกติธรรมชาติของสารแม่เหล็กในหิน bazaltic ที่จะมีขนาดเกรนแม่เหล็กกระจายกว้างขวาง เนื่องจากอิทธิพลของเวลาของการเย็นตัวช้าหรือเย็นตัวเร็ว ภาพประกอบที่ 3.20 แสดงการลบล้าง NRM ด้วยสนามแม่เหล็กสลับของตัวอย่างหิน bazaltic ที่ศึกษา



ภาพประกอบที่ 3.19 กราฟแสดงผลการทดสอบ thermo-magnetic ของหิน bazalt ที่ศึกษา



ภาพประกอบที่ 3.19 (ต่อ) กราฟแสดงผลการทดสอบ thermo-magnetic ของหิน bazalt ที่ศึกษา



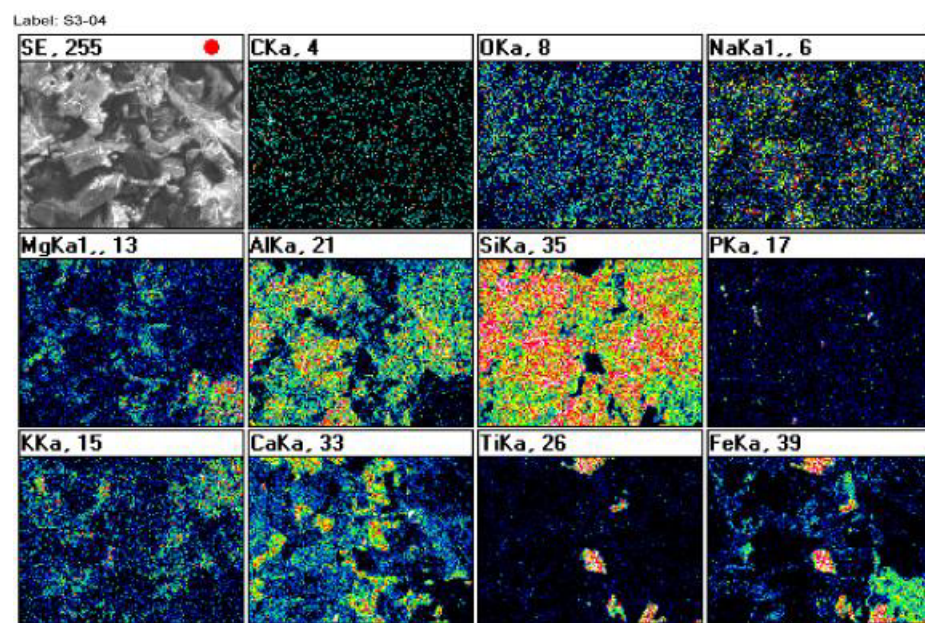
ภาพประกอบ 3.20 กราฟแสดงการลบถ่าง NRM ด้วยสนามแม่เหล็กสลับของตัวอย่างหินงวดชุดที่ศึกษา

### 3.1.7 ผลการวิเคราะห์ห้องค์ประกอบเคมีด้วย SEM-EDS

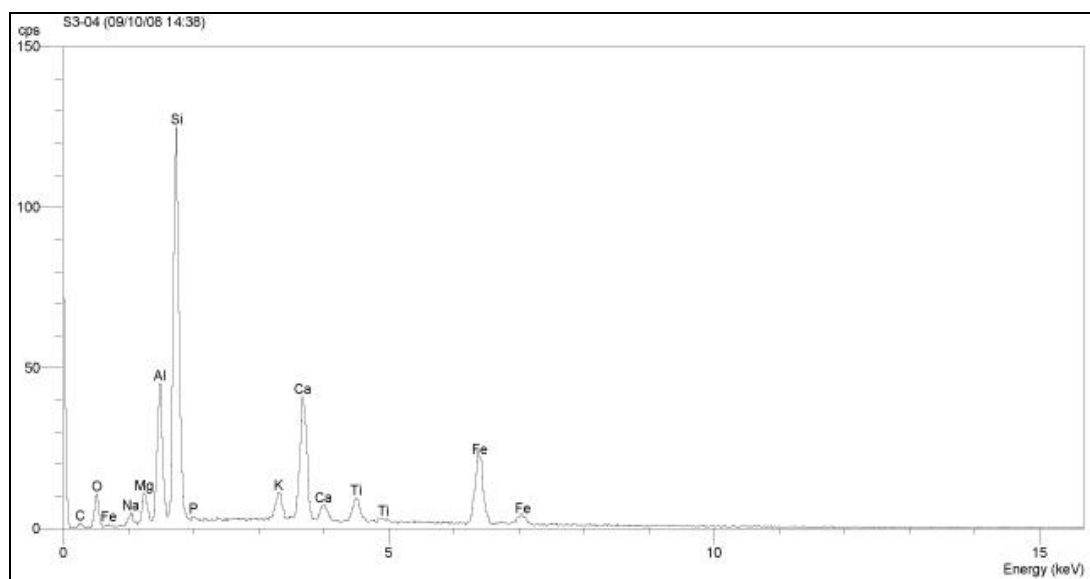
เตรียมตัวอย่างหินจากแหล่งหินบะซอลต์ที่ศึกษา เพื่อทำการวิเคราะห์เชิงจุลภาพ ด้วยกล้องจุลทรรศน์อิเล็กตรอน (SEM) และวิเคราะห์ปริมาณชาตุประกอบในหินตัวอย่างที่ระดับกำลังขยายสูงด้วยเทคนิครังสีเอกซ์เรืองด้วยระบบ SEM-EDS การวิเคราะห์ปริมาณชาตุประกอบหลักใช้เทคนิควิเคราะห์แบบกึ่งเชิงปริมาณ (semi-quantitative) เนื่องจากต้องการยืนยันการปรากฏของชาตุสำคัญบางชนิดเท่านั้น เช่น ธาตุไทเทเนียม (Ti) ซึ่งเป็นส่วนหนึ่งของแร่เฟอร์โรแมกเนติก กลุ่มไททาโนแมกนีไทต์ ( $\text{Fe}_{3-x} \text{Ti}_x \text{O}_4$ ) ที่พบได้ทั่วไปในหินบะซอลต์ โดยเฉพาะอย่างยิ่งที่มีรายงานว่าหินบะซอลต์ที่สัมพันธ์กับพลอยมักจะมีปริมาณของ Ti สูง Levinson และ Cook (1994) ตารางที่ 3.3 แสดงผลการวิเคราะห์ชาตุประกอบทั้งหมดในตัวอย่างหินบะซอลต์ที่ศึกษานำมาลงแหล่ง ด้วยระบบ SEM-EDS ส่วนภาพรังสีเอกซ์เรืองแสดงชาตุประกอบของผลึกแร่และภาพสเปกตรัมรังสีเอกซ์เรืองของชาตุประกอบของผลึกแร่ในตัวอย่างหินบะซอลต์จากชิ้นเดียวกัน ได้แสดงไว้ในภาพประกอบ 3.21-3.28

ตารางที่ 3.3 แสดงผลการวิเคราะห์ชาตุประกอบ (ในหน่วย%) ทั้งหมดของตัวอย่างหินบะซอลต์ที่ศึกษานำมาลงแหล่ง ด้วยระบบ SEM-EDS

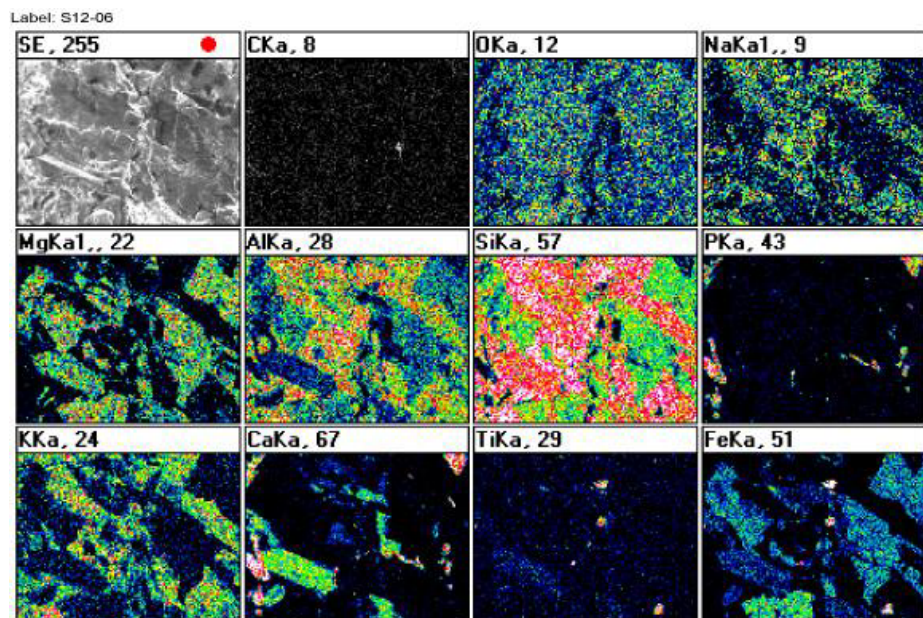
| Specimen |        | C     | O     | Na   | Mg   | Al    | Si    | P    | K     | Ca    | Ti   | Fe    |
|----------|--------|-------|-------|------|------|-------|-------|------|-------|-------|------|-------|
| NR       | S2-08  | 7.14  | 17.34 | 2.14 | 1.85 | 11.31 | 30.07 | 0.35 | 3.60  | 14.58 | 1.01 | 10.61 |
|          | S3-04  | 5.72  | 15.62 | 1.36 | 2.35 | 9.31  | 27.87 | 0.29 | 2.59  | 12.65 | 3.25 | 18.98 |
| BR       | S5-11  | 11.54 | 14.73 | 2.27 | 1.57 | 9.18  | 32.12 | 0.37 | 4.23  | 8.28  | 1.81 | 13.91 |
|          | S11-06 | 7.35  | 13.44 | 2.04 | 0.89 | 9.32  | 27.70 | 0.77 | 4.37  | 17.55 | 2.84 | 13.71 |
|          | S12-06 | 6.05  | 17.84 | 1.87 | 4.41 | 8.77  | 31.19 | 1.38 | 4.82  | 7.93  | 0.63 | 15.11 |
| UB       | S6-02  | 10.21 | 16.49 | 2.11 | 1.22 | 10.56 | 28.80 | 1.21 | 5.96  | 12.20 | 1.22 | 10.02 |
|          | S8-02  | 6.93  | 14.16 | 1.23 | 4.71 | 7.77  | 27.60 | 0.63 | 3.70  | 7.42  | 2.57 | 23.29 |
|          | S9-13  | 4.68  | 15.64 | 1.42 | 2.01 | 9.48  | 27.93 | 0.68 | 4.62  | 14.08 | 2.72 | 16.74 |
| SR       | N13-02 | 11.28 | 17.98 | 2.57 | 1.78 | 9.60  | 31.54 | 0.87 | 4.10  | 7.79  | 1.96 | 10.52 |
| DC       | N3-03  | 8.58  | 14.10 | 1.85 | 1.00 | 10.15 | 28.47 | 0.49 | 5.05  | 13.25 | 3.25 | 13.81 |
|          | N4-03  | 5.88  | 18.12 | 2.12 | 2.33 | 10.44 | 29.38 | 0.37 | 4.91  | 8.77  | 2.70 | 14.97 |
| WC       | N6-10  | 5.23  | 15.98 | 1.41 | 5.86 | 10.05 | 29.43 | 0.36 | 0.92  | 13.85 | 1.72 | 15.20 |
|          | N8-03  | 6.26  | 14.76 | 1.96 | 1.96 | 11.36 | 29.71 | 0.32 | 0.73  | 14.06 | 1.42 | 17.45 |
| BP       | N14-06 | 7.88  | 15.72 | 1.90 | 2.07 | 8.59  | 29.52 | 0.18 | 12.83 | 10.82 | 1.72 | 8.76  |
|          | N15-02 | 6.80  | 16.42 | 1.89 | 1.34 | 8.54  | 23.48 | 0.57 | 10.92 | 17.93 | 1.77 | 10.34 |



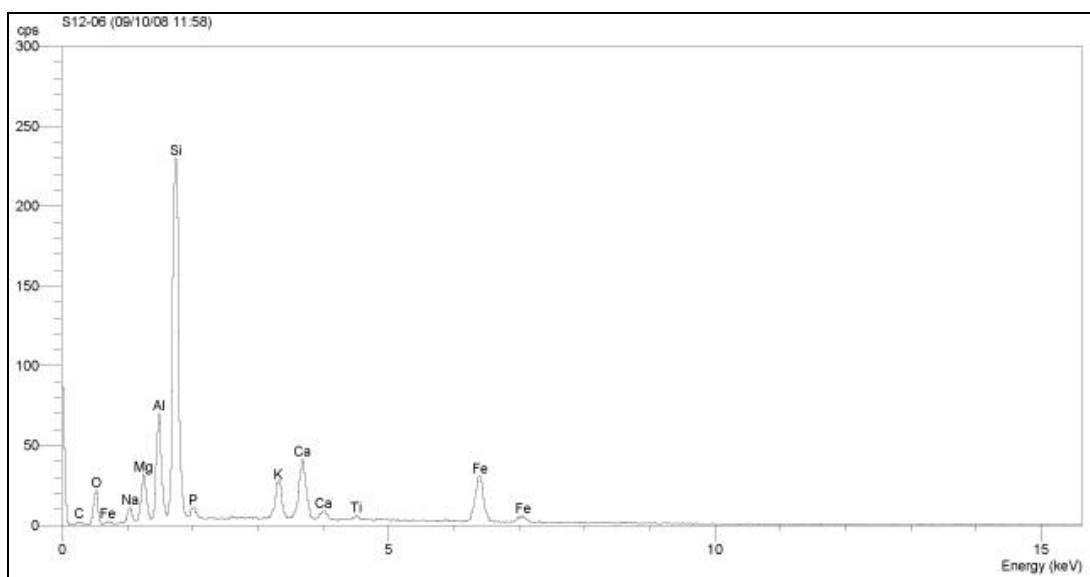
ภาพประกอบ 3.21 ภาพรังสีเอกซ์เรอเจนแสดงชาตุประกอบของผลึกแร่ในตัวอย่างหิน bazalt จากนครราชสีมา (S3-04)



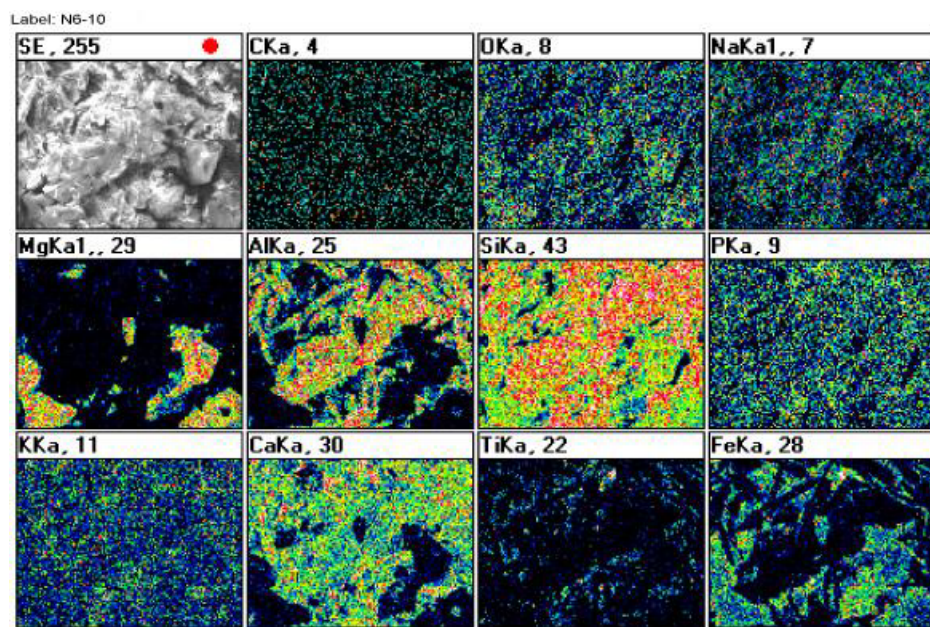
ภาพประกอบ 3.22 สเปกตรัมรังสีเอกซ์เรอเจนของชาตุประกอบของผลึกแร่ในตัวอย่างหิน bazalt จากนครราชสีมา (S3-04)



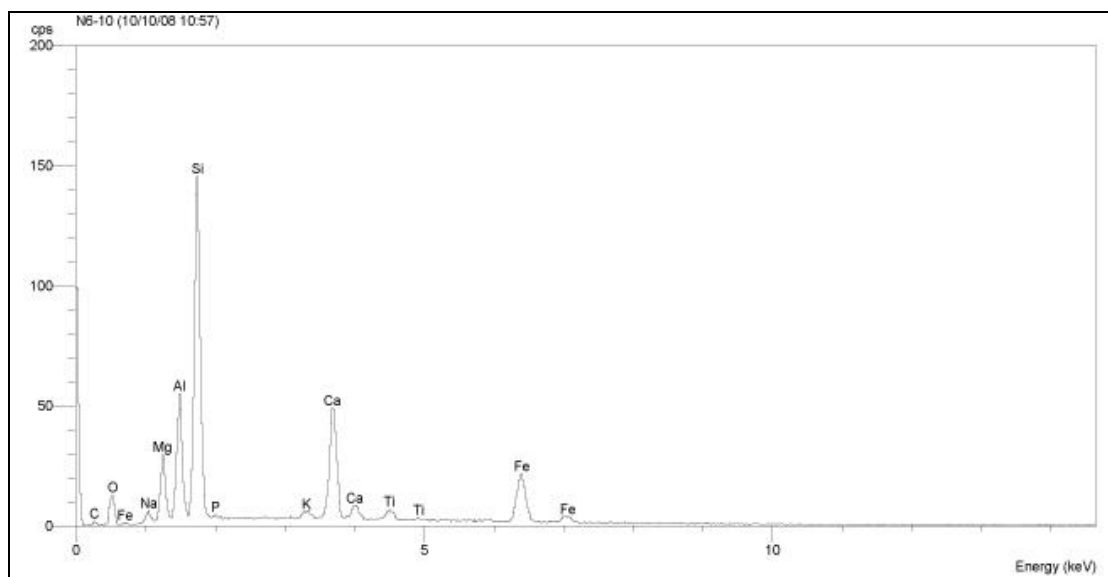
ภาพประกอบ 3.23 ภาพรังสีเอกซ์เรียมแสดงชาตุประกอบของผลึกแร่ในตัวอย่างหินบะชอลต์จากบุรีรัมย์ (S12-06)



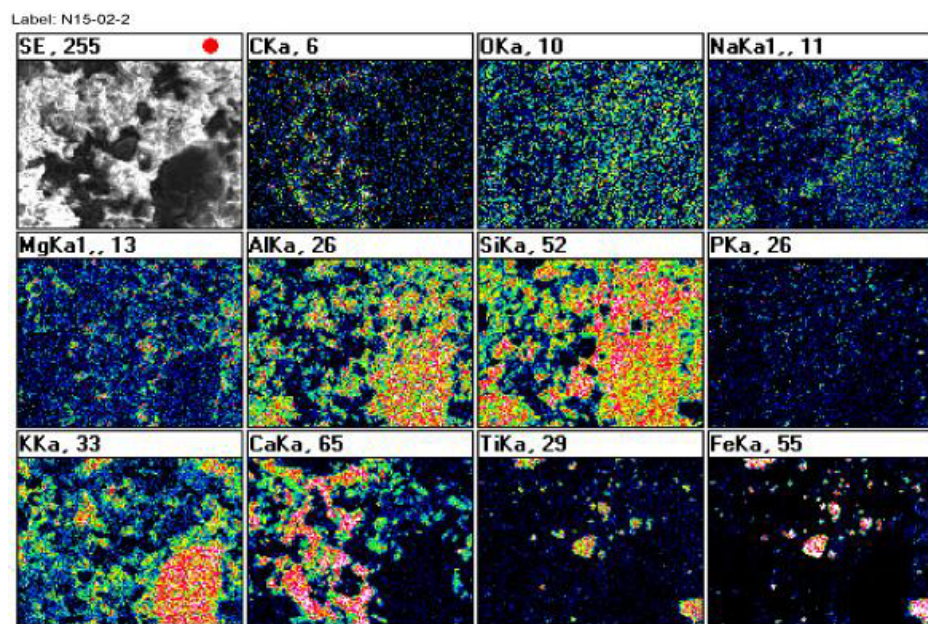
ภาพประกอบ 3.24 สเปกตรัมรังสีเอกซ์เรียมของชาตุประกอบของผลึกแร่ในตัวอย่างหินบะชอลต์จากบุรีรัมย์ (S12-06)



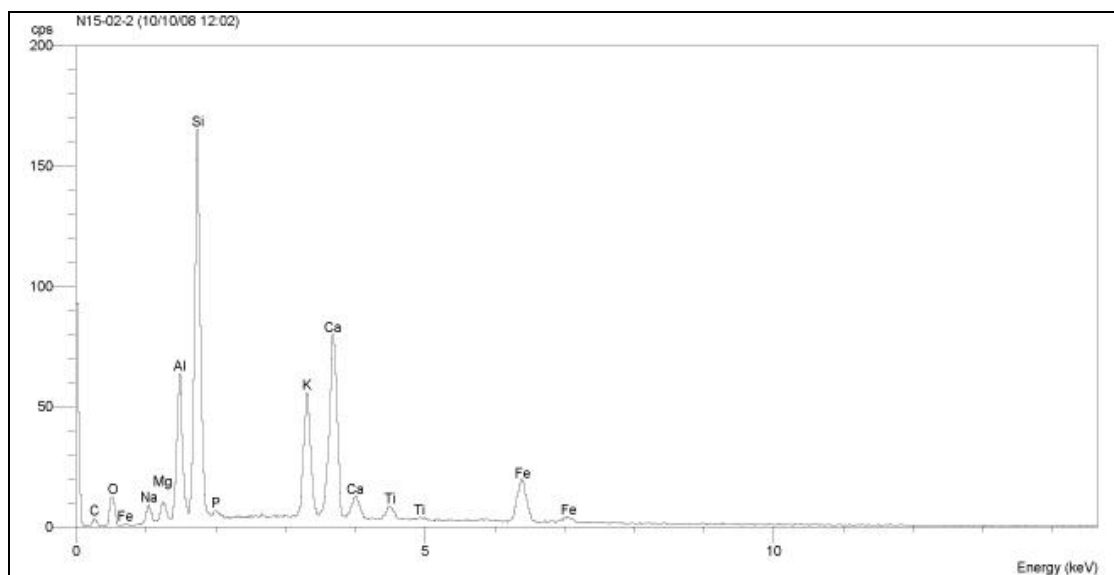
ภาพประกอบ 3.25 ภาพรังสีเอกซ์เรืองแสดงธาตุประกอบของผลึกแร่ในตัวอย่างหินบะชอลต์จากวิชัยรบุรี (N6-10)



ภาพประกอบ 3.26 สเปกตรัมรังสีเอกซ์เรืองของธาตุประกอบของผลึกแร่ในตัวอย่างหินบะชอลต์จากวิชัยรบุรี (N6-10)



ภาพประกอบ 3.27 ภาพรังสีเอกซ์เรืองแสดงชาตุประกอบของผลึกแร่ในตัวอย่างหินบะซอลต์จากบ่อพลอย (N15-02)



ภาพประกอบ 3.28 スペクトรัมรังสีเอกซ์เรืองของชาตุประกอบของผลึกแร่ในตัวอย่างหินบะซอลต์จากบ่อพลอย (N15-02)

### 3.2 วิเคราะห์ผลการวิจัย

#### 3.2.1 ตัวอย่างหิน bazalt จากจังหวัดนครราชสีมา (NR)

ค่าสภาพรับไว้ได้ทางแม่เหล็กเนลลี่ ( $k_m$ ) จากห้อง 3 site (S1, S2 และ S3) มีค่าเป็น 10096, 11869 และ  $4088 (\times 10^{-6} \text{ SI})$  ตามลำดับ ค่าสภาพรับไว้ได้ทางแม่เหล็กที่สูงในระดับ  $10^{-3} \text{ SI}$  แสดงกลุ่มแร่เฟอร์โรแมกнетิกเป็นแร่ของปะกอนหลักในหิน (Elming และคณะ, 2009) ซึ่งจากการกระจายของค่า  $k$  ที่ต่างกันอย่างเห็นได้ชัดของตัวอย่างหินจาก site S1 และ S2 กับตัวอย่างหินจาก site S3 (ภาพประกอบ 3.1) สอดคล้องกันกับค่าเฉลี่ยของค่าความหนาแน่น NRM โดยตัวอย่างจาก site S3 มีค่า NRM  $6848 \text{ mA/m}$  สูงกว่าอีก 2 site (S1 และ S2) คือ  $1599$  และ  $1778 \text{ mA/m}$  จึงทำให้ค่า Q-value แตกต่างกันด้วย ตัวอย่างหักหมดแสดงค่า Q-value สูง โดย site S1 มีค่า  $3.96$  และ site S2 มีค่า  $3.75$  ส่วนตัวอย่างจาก site S3 นั้นมีค่ามากกว่าสองถูกแรกคือ  $41.88$  ซึ่งหักหมดมีค่ามากกว่า 1 (Q-value  $>1$ ) แสดงถึงความมีเสถียรภาพทางแม่เหล็กสูง (high stability of NRM)(ภาพประกอบ 3.2)

ค่าแอนไโอโซธรอปีของสภาพรับไว้ได้ทางแม่เหล็ก (ภาพประกอบ 3.3) ตัวอย่างหินจากนครราชสีมา มีค่า  $P_j$  เฉลี่ยอยู่ในช่วง  $1.01 - 1.03$  หรือ 1-3% และถึงความเป็นแอนไโอโซธรอปีที่ต่ำ ส่วนค่า Shape factor T ที่ใช้แสดงลักษณะทรงรีของ AMS ตัวอย่างจาก site S1 และ site S2 ส่วนใหญ่จะมีค่ามากกว่าศูนย์ ( $T > 0$ ) ซึ่งจะแสดงลักษณะทรงรีของ AMS แบบแบนที่ขึ้น (oblate ellipsoid) ส่วนใน site S3 ตัวอย่าง 74% และทรงรีของ AMS แบบยาวรี ( $T < 0$ , prolate ellipsoid) ทิศทางการวางตัวของทรงรีของค่า  $k$  (susceptibility ellipsoid) ของแต่ละชิ้นตัวอย่าง โดยการแสดงทิศทางของแกนหลัก 3 แกน คือ  $k_{\max}(\blacksquare)$ ,  $k_{int}(\blacktriangledown)$  และ  $k_{min}(\bullet)$  บนกราฟสเตอเรอิโกราฟิก จากภาพประกอบ 3.4 ทรงรี AMS ของตัวอย่างหินจาก site S1 และลักษณะการกระจายตัวเฉพาะแบบ 3 แกน (triaxial) คือ ค่าแต่ละแกนหลักจะบวกกันกับตัวอย่างเดียวและแยกออกจากกันอย่างชัดเจน (Tarling and Hrouda, 1993) โดยในตัวอย่างนี้มีทิศทางของแกนหลักของค่า  $k$  บวกกันได้ โดยมีขอบเขต วงรีที่แสดงระดับความเชื่อมั่น 95% ที่ไม่岡มากนัก มีทิศทางเฉลี่ยแกน  $k_{\max}$  อยู่ในแนวตะวันออกเฉียงเหนือ-ตะวันตกเฉียงใต้และทำมุมขนาดกับแนวราบที่ก่อโดย แสดงลักษณะการไหลของคลาวในทิศ NE-SW คาดว่าจะอยู่ห่างจากบริเวณปล่องศูนย์กลาง (vent) ก่อนที่จะเบ็นตัว ส่วนตัวอย่างจาก site S2 และ S3 มีทิศทางแกนหลักของค่า  $k$  ค่อนข้างกระจายตัว

จากชิ้นตัวอย่าง site S2 เมื่อทำการลบล้างด้วยวิธี AF พบร้าสามารถลบล้างความเข้มของแมgnetiไฟเซนต์ก้างได้ครึ่งหนึ่งหรือ 50% (median destructive fields, MDF) ที่สามารถแม่เหล็กสูงประมาณ  $25-40 \text{ mT}$  ซึ่งถือว่ามีค่า coercivity ( $H_c$ ) ในระดับปานกลางถึงสูง (ภาพประกอบ 3.20) และยังคงเหลือความเข้มของแมgnetiไฟเซนต์ก้างอีก 20% แม้จะใช้สนานที่

60 mT แล้วก็ตาม ซึ่งสอดคล้องกับค่า Q-value จากตัวอย่างหิน site S2 ที่มีค่าสูงจึงทำให้มี เสถียรภาพทางแม่เหล็กสูงชั่นกัน จากการลองล้างความเข้มของแมgnite ไฟเซชันตกค้าง (MDF=25-40 mT) แสดงถึงลักษณะของโคลเมนแม่เหล็กแบบโคลเมนเดี่ยว (single domain grain, SD) หรือแบบ โคลเมนเดี่ยวเทียม (pseudo-single domain, PSD) (Dunlop and Özdemir, 1997) ซึ่งตัวอย่างหินจาก site S1 เมื่อทดสอบ thermo-magnetic ปรากฏว่าค่าสภาพรับไว้ได้ทางแม่เหล็กจะค่อยๆลดลงที่ อุณหภูมิประมาณ 200 °C และลดลงอีกช่วงหนึ่งที่อุณหภูมิประมาณ 580 °C (ภาพประกอบ 3.19) ซึ่ง ทำให้คาดว่าแร่แม่เหล็กที่เป็นแร่ประกอบในตัวอย่างหิน น่าจะมีแร่ไฟฟานาโนแมgnite ไฟต์และแร่ แมgnite ไฟต์ ( $\text{Fe}_3\text{O}_4$ ) (Dunlop and Ozdemir, 1997) ซึ่งจากอุณหภูมิครีปประมาณ 200 °C นี้น่าจะมีแร่ ไฟฟานาโนแมgnite ไฟต์ ( $\text{Fe}_{3-x}\text{Ti}_x\text{O}_4$ ) ที่ค่า  $x=0.5$  (Dunlop and Özdemir, 1997) และจากการจะเห็นว่า ระหว่างการเย็นตัวของหินค่าสภาพรับไว้ได้ทางแม่เหล็กมีการเปลี่ยนแปลง โดยมีค่าเพิ่มขึ้นจากเดิม แสดงว่ามีการเปลี่ยนแปลงทางเคมีขององค์ประกอบของแร่ประกอบในหินตัวอย่างอันเกิดจากความ ร้อนจึงทำให้มีแร่แม่เหล็กเกิดขึ้นใหม่ ส่วนตัวอย่างหินจาก site S3 ค่า k ลดลงที่อุณหภูมิครีป ประมาณ 150 °C และดูว่าเป็นแร่ Ti-rich ไฟฟานาโนแมgnite ไฟต์ ( $\text{Fe}_{3-x}\text{Ti}_x\text{O}_4$ ) ที่ค่า  $x=0.6$  (TM60) และ จากภาพรังสีเอกซ์เรอิง (ภาพประกอบ 3.21) แสดง Fe และ Ti ในผลึกแร่เดียวกัน ข้อมูลรังสีเอกซ์เรอิง (ตารางที่ 3.3) แสดงปริมาณ Ti ในหินตัวอย่างเท่ากับ 3.25% และระหว่างการเย็นตัวค่า k เพิ่มขึ้นแสดงการเกิดแร่แมgnite ไฟต์จากการออกซิเดชันของ TM60 แหล่งหินบะซอลต์ครราชสีมา ไม่เคยมีประวัติที่สัมพันธ์กับแร่พลอย

สรุปแหล่งหินบะซอลต์ครราชสีมาจากทั้ง 3 sites แสดงสมบัติของแร่ Ti-rich ไฟฟานาโนแมgnite ไฟต์และแร่แมgnite ไฟต์ เป็นแร่เฟอร์โรแมgnetenik หลักในหินบะซอลต์

### 3.2.2 ตัวอย่างหินบะซอลต์จากจังหวัดบุรีรัมย์ (BR)

ตัวอย่างหินจากแหล่งหินในบุรีรัมย์เก็บจากสองบริเวณที่ต่างกันคือ บริเวณภูพระ อังคาร 3 sites (S4, S5 และ T1) ตัวอย่างหินบริเวณภูพระอังคารแสดงลักษณะหินบะซอลต์แบบ โครงสร้างรูปเสานาเหลี่ยม (columnar) และอิกบริเวณคือเขากระโถงจำนวน 5 sites (S11, S12, N9, N10 และ T2) ผลการทดสอบตัวอย่างหินจาก site S4, S5 และ T1 ให้ค่า k เคลื่อนยู่ในช่วง 2579 ถึง 3350 ( $\times 10^{-6}$  SI) ซึ่งมีค่าที่น้อยกว่าเมื่อนำมาเปรียบเทียบกับตัวอย่างหินบริเวณเขากระโถง ที่มีค่า k เคลื่อนยู่ในช่วง 13045 ถึง 34440 ( $\times 10^{-6}$  SI) นอกจากนี้ค่าเฉลี่ย NRM ก็มีค่าที่ต่างกันด้วย โดยตัวอย่าง หินบริเวณภูพระอังคาร site S4, S5 และ T1 มีค่าน้อยกว่ากัน คือ มีค่า 223, 164 และ 425 mA/m ตามลำดับ ส่วนตัวอย่างหินจากเขากระโถงมีค่าเฉลี่ยในช่วง 2753 ถึง 6397 mA/m ในส่วนของค่า Q-value ของตัวอย่างหินมีค่าเฉลี่ยตั้งแต่ 1.40 ถึง 8.54 จะเห็นได้ว่าส่วนใหญ่จะมีค่าที่มากกว่า 1 ซึ่ง

แสดงถึงความมีเสถียรภาพทางแม่เหล็กสูง (high stability of NRM) เช่นกัน ยกเว้นบางชิ้นตัวอย่าง จาก site S5 ที่มีเสถียรภาพทางแม่เหล็กต่ำ (Q-value<0) (ภาพประกอบ 3.2)

ในส่วนของกราฟ Pj-T ตัวอย่างหิน bazalt จากจังหวัดบุรีรัมย์ (ภาพประกอบ 3.3) ส่วนใหญ่จะแสดงลักษณะทรงรีของ AMS แบบแบนที่ขี้ว (oblate ellipsoid) ( $T>0$ ) โดย 100% ของตัวอย่างหินจาก site S5 และ S11 มีค่า  $T>0$  ส่วนตัวอย่างจาก site N10, T1 และ T2 มีค่าส่วนใหญ่ที่น้อยกว่าศูนย์จึงแสดงลักษณะทรงรีของ AMS แบบยาวรี (prolate ellipsoid) ส่วนค่าเฉลี่ย  $Pj$  ของตัวอย่างหินเกือบทั้งหมดมีค่าที่น้อยกว่า 4% ( $Pj<1.04$ ) ยกเว้นเพียง 5 ชิ้นตัวอย่างของหินจาก site S5 ที่มีค่า  $Pj$  มากกว่า 6% ทิศทางการวางตัวของทรงรี AMS ของหิน bazalt จากบุรีรัมย์ (ภาพประกอบ 3.6) แสดงลักษณะเฉพาะแบบสุ่มในตัวอย่างจาก site S4, S12, N10, T1 และ T2 ตัวอย่างหินจาก site S5 แสดงลักษณะเฉพาะแบบ 3 แกน (triaxial) โดยทิศทางของแกนหลักของค่า  $k$  จับกลุ่มกันดี โดยมีขอบเขตวงรีที่แสดงระดับความเชื่อมั่น 95% ที่ไม่ต้องมากนัก มีทิศทางเฉลี่ย แกน  $k_{max}$  อยู่ในแนวตะวันออก-ตะวันตก และทำมุมขนาดกับแนวราบเล็กน้อย แสดงลักษณะการไหลของ lava ในทิศ E-W คาดว่าจะอยู่ห่างจากบริเวณปล่องศูนย์กลาง (vent) ก่อนที่จะเย็นตัว ส่วนตัวอย่างจาก site S11 และ N9 แสดงลักษณะแขกแจงแบบ girdle โดย  $k_{max}$  และ  $k_{int}$  กระจายตัวผสมกันอย่างดีในแนวเดินรอบวงกลม ขณะที่  $k_{min}$  จับกลุ่มกันอย่างดีและมีทิศตั้งฉากกับแกน  $k_{max}$  และ  $k_{int}$  (Tarling and Hrouda, 1993) โดยตัวอย่างจาก site S11 ทิศทางเฉลี่ยแกน  $k_{min}$  อยู่ในแนวตะวันออกเฉียงเหนือ-ตะวันตกเฉียงใต้ และแกน  $k_{max}$  และ  $k_{int}$  อยู่ในแนวตะวันออกเฉียงใต้-ตะวันตกเฉียงเหนือ แสดงลักษณะการไหลของ lava ในแนว NW-SE ส่วนตัวอย่างจาก site N9 ทิศทางเฉลี่ยแกน  $k_{min}$  อยู่ในแนวตะวันออกเฉียงใต้-ตะวันตกเฉียงเหนือ และทำมุมประมาณ 60 องศากับแนวราบ แสดงลักษณะการไหลของ lava ไม่ไกลจากบริเวณปล่องศูนย์กลางมากนัก (ภาพประกอบ 3.12 และ 3.13)

ตัวอย่างหินจาก site S12 เมื่อนำมาทดสอบ thermo-magnetic ปรากฏว่าค่า  $k$  ค่อนข้างเพิ่มขึ้นเล็กน้อยแล้วลดลงอย่างรวดเร็วที่อุณหภูมิประมาณ  $580^{\circ}\text{C}$  (ภาพประกอบ 3.19) ซึ่งคาดว่าแร่แม่เหล็กประกอบในตัวอย่างหินน่าจะเป็นแร่แมกนีไทต์ ( $\text{Fe}_3\text{O}_4$ ) ซึ่งสอดคล้องกับผลการวิเคราะห์ทางเคมีประกอบในตัวอย่างหินที่พบธาตุเหล็กเป็นองค์ประกอบอยู่ด้วย (ภาพประกอบ 3.21) และเมื่อทำการอบล้างด้วยวิธี AF พบร้าตัวอย่างหิน bazalt จาก site S12 มีค่า MDF ที่สูงมากแม่เหล็กสูงประมาณ 30-40 mT ซึ่งถือว่ามีค่า coercivity ( $H_c$ ) ในระดับปานกลางถึงสูง (ภาพประกอบ 3.20) และเมื่อใช้สูตรที่  $60 \text{ mT}$  ก็ยังคงเหลือความเข้มของแมgnetiite เฉือนตกลง 10% แสดงถึงลักษณะของโดเมนแม่เหล็กแบบโดเมนเดียว (SD) หรือแบบโดเมนเดียวที่ยืน (PSD) (Dunlop and Özdemir, 1997) และเมื่อเปรียบเทียบกับค่า Q-value จากตัวอย่างหิน site S12 คือ 5.93 ที่มีค่าสูง

เช่นกันจึงทำให้มีเสถียรภาพทางแม่เหล็กสูง (high stability of remanence) ส่วนตัวอย่างจาก site S11 เมื่อทดสอบ thermo-magnetic มีค่า  $k$  ค่อยๆเพิ่มขึ้นอย่างต่อเนื่องเล็กน้อยจนถึงค่าสูงสุดที่ อุณหภูมิประมาณ  $150^{\circ}\text{C}$  และค่า  $k$  ลดลงอย่างรวดเร็วจนถึงค่า ต่ำสุดที่อุณหภูมิประมาณ  $580^{\circ}\text{C}$  แสดงอุณหภูมิครูริของแร่ “ไททาโนแมกนีไทต์” TM0-TM60 และค่า  $k$  ลดลงอย่างรวดเร็วจนถึงค่า ต่ำสุดที่อุณหภูมิประมาณ  $150^{\circ}\text{C}$  และค่า  $k$  ลดลงอย่างรวดเร็วจนถึงค่า ต่ำสุดที่อุณหภูมิประมาณ  $580^{\circ}\text{C}$  แสดงอุณหภูมิครูริของแร่ “แมกนีไทต์” ข้อมูลรังสีเอกซ์เรย์ (ตารางที่ 3.3) แสดงปริมาณ Ti ในหินด้วยตัวอย่างเท่ากับ 2.84% โดยประกอบ Fe และ Ti อยู่ในผลึกแร่เดียวกัน ยืนยันการปรากฏของแร่ “ไททาโนแมกนีไทต์” ในระหว่างการเย็นตัวค่า  $k$  เพิ่มสูงขึ้นที่อุณหภูมิครูริของ แร่ “แมกนีไทต์” ( $\gamma\text{-Fe}_2\text{O}_3$ ) ประมาณ  $600^{\circ}\text{C}$  โดยค่า  $k$  ลดลงช่วงการเย็นตัวจะลดลงประมาณครึ่งหนึ่ง แสดงว่า “ไททาโนแมกนีไทต์” เกิดการออกซิเดชันไปเป็น “แมกนีไทต์” แหล่งหิน bazalt จังหวัดบุรีรัมย์ ไม่เคยมีประวัติที่สัมพันธ์กับแร่พลอย “ไพรัช สุทธากรณ์” และคณะ (2533)

สรุปแหล่งหิน bazalt บุรีรัมย์ แสดงสมบัติของแร่ “Ti-poor” “ไททาโนแมกนีไทต์” และแร่ “แมกนีไทต์” เป็นแร่ “เฟอร์โรแมกнетิกหลัก” ในหิน bazalt

### 3.2.3 ตัวอย่างหิน bazalt จากจังหวัดสุรินทร์ (SR)

ค่าส่วนรับไว้ได้ทางแม่เหล็กเนลลี่ ( $k_{\text{m}}$ ) ของตัวอย่างหิน bazalt จากบริเวณฯ พนมสวางจังหวัดสุรินทร์ (5 sites) มีค่าที่ค่อนข้างสูง คือ มีค่าอยู่ระหว่าง  $16260$  ถึง  $55620$  ( $\times 10^{-6}$  SI) และการกระจายตัวของค่า  $k$  อยู่ในช่วงใกล้เคียงกันทั้งหมด ยกเว้นที่ site T4 ที่มีช่วงการกระจายค่อนข้างกว้าง ส่วนค่า NRM อยู่ระหว่าง  $445$  ถึง  $1171$  mA/m ตัวอย่างส่วนใหญ่จะมีค่า  $k$  ที่ค่อนข้างสูงแต่ค่า NRM ค่อนข้างต่ำ จึงทำให้ค่า Q-value น้อยกว่า 1 คือ  $0.38$  ถึง  $0.99$  ซึ่งค่าดังกล่าว แสดงถึงความมีเสถียรภาพทางแม่เหล็กที่ค่อนข้างต่ำ (low stability of NRM) ยกเว้นตัวอย่างจาก site N12 ที่ให้ค่า Q-value เท่ากับ  $1.33$

ตัวอย่างหินจากจังหวัดสุรินทร์ ส่วนใหญ่จะแสดงลักษณะทรงรีของ AMS แบบ แบบที่ 2 (oblate ellipsoid) โดยเฉพาะตัวอย่างทั้งหมด (100%) จาก site N12, N13 และ T3 ที่ให้ค่า  $T>0$  ยกเว้นชิ้นตัวอย่างหินบางส่วนของ site N11 (8%) และ T4 (48%) ที่ให้ค่า  $T<0$  แสดงลักษณะทรงรี AMS แบบยาวรี (prolate ellipsoid) ในส่วนของค่าเฉลี่ย  $P_j$  ตัวอย่างเกือบทั้งหมดมีค่าน้อยกว่า  $3\%$  ( $<1.03$ ) มีเพียง 2 ชิ้นตัวอย่างจาก site T4 ที่มีค่ามากกว่า  $1.06$  ทิศทางการวางตัวของทรงรี AMS ของหิน bazalt สุรินทร์ (ภาพประกอบ 3.7) แสดงลักษณะเฉพาะแบบสุ่มในตัวอย่างจาก site N11, N12 และ T4 ส่วนตัวอย่างจาก site N13 และ T3 แสดงลักษณะเฉพาะแบบ girdle โดย  $k_{\text{max}}$  และ  $k_{\text{int}}$  ผสมกันอย่างดีเป็นเส้นรอบวงกลม ขณะที่  $k_{\text{min}}$  จับกลุ่มกันอย่างดี โดยใน site N13 ทิศทางแกน  $k_{\text{max}}$  อยู่ในแนวตะวันออก-ตะวันตก และทำมุมขนาดกับแนวราบเล็กน้อย แสดงลักษณะการไฟล

ของลาวาในทิศ E-W ไก่จากบริเวณปล่องศูนย์กลางก่อนที่จะเย็นตัว ส่วนใน site T3 ทิศทางแกน  $k_{max}$  อยู่ในแนววันออกเฉียงใต้-ตะวันตกเฉียงเหนือ และทำมุมขนาดกับแนวราบเล็กน้อย แสดงลักษณะการไหลของลาวาในทิศ NW-SE ไก่จากบริเวณปล่องศูนย์กลาง (ภาพประกอบ 3.14)

เมื่อทำการทดสอบด้วยวิธี AF พบร่วมค่า coercivity (Hc) ในระดับปานกลางถึงสูง โดยตัวอย่างหิน bazalt จาก site N13 สามารถกลับล้างความเข้มของแมgnite ให้เหลือ 50% (MDF) ที่สามารถแม่เหล็กสูงประมาณ 25-30 mT และเหลือความเข้มของแมgnite ให้เหลือ 25% แม้ว่าจะใช้ค่าสนามแม่เหล็กที่สูงกว่า 60 mT (ภาพประกอบ 3.20) แสดงถึงลักษณะของโดเมนแม่เหล็กแบบโดเมนเดียว (SD) หรือแบบโดเมนเดียวเทียม (PSD) (Dunlop and Özdemir, 1997) และเมื่อทำการวัดค่าสภาพรับไว้ได้ทางแม่เหล็กจะทำการเผาตัวอย่างหิน ปรากฏว่าค่า  $k$  ค่อยๆ เพิ่มขึ้นแล้วลดลงอย่างรวดเร็วที่อุณหภูมิประมาณ 580 °C ซึ่งน่าจะมีแร่แมgnite ไไฟต์ ( $Fe_3O_4$ ) เป็นแร่แม่เหล็กที่ประกอบในตัวอย่างหิน ซึ่งสอดคล้องกับข้อมูลรังสีเอกซ์เรย์ (ตารางที่ 3.3) ที่แสดงปริมาณ Fe ในหินตัวอย่างเท่ากัน 10.52% เช่นเดียวกับตัวอย่างหินจากบุรีรัมย์ นอกจากนี้ในระหว่างการเย็นตัวของหินมีค่าสภาพรับไว้ได้ทางแม่เหล็กที่ลดลงจากเดิมประมาณ 20% ซึ่งคาดว่าน่าจะมีการเปลี่ยนแปลงทางเคมีจากความร้อน (ภาพประกอบ 3.19) โดยแร่แมgnite ไไฟต์เกิดการออกซิเดชันภายในและเปลี่ยนรูปเป็นแร่แมgnite ไไมต์ (Bhongsuwan and Elming, 2000) ทำให้ค่าสภาพรับไว้ได้ทางแม่เหล็กที่วัดได้ลดลงจากเดิม ไพรัช ศุทธากรณ์ และคณะ (2533) รายงานไว้ว่าแหล่งหิน bazalt จังหวัดสุรินทร์ ไม่เคยมีประวัติที่สัมพันธ์กับแร่พลอย

สรุปแหล่งหิน bazalt จังหวัดสุรินทร์แสดงสมบัติของแร่แมgnite ไไฟต์เป็นแร่เฟอร์โรแมgnenetite หลักในหิน bazalt

### 3.2.4 ตัวอย่างหิน bazalt จากจังหวัดอุบลราชธานี-ครีสต์เกย์ (UB)

ค่าเฉลี่ย NRM ของตัวอย่างหิน bazalt จากจังหวัดอุบลราชธานี-ครีสต์เกย์ มีค่าอยู่ระหว่าง 1897.1 ถึง 10487.0 mA/m และค่าสภาพรับไว้ได้ทางแม่เหล็กเฉลี่ย ( $k_m$ ) ของตัวอย่างหินนั้นมีค่าอยู่ระหว่าง 2374 ถึง 19840 ( $\times 10^{-6}$  SI) จาก 173 ชิ้นตัวอย่างและมีการกระจายตัวของค่า  $k$  ค่อนข้างกว้าง ในส่วนของค่า Q-value ตัวอย่างหินทั้งหมดแสดงค่าที่สูง (3.29-43.58) แสดงให้เห็นถึงความมีเสถียรภาพทางแม่เหล็กที่สูง

ค่า  $Pj$  เฉลี่ยของตัวอย่างหิน bazalt จาก site S6, S7, S8, S9, S10, T5 และ T6 มีค่า 1.069, 1.035, 1.028, 1.038, 1.013, 1.003 และ 1.026 ตามลำดับ แสดงค่า AMS ในระดับปานกลาง 1-7% ซึ่งสูงกว่าหิน bazalt จากนครราชสีมา บุรีรัมย์ และสุรินทร์ ส่วนลักษณะของทรงรี AMS ของตัวอย่างหินจาก site S6, S8, S10, T5 และ T6 แสดงค่าเฉลี่ย T ที่มากกว่าศูนย์ แสดงทรงรีแบบ

แบบที่ข้า ตัวอย่างหินจาก site S7และS9 ค่าเฉลี่ย T เท่ากับ -0.231 และ -0.539 ตามลำดับ ซึ่งแสดงลักษณะทรงรีของ AMS แบบยาวยี (ดังภาพประกอบ 3.3) ทิศทางทรงรี AMS ของหินบะชอลต์อุบราชานี-ศรีสะเกย (ภาพประกอบ 3.8) จาก site S8, S9, S10, T5 และ T6 แสดงลักษณะเฉพาะแบบสุ่ม ตัวอย่างจาก site S6 แสดงลักษณะเฉพาะแบบ 3 แกนโดยทิศทางของแกนหลักของค่า  $k$  จับกลุ่มกันดีโดยมีขอบเขตว่าที่แสดงระดับความเชื่อมั่น 95% ที่ไม่ตมากนัก ทิศทางเฉลี่ยของ  $k_{max}$  อยู่ในแนวเหนือ-ใต้ ขณะที่  $k_{min}$  จับกลุ่มกันอย่างดีตั้งฉากกับแนวราบ แสดงทิศทางการไหลของ lava ในทิศ N-S และนานาไปกับแนวราบ คาดว่าจะอยู่ห่างจากบริเวณปล่องสูญยักษ์ (vent) ส่วนตัวอย่างจาก site S7 แสดงลักษณะแยกแจงแบบ girdle โดย  $k_{min}$  และ  $k_{int}$  ผสมกันอย่างดีเป็นเส้นรอบวงกลม ขณะที่  $k_{max}$  จับกลุ่มกันอย่างดี ชี้ไปในแนว NE-SW และทำมุมนานกับแนวราบเล็กน้อย แสดงลักษณะการไหลของ lava ในทิศ NE-SW ไกลจากบริเวณปล่องสูญยักษ์ กล่าวก่อนที่จะเย็นตัว (ภาพประกอบ 3.15)

ตัวอย่างหินจาก site S7 เมื่อทำการลบล้างด้วยวิธี AF พบว่าสามารถลบล้างความเข้มของแมกนีไทเซ็นต์ก้างได้ครึ่งหนึ่ง (MDF) ที่สนามแม่เหล็กประมาณ 5-20 mT ซึ่งถือว่ามีค่า coercivity ( $H_c$ ) ในระดับต่ำถึงปานกลาง และสามารถลบล้างความเข้มของแมกนีไทเซ็นต์ก้างได้เกือบทหมดด้วยสนามแม่เหล็กประมาณ 40 mT (ภาพประกอบ 3.20) แสดงถึงลักษณะของโดเมนแม่เหล็กแบบหลายโดเมน (MD) (Dunlop and Ozdemir, 1997) กราฟ  $k-T$  ของตัวอย่างหินจาก site S7, S8 และ S10 แสดงค่าสภาพรับไว้ได้ทางแม่เหล็กจะลดลงอย่างต่อเนื่องที่อุณหภูมิประมาณ 100-200 °C แล้วค่า  $k$  คงที่ไปจนถึงอุณหภูมิประมาณ 580 °C (ภาพประกอบ 3.19) ทำให้คาดว่าแร่แม่เหล็กที่เป็นแร่ประกอบในตัวอย่างหินน่าจะเป็นแร่ Ti-rich ไททาโนแมกนีไทต์ซึ่งจากอุณหภูมิครึ่งประมาณ 100-200 °C นี้น่าจะมีแร่ Ti-rich ไททาโนแมกนีไทต์ ( $\text{Fe}_{3-x} \text{Ti}_x \text{O}_4$ ) จะให้ค่า  $x=0.6-0.7$  (TM60-TM70) เป็นแร่ประกอบในตัวอย่างหิน (Lipka และคณะ, 1988) ข้อมูลรังสีเอกซ์เรย์ (ตารางที่ 3.3) แสดงปริมาณ Ti ในหินตัวอย่าง S8 เท่ากับ 2.57% โดยปรกฏ Ti และ Fe อยู่ในผลึกแร่เดียวกันนี้ยังนับการปรกฏของแร่ไททาโนแมกนีไทต์ ในระหว่างการเย็นตัวค่า  $k$  เพิ่มสูงขึ้นที่อุณหภูมิครึ่งของแร่แมกนีไทต์ ( $\text{Fe}_3\text{O}_4$ ) ประมาณ 550 °C โดยค่า  $k$  ตลอดช่วงการเย็นตัวจะมีค่าสูงกว่าค่าตั้งต้น แสดงว่าแร่ไททาโนแมกนีไทต์เกิดการออกซิเดชันไปเป็นแร่แมกนีไทต์

สรุปแหล่งหินบะชอลต์อุบราชานี-ศรีสะเกย แสดงสมบัติของแร่ Ti-rich ไททาโนแมกนีไทต์ TM60-TM70 เป็นแร่เฟอร์โรแมกนีติกหลักในหินบะชอลต์ และเป็นแหล่งหินบะชอลต์ที่มีประวัติที่สัมพันธ์กับแร่พลอย

### 3.2.5 ตัวอย่างหิน bazolith จากเด่นชัย (DC)

ตัวอย่างหิน bazolith จากอำเภอเด่นชัย มีค่า  $k_m$  น้อยสุดที่ site N3 ( $2063 \times 10^{-6}$  SI) และมีค่ามากสุดที่ site N1 ( $20110 \times 10^{-6}$  SI) และมีการกระจายตัวของค่า  $k$  ใน site N1 และ N2 ใกล้เคียงกัน ซึ่งต่างจาก site N3, N4 และ N5 ที่กระจายตัวใกล้เคียงกัน ในส่วนของค่าเฉลี่ย NRM ของตัวอย่างหินจากเด่นชัย มีค่าอยู่ระหว่าง 1136.7 ถึง  $5372.0$  mA/m ตัวอย่างหินทั้งหมดแสดงค่า Q-value ที่มากกว่าศูนย์ โดยเฉพาะตัวอย่างหินจาก site N3 ที่มีค่าเฉลี่ยสูงถึง 65.10 ซึ่งต่างจาก site อื่นๆ ที่มีค่าอยู่ระหว่าง 2.44 ถึง 17.00 (ภาพประกอบ 3.2) อย่างไรก็ตามตัวอย่างทั้งหมดก็แสดงให้เห็นถึงความมีเสถียรภาพทางแม่เหล็กที่สูงเหมือนกัน Bhongsuwan and Elming (2000) ได้เก็บตัวอย่างจากแหล่งหิน bazolith เด่นชัยจำนวน 7 sites พบร่วมค่า  $k_m$  อยู่ในช่วง  $3705$  ถึง  $25734$  ( $\times 10^{-6}$  SI) ซึ่งเกิดจากแร่แม่เหล็กที่เป็นแร่ประกอบในตัวอย่างหินที่ต่างกัน ส่วนค่า NRM ของตัวอย่างหินเด่นชัยมีค่าอยู่ระหว่าง 494 ถึง  $4188$  mA/m และค่า Q-value ส่วนใหญ่ก็แสดงถึงความมีเสถียรภาพทางแม่เหล็กที่สูงเช่นกัน

ในส่วนของความสัมพันธ์ระหว่างค่า  $P_{j-T}$  ของตัวอย่างหิน bazolith จากเด่นชัย ส่วนใหญ่แสดงค่าเฉลี่ย  $P_j$  อยู่ในช่วง 1-5% สูงกว่าหิน bazolith จากน้ำราชาสีมา บุรีรัมย์และสุรินทร์เล็กน้อย ส่วนลักษณะของทรงรีของ AMS ตัวอย่างส่วนใหญ่จาก site N2, N3 และ N5 มีค่า 0.234, 0.586 และ 0.763 ตามลำดับ และแสดงลักษณะทรงรีแบบแบนที่ข้าว (oblate ellipsoid) ขณะที่ตัวอย่างจาก site N1 และ N4 และแสดงลักษณะทรงรีของ AMS แบบยาวรี (prolate ellipsoid) ด้วยค่า  $T$  เท่ากับ -0.014 และ -0.438 ทิศทางทรงรี AMS ของหิน bazolith เด่นชัย จาก site N2, N3 และ N4 และแสดงลักษณะเฉพาะแบบสูม (ภาพประกอบ 3.9) ตัวอย่างจาก site N1 และแสดงลักษณะเฉพาะแบบ 3 แกน โดยทิศทางของแกนหลักของค่า  $k$  จับกลุ่มกันไม่ค่อยเด่นนัก ทิศทางเฉลี่ยของ  $k_{max}$  อยู่ในแนว NE-SW ขณะที่  $k_{min}$  จับกลุ่มกันเกือบทั้งหมดกับแนวราบ และทิศทางการไหลของ lava ในทิศ NE-SW และเกือบหนานไปกับแนวราบ คาดว่านาจะอยู่ไม่ห่างจากบริเวณปล่องศูนย์กลาง ส่วนตัวอย่างจาก site N5 และแสดงลักษณะแยกแจงแบบ girdle โดย  $k_{max}$  และ  $k_{int}$  ผสมกันแต่ไม่ค่อยเด่นนัก ขณะที่  $k_{min}$  จับกลุ่มกันอย่างดีโดยมีขอบเขตวงรีที่แสดงระดับความเชื่อมั่น 95% ที่ไม่โตามากนัก ซึ่งไปในแนว NW-SE และทำมุมประมาณ 60 องศากับแนวราบ และแสดงลักษณะการไหลของ lava ไม่ไกลจากบริเวณปล่อง lava มากนัก (ภาพประกอบ 3.16)

ตัวอย่างหินจากเด่นชัย site N5 พบร่วมค่าความเข้มของแมกนีไทเซ็นตอกค้างลดลงครึ่งหนึ่ง (MDF) เมื่อทำการลบล้างด้วยวิธี AF ที่สานามแม่เหล็กสูงประมาณ  $25-30$  mT ซึ่งถือว่ามีค่า coercivity (Hc) ในระดับปานกลางถึงสูงและยังคงเหลือความเข้มของแมกนีไทเซ็นตอกค้างอีก 10% แม้จะใช้สานามแม่เหล็กที่  $60$  mT แล้วก็ตาม (ภาพประกอบ 3.20) ซึ่งสอดคล้องกับค่า Q-value จาก

ตัวอย่าง site N5 คือมีค่า Q-value เท่ากับ 4.96 ที่มีค่าสูงจึงทำให้มีเสถียรภาพทางแม่เหล็กสูง เช่นกัน โดยแสดงถึงลักษณะของ โอดเมนแม่เหล็กแบบ โอดเมนเดี่ยว (SD) หรือแบบ โอดเมนเดี่ยวเทียม (PSD) และจากรายงานของ Bhongsuwan and Elming (2000) ได้ทำการลองล้างความเข้มของแมgnีไทเทชั้นตกลักของตัวอย่างหินบะซอลต์เด่นชัด พบร่วมมีค่า MDF ประมาณ 20-40 mT แสดงถึงลักษณะของ โอดเมนแม่เหล็กแบบ โอดเมนเดี่ยวเทียม (PSD)

จากการทดสอบ thermo-magnetic ของชิ้นตัวอย่างหินจาก site N3 และ N4 พบร่วมค่าสภาพร้อนไว้ได้ทางแม่เหล็กจะค่อยๆลดลงที่อุณหภูมิประมาณ 150-300 °C และจะลดลงอีกช่วงหนึ่งที่อุณหภูมิประมาณ 580 °C (ภาพประกอบ 3.19) ซึ่งทำให้คาดว่าแร่แม่เหล็กที่เป็นแร่ประกอบในตัวอย่างหินน่าจะมีแร่ Ti-rich ไททาโนแมgnีไทต์ (TM50-TM60) และแร่แมgnีไทต์ (O'Reilly, 1984) และจากภาพรังสีเอกซ์แสดงการปรากฏของธาตุ Fe และ Ti ในผลึกแร่เดียวกัน ข้อมูลรังสีเอกซ์เรือง (ตารางที่ 3.3) แสดงบริมาณ Ti ในหินตัวอย่างจาก site N3 และ N4 เท่ากับ 3.25 และ 2.70 ตามลำดับ นอกจากนี้ในภาพระหว่างการเย็บตัวหินค่า  $k_m$  มีการเปลี่ยนแปลงโดยเพิ่มสูงขึ้นที่ อุณหภูมิครึ่องแร่แมgnีไทต์ ( $\text{Fe}_3\text{O}_4$ ) ประมาณ 550 °C โดยค่า  $k_m$  ตลอดช่วงการเย็บตัวมีค่าสูงกว่าค่าตั้งต้น แสดงว่าแร่ไททาโนแมgnีไทต์เกิดการออกซิเดชันไปเป็นแร่แมgnีไทต์

สรุปแหล่งหินบะซอลต์เด่นชัด แสดงสมบัติของแร่ Ti-rich ไททาโนแมgnีไทต์ TM50-TM60 เป็นแร่เฟอร์โรแมgnีติกหลักในหินบะซอลต์และเป็นแหล่งหินบะซอลต์ที่มีประวัติที่สัมพันธ์กับแร่พลอย

### 3.2.6 ตัวอย่างหินบะซอลต์จากวิเชียรบุรี (WB)

ค่าเฉลี่ย  $k_m$  จากทั้ง 3 site คือ N6, N7 และ N8 มีค่าเป็น 3850.0, 20750.0 และ 27810.0 ( $\times 10^{-6}$  SI) ตามลำดับ และค่าเฉลี่ยของค่าความหนาแน่น NRM จาก site N6 (3605.0 mA/m) มีค่าสูงกว่า site N7 และ N8 (820.3 และ 633.0 mA/m) ในส่วนของค่าเฉลี่ย Q-value แสดงถึงความแตกต่างกันอย่างชัดเจน โดยใน site N6 ตัวอย่างหินทั้งหมดมีค่าที่มากกว่าหนึ่ง (Q-value=23.41) ซึ่งแสดงถึงเสถียรภาพทางแม่เหล็กมีอยู่สูง ส่วนในตัวอย่างหินบะซอลต์จาก site N7 และ N8 มีค่า 0.99 และ 0.57 ซึ่งแสดงถึงความมีเสถียรภาพทางแม่เหล็กต่ำ จากรายงานของ Bhongsuwan and Elming (2000) ได้แสดงค่า NRM ของตัวอย่างหินบะซอลต์วิเชียรบุรีมีค่า 417 mA/m ส่วนค่า Q-value มีค่าน้อยเช่นกันคือมีค่า 0.4 และค่า  $k_m$  มีค่า  $32990 \times 10^{-6}$  SI

ส่วนกราฟ  $P_j-T$  ของตัวอย่างหินบะซอลต์จากวิเชียรบุรี แสดงค่าเฉลี่ย  $P_j$  ของตัวอย่างหินจาก site N6, N7 และ N8 มีค่า 1.016, 1.030 และ 1.054 ตามลำดับ แสดงค่า AMS ปานกลาง 2–5 % ใกล้เคียงกับหินบะซอลต์เด่นชัด ส่วนค่า shape factor T เฉลี่ยของกลุ่มตัวอย่างจาก site

N6 และ N7 มีค่า 0.361 และ 0.241 แสดงลักษณะทรงรีของ AMS แบบแบบที่ขี้ว้า ( $T>0$ , oblate ellipsoid) ขณะที่ตัวอย่างจาก site N8 มีค่า - 0.014 แสดงลักษณะทรงรีแบบยาวๆ ( $T<0$ , prolate ellipsoid) ทิศทางทรงรี AMS ของหิน bazaltic ชีบีรบูรี (ภาพประกอบ 3.5) จาก site N6 แสดงลักษณะเฉพาะแบบสุ่ม ในขณะที่ตัวอย่างจาก site N7 แสดงลักษณะแจกแจงแบบ girdle โดย  $k_{\max}$  และ  $k_{\min}$  ผสมกันแต่ไม่ค่อยดีนักอยู่ในแนวเหนือ-ใต้ ขณะที่ทิศทาง  $k_{\min}$  จับกลุ่มกันอย่างดีชี้ไปในแนวตะวันออก-ตะวันตก และทำมุนกันแนวราบเล็กน้อย แสดงลักษณะการไหลของ lava ในแนวเหนือ-ใต้ ไม่ไกลจากบริเวณปล่องลาวามากนัก ส่วนตัวอย่างจาก site N8 แสดงลักษณะเฉพาะแบบ 3 แกน โดยทิศทางของแกนหลักของค่า  $k$  จับกลุ่มกันอย่างดีโดยมีขอบเขตวงรีที่แสดงระดับความเชื่อมั่น 95% ที่ไม่ตมากนัก ทิศทาง  $k_{\max}$  ชี้ไปในแนวตะวันออกเฉียงเหนือ-ตะวันตกเฉียงใต้ และทำมุนกันแนวราบประมาณ 40 องศา แสดงลักษณะการไหลของ lava ในแนวตะวันออกเฉียงเหนือ-ตะวันตกเฉียงใต้ ไม่ไกลจากบริเวณปล่องลาวามากนัก (ภาพประกอบ 3.17)

เมื่อทำการลบล้างตัวอย่างหิน site N6 ด้วยวิธี AF พบร่วมกันของแมgnite ไฟเซชันต่ำคงคล่องได้ 50% (MDF) ที่สานามแม่เหล็กสูงประมาณ 20-25 mT ซึ่งถือว่ามีค่า coercivity ( $H_c$ ) ในระดับปานกลางถึงสูง (ภาพประกอบ 3.20) ซึ่งสอดคล้องกับค่า Q-value จากตัวอย่างหิน site N6 ที่มีค่า Q-value เท่ากับ 23.41 แสดงถึงความมีเสถียรภาพทางแม่เหล็กสูง จากรายงานของ Bhongsuwan and Elming (2000) ได้ทำการลบล้างความเข้มของแมgnite ไฟเซชันต่ำของตัวอย่างหิน bazaltic ชีบีรบูรี พบร่วมค่า MDF ประมาณ 15-40 mT แสดงถึงลักษณะของโดเมนแม่เหล็กแบบโดเมนเดี่ยว (SD) หรือโดเมนเดี่ยวเทียน (PSD) ขึ้นตัวอย่างหินจาก site N7 เมื่อนำมาทำการทดสอบ thermo-magnetic ปรากฏว่าค่าสภาพรับไว้ได้ทางแม่เหล็กมีการลดลงสองช่วงคือลดลงที่อุณหภูมิประมาณ  $100-300^{\circ}\text{C}$  ซึ่งทำให้คาดว่าจะมีแร่ Ti-rich ไททาโนแมgnite ไฟต์ (ภาพประกอบ 3.19) ข้อมูลดังกล่าวชี้ว่าแร่เฟอร์โรแมgnenitik ที่ประกอบในตัวอย่างหิน เป็นแร่ไททาโนแมgnite ไฟต์ TM50-TM60 นอกจากนี้การเย็นตัวของหินค่า  $k$  มีการเปลี่ยนแปลงโดยเพิ่มสูงขึ้นที่อุณหภูมิคูรีของแร่แมgnite ไฟต์ ( $\text{Fe}_3\text{O}_4$ ) ประมาณ  $580^{\circ}\text{C}$  โดยค่า  $k$  ลดลงช่วงการเย็นตัวจะมีค่าสูงกว่าค่าตั้งต้น แสดงว่าแร่ไททาโนแมgnite ไฟต์เกิดการออกซิเดชันไปเป็นแร่แมgnite ไฟต์ ในขณะที่ตัวอย่างหินจาก site N8 ปรากฏว่าค่า  $k$  ค่อนข้างคงที่จากอุณหภูมิห้องไปจนถึงค่าสูงสุดที่อุณหภูมิประมาณ  $550^{\circ}\text{C}$  และลดลงอย่างรวดเร็วจนถึงค่าต่ำสุดที่อุณหภูมิประมาณ  $580^{\circ}\text{C}$  ซึ่งเป็นอุณหภูมิคูรีของแร่แมgnite ไฟต์ ( $\text{Fe}_3\text{O}_4$ ) (ภาพประกอบ 3.19) ข้อมูลดังกล่าวชี้ว่าแร่แมgnite ไฟต์เป็นแร่เฟอร์โรแมgnenitikหลักในตัวอย่างหินจาก site N8

สรุปแหล่งหิน bazaltic ที่เชี่ยวบุรี แสดงสมบัติของแร่ Ti-rich ไททาโนแมกนีไทต์ TM50-TM60 และแร่แมกนีไทต์เป็นแร่เฟอร์โรแมกเนติกหลักในหิน bazaltic หิน bazaltic ที่เชี่ยวบุรี เป็นแหล่งหนึ่งที่มีประวัติสัมพันธ์กับแร่พลอย

### 3.2.7 ตัวอย่างหิน bazaltic จากบ่อพลอย (BP)

ค่าเฉลี่ยแมกนีไทเซชันคงค้างธรรมชาติของตัวอย่างหินจากบ่อพลอย site N14 และ N15 มีค่า 6704.0 และ 12572.0 mA/m ตามลำดับ และค่าสภาพรับไว้ได้ทางแม่เหล็กเฉลี่ย ( $k_m$ ) ของตัวอย่างหินนั้นมีค่า 46540 และ 52960 ( $\times 10^{-6}$  SI) ซึ่งเฉลี่ยแล้วค่า  $k$  จากแหล่งหิน bazaltic บ่อพลอยมีค่าสูงกว่าแหล่งหินบริเวณอื่นๆ Bascou และคณะ (2005) รายงานค่า  $k$  ในช่วง  $20000 \times 10^{-6}$  SI ถึง  $40000 \times 10^{-6}$  SI จากหิน bazaltic ทางตอนใต้ของฝรั่งเศส โดยปรากฏว่ามีแร่ไททาโนแมกนีไทต์เป็นแร่ประกอบในตัวอย่างหิน เช่นกัน ในส่วนของค่า Q-value ตัวอย่างหิน bazaltic บ่อพลอยทั้งหมดแสดงค่าที่สูง โดยมีค่า 3.60 และ 5.93 แสดงให้เห็นถึงความมีเสถียรภาพทางแม่เหล็กที่สูง เช่นกัน (ภาพประกอบ 3.2)

ตัวอย่างหิน bazaltic จาก site N14 และ N15 มีค่าเฉลี่ย  $P_j$  เท่ากับ 1.017 และ 1.056 แสดงค่า AMS ปานกลาง 2 - 6% ใกล้เคียงกันกับหิน bazaltic อุบราชาโน-ศรีสะเกษ ค่า shape factor T เฉลี่ยของกลุ่มตัวอย่างมีค่า -0.120 และ -0.317 ตามลำดับ แสดงลักษณะทรงรีของ AMS แบบยาวยี (prolate ellipsoid,  $T < 0$ ) ทิศทางทรงรีของ AMS ของตัวอย่างจาก site N14 แสดงลักษณะเฉพาะแบบสุ่ม (ภาพประกอบ 3.10) ในขณะที่ตัวอย่างจาก site N15 แสดงลักษณะเฉพาะแบบ 3 แกน โดยทิศทางของแกนหลักของค่า  $k$  จับกลุ่มกันอย่างดีโดยมีขอบเขตว่าที่แสดงระดับความเชื่อมั่น 95% ที่ไม่โตมากนัก โดย  $k_{\min}$  และ  $k_{\max}$  แสดงลักษณะแยกแจงแบบ girdle ผสมกันแต่ไม่ค่อยเด่น กะบะที่  $k_{\max}$  จับกลุ่มกันอย่างดีซึ่งไปในแนวตะวันออกเฉียงเหนือ-ตะวันตกเฉียงใต้ และทำมุนกับแนวราวนเล็กน้อย แสดงลักษณะการไหลของ lava ออกจากบริเวณปล่อง lava โดย lava ไหลไปในทิศทาง NE-SW (ภาพประกอบ 3.18)

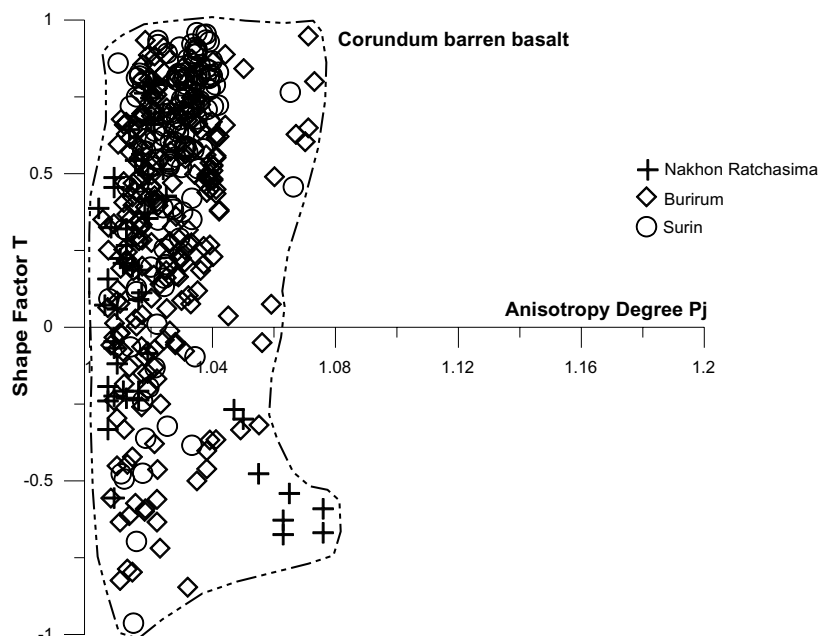
ขั้นตัวอย่างหินจากบ่อพลอยเกือบทั้งหมด มีค่า coercivity ( $H_c$ ) ในระดับที่ต่ำเมื่อทำการลองล้างด้วยวิธี AF โดยพบว่าสามารถลองล้างความเข้มของแมกนีไทเซชันคงค้างได้ครึ่งหนึ่ง ที่สามารถแม่เหล็กประมาณ 5-10 mT และเมื่อใช้สนามแม่เหล็กประมาณ 25 mT ก็สามารถลองล้างแมกนีไทเซชันคงค้างได้เกือบหมดคือลองล้างได้ประมาณ 95% และเหลืออีกเพียงประมาณ 5% (ภาพประกอบ 3.20) จากการลองล้างความเข้มของแมกนีไทเซชันคงค้าง ( $MDF=5$  mT) และถึงลักษณะของโอดิเมนแม่เหล็กแบบหลายโอดิเมน (MD) และเมื่อนำตัวอย่างหินจาก site N15 มาทำการทดสอบ thermo-magnetic ปรากฏว่าค่าสภาพรับไว้ได้ทางแม่เหล็กจะลดลงอย่างรวดเร็วที่อุณหภูมิ

ประมาณ 200-250 °C และจะคงที่ไปตลอด (ภาพประกอบ 3.19) และจากภาพรังสีเอกซ์แสดงการปรากฏของชาตุ Ti และ Fe ในผลึกเดียวกัน (ภาพประกอบ 3.27) ซึ่งจากอุณหภูมิครึ่งประมาณ 200-250 °C นี้น่าจะมีแร่ Ti-rich ไททาโนแมกนีไทต์ ( $\text{Fe}_{3-x} \text{Ti}_x \text{O}_4$ ) TM50-TM60 เป็นแร่ประกอบในตัวอย่างหิน ส่วนตัวอย่างหินจาก site N14 ปรากฏว่าค่า k ลดลงอย่างรวดเร็วที่อุณหภูมิประมาณ 150-200 °C และจากภาพรังสีเอกซ์แสดงการปรากฏของชาตุ Ti และ Fe ในผลึกเดียวกันแต่มีปริมาณเล็กน้อยกว่า site N15 ข้อมูลดังกล่าวชี้ว่าแร่เฟอร์โรแมกเนติกที่ประกอบในตัวอย่างหินเป็นแร่ Ti-rich ไททาโนแมกนีไทต์ TM60-TM70 และจากข้อมูลรังสีเอกซ์เรือง (ตารางที่ 3.3) แสดงปริมาณชาตุ Ti ในหิน bazalt ตั้งแต่ site N14 และ N15 เท่ากัน 1.72% และ 1.77% ตามลำดับ นอกจากนี้ในกราฟระหว่างการเย็บตัวของหินจาก site N14 ค่า k มีการเปลี่ยนแปลงโดยเพิ่มสูงขึ้นที่อุณหภูมิครึ่งของแร่แมกนีไทต์ ( $\text{Fe}_3\text{O}_4$ ) ประมาณ 580 °C โดยค่า k ลดลงช่วงการเย็บตัวจะมีค่าสูงกว่าค่าตั้งต้น แสดงว่าแร่ไททาโนแมกนีไทต์เกิดการออกซิเดชันไปเป็นแร่แมกนีไทต์

สรุปแหล่งหิน bazalt บ่อพลอย แสดงสมบัติของแร่ Ti-rich ไททาโนแมกนีไทต์ TM60 เป็นแร่เฟอร์โรแมกเนติกหลักในหิน bazalt หิน bazalt บ่อพลอยเป็นแหล่งหนึ่งที่มีปริมาณส้มพันธุ์กับแร่พลอย โดยมีแหล่งแร่พลอยขนาดใหญ่และมีผลผลิตพลอยปริมาณมาก

### 3.3 ผลการวิเคราะห์ค่าพารามิเตอร์แอนไฮโซทรอปีของหิน bazalt ที่ศึกษา

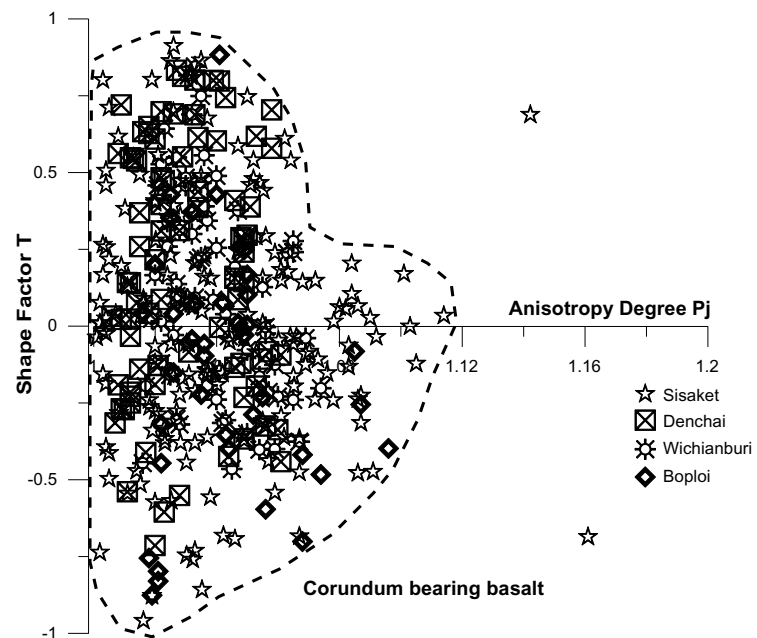
จากภาพประกอบ 3.29 แสดงค่าพารามิเตอร์แอนไฮโซทรอปี  $Pj-T$  ของตัวอย่างหิน bazalt ที่ไม่สัมพันธ์กับแหล่งพلوย โดยชื่นตัวอย่างจะมีค่า  $Pj$  ที่น้อยกว่า 1.06 หรือน้อยกว่า 6% ในช่วงที่มีค่า shape factor  $T$  อยู่ระหว่าง -0.5 ถึง +0.5 และมีไม่เกิน 1 ตัวอย่างที่มีค่า  $Pj$  ที่มากกว่า 1.06 ในช่วงที่มีค่า  $T>0.5$  และ  $T<-0.5$



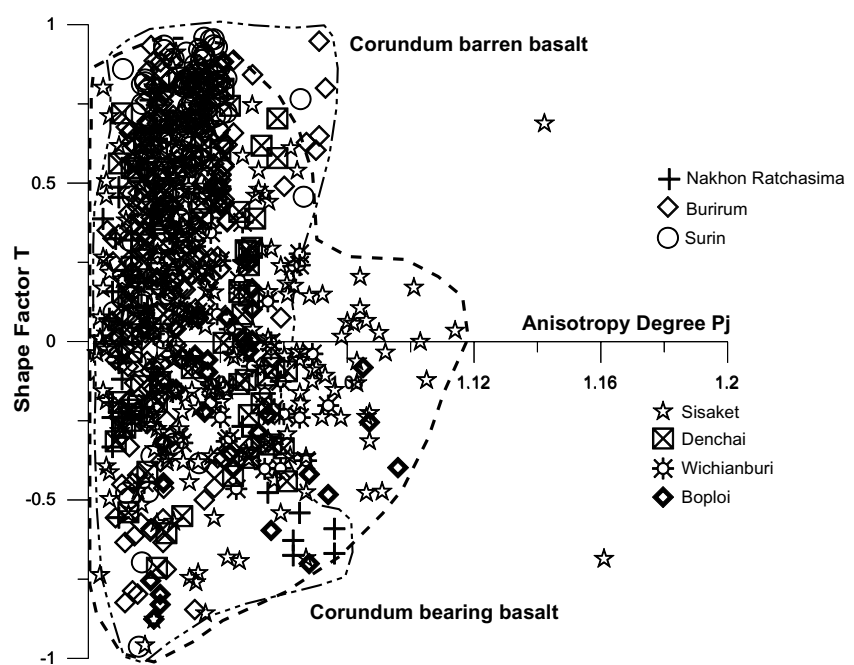
ภาพประกอบ 3.29 ค่า  $Pj-T$  ของตัวอย่างหิน bazalt ที่ไม่สัมพันธ์กับแหล่งพلوย

ส่วนตัวอย่างหิน bazalt ที่ไม่สัมพันธ์กับแหล่งพلوย (ภาพประกอบ 3.30) จะเห็นว่าแม้ชื่นตัวอย่างจะมีค่า shape factor  $T$  อยู่ในช่วง -0.5 ถึง +0.5 แต่อาจจะมีค่า  $Pj$  สูงถึง 1.12 นั่นคือมีสภาพแอนไฮโซทรอปีสูงถึง 12% ทำให้เชื่อได้ว่า เกิดจากการที่ในหิน bazalt ตัวอย่างมีเศษชิ้นหินแปลกลлом (Xenolith) ซึ่งเป็นหินที่กำเนิดจากระดับลึกปะปนอยู่ เช่น เศษหินแปลกลломจากชั้นแม่นเทิล ซึ่งเคลื่อนย้ายในระดับลึกและมีความดันสูงมากในชั้นแม่นเทิลมาก่อน โดยมีรายงานการพบเศษชิ้นหินแปลกลломจากชั้นแม่นเทิลในหิน bazalt ที่สัมพันธ์กับพلوยในหลายแหล่ง (สุพร อินทโสภา , 2542; Guo และคณะ, 1994) จึงทำให้ชิ้นหินตัวอย่างดังกล่าวมีค่า  $Pj$  ที่ค่อนข้างสูง

อย่างไรก็ตามค่า  $Pj-T$  ของตัวอย่างหินส่วนใหญ่ยังคงซ้อนกันอยู่ในพื้นที่เดียวกัน (ภาพประกอบ 3.31)



ภาพประกอบ 3.30 ค่า  $P_j$ - $T$  ของตัวอย่างหิน bazalt ที่ส้มพันธุ์กับแหล่งพลอย



ภาพประกอบ 3.31 แสดงการเปรียบเทียบ ค่า  $P_j$ - $T$  ของตัวอย่างหิน bazalt ที่คาดว่าจะให้พลอย (เส้นประหนา) กับไม่ให้พลอย (เส้นประบาง)

## บทที่ 4

### สรุปผล

#### 4.1 สรุปผล

การศึกษาวิจัยครั้งนี้มีวัตถุประสงค์เพื่อศึกษาและวิเคราะห์สมบัติทางแม่เหล็กของหิน bazalt ในบางแห่งของประเทศไทย ที่คาดว่าจะมีความสัมพันธ์กับการเกิดของพลอยในประเทศไทย โดยได้ทำการเก็บตัวอย่างหิน bazalt ยุคชีโนโซิกจาก 32 จุดเก็บตัวอย่าง ในบริเวณอำเภอโขชัยและอำเภอหนองบูน Nagar จังหวัดนครราชสีมา อำเภอเฉลิมพระเกียรติและอำเภอเมือง จังหวัดบุรีรัมย์ อำเภอปราสาทและอำเภอเมือง จังหวัดสุรินทร์ อำเภอโนนไทยและอำเภอโนนสูน จังหวัดอุบลราชธานี อำเภอภักดีภักดี จังหวัดศรีสะเกษ อำเภอเด่นชัย จังหวัดแพร่ อำเภอวิเชียรบุรี จังหวัดเพชรบูรณ์ และอำเภอป่าพลอย จังหวัดกาญจนบุรี โดยทำการทดสอบสมบัติทางแม่เหล็กของตัวอย่างหินได้แก่ ค่าสภาพรับไว้ได้ทางแม่เหล็ก ค่าแมgneti ไฟเซ็นต์ก้ามธรรมชาติ ค่า Q-value และพารามิตเตอร์ของแอนไฮดรอปีของค่าสภาพรับไว้ได้ทางแม่เหล็ก ทำการวิเคราะห์เกี่ยวกับแร่แม่เหล็กที่เป็นแร่ประกอบในหินได้แก่ การทดสอบอุณหภูมิที่มีผลต่อค่าสภาพรับไว้ได้ทางแม่เหล็ก การทดสอบการลบล้างอำนาจแม่เหล็กด้วยวิธีการลบล้างในสنانามแม่เหล็กแบบกระแสลับ ทำการวิเคราะห์หาธาตุประกอบด้วยกล้องจุลทรรศน์อิเล็กตรอนแบบส่องกราด ร่วมกับเครื่องเรืองรังสีเอกซ์แบบกระจายพลังงานเพื่อหาธาตุประกอบในตัวอย่างหิน

ผลการวิเคราะห์พบว่า ตัวอย่างหินส่วนใหญ่ให้ค่าสภาพรับไว้ได้ทางแม่เหล็กสูง ในระดับ  $10^{-3}$  SI และมีช่วงของการกระจายของค่าดังกล่าวที่ต่างกัน เช่น ตัวอย่าง ในบริเวณจังหวัดบุรีรัมย์ จังหวัดสุรินทร์ และในอำเภอป่าพลอย มีช่วงของการกระจายที่แคบ แสดงถึงปริมาณกลุ่มแร่ที่เป็นแร่ประกอบในหินมีความสม่ำเสมอ ต่างจากตัวอย่างในแหล่งอื่นๆ ที่มีการกระจายของค่าที่กว้าง แสดงถึงความไม่สม่ำเสมอของปริมาณกลุ่มแร่ที่เป็นแร่ประกอบในหิน bazalt ส่วนค่าแมgneti ไฟเซ็นต์ก้ามธรรมชาติของตัวอย่างหินที่มีค่าสูง เช่นเดียวกัน ซึ่งสอดคล้องกับค่า Q-value โดยพบว่า บริเวณที่มีค่าแมgneti ไฟเซ็นต์ก้ามธรรมชาติสูงก็จะให้ค่า Q-value ที่สูง เช่นเดียวกัน ซึ่งค่านี้จะส่งผลถึงความมีเสถียรภาพทางแม่เหล็ก (stability of NRM) โดยตัวอย่างหินส่วนใหญ่มีเสถียรภาพทางแม่เหล็กสูง จึงเป็นไปได้ว่าหินสามารถรักษาแมgneti ไฟเซ็นต์ก้ามธรรมชาติไว้ได้

ผลการวิเคราะห์เกี่ยวกับแร่แม่เหล็กที่เป็นแร่ประกอบในหิน พบว่า กลุ่มแร่เฟอร์โรแมกเนติกในตัวอย่างหินโดยส่วนใหญ่ มีแร่แมgneti ไฟต์และแร่ไททาโนแมgneti ไฟต์เป็นองค์ประกอบหลัก โดยตัวอย่างหินในจังหวัดบุรีรัมย์และจังหวัดสุรินทร์ มีแร่แมgneti ไฟต์เป็นแร่แม่เหล็กใน

ตัวอย่างหิน ส่วนตัวอย่างหินในแหล่งอื่นๆ เช่น ตัวอย่างหิน ในจังหวัดครราชสีมาและอำเภอวิเชียรบุรี มีแร่ Ti-rich ไททาโนแมกนีไทต์และแร่แมกนีไทต์เป็นแร่แม่เหล็กในตัวอย่างหิน ส่วน ตัวอย่างหินจากจังหวัดอุบลราชธานี-ศรีสะเกษ จากอำเภอเด่นชัย และตัวอย่างหินในอำเภอป่าพลอยมีแร่ Ti-rich ไททาโนแมกนีไทต์ ( $\text{Fe}_{3-x} \text{Ti}_x \text{O}_4$ ) ( $x$  ประมาณ 0.5-0.6) เป็นแร่แม่เหล็กในตัวอย่างหิน ส่วนขนาดของโดเมนแม่เหล็กนั้น ตัวอย่างหินจากจังหวัดอุบลราชธานี-ศรีสะเกษและอำเภอป่าพลอยแสดงลักษณะ โดเมนแม่เหล็กแบบหลาຍ โดเมน (MD) ส่วนตัวอย่างหินจากแหล่งอื่นๆ แสดงลักษณะ โดเมนแม่เหล็กแบบ โดเมนเดี่ยว (SD) หรือแบบ โดเมนเดี่ยวเทียม (PSD) นอกจากนี้ขนาดของ โดเมนแม่เหล็กนั้นยังสัมพันธ์กับค่า coercivity (Hc) อิกดวย โดย โดเมนแม่เหล็กแบบ SD/PSD จะมีค่า coercivity (Hc) ในระดับปานกลางถึงสูง ส่วน โดเมนแม่เหล็กแบบ MD จะมีค่า coercivity (Hc) ในระดับต่ำ ส่วนค่าพารามิเตอร์แอน ไอโซทรอปี Pj-T ของตัวอย่างหิน bazalt แหล่งต่างๆ ที่ไม่เคยมีประวัติสัมพันธ์กับพลอยจะมีค่า Pj ที่น้อยกว่า 1.06 หรือมากกว่า 6% ส่วนตัวอย่างหินที่เคยมีประวัติสัมพันธ์กับแหล่งพลอยจะมีค่า Pj สูงถึง 1.12 หรือมีสภาพแอน ไอโซทรอปีสูงถึง 12% เกิดจากการที่ในหิน bazalt ตัวอย่างมีเศษชิ้นหินแบกปูน (Xenolith) ที่เคลื่อนย้ายในระดับลึก และมีความดันสูงจากชั้นแม่นเทลลิปะปูนอยู่ โดยในหิน bazalt ที่สัมพันธ์กับแหล่งพ ลอยในหลาຍ แหล่งของประเทศไทยมักพบเศษชิ้นหินแบกปูนปะปูนอยู่

จากผลของการเร่ร่อนแม่เหล็กประกอบในตัวอย่างหินและผลของการค่าพารามิเตอร์แอน ไอโซทรอปี แสดงให้เห็นว่าตัวอย่างหินที่มีแร่ Ti-rich ไททาโนแมกนีไทต์ ( $\text{Fe}_{3-x} \text{Ti}_x \text{O}_4$ ) (TM60) (Lipka และคณะ, 1988; Tugui และคณะ, 2009) เป็นแร่แม่เหล็กในตัวอย่างหิน และมีค่า Pj ค่อนข้างสูง คาดว่าจะเป็นตัวอย่างหิน bazalt ที่มีความสัมพันธ์กับการดำเนินดของพลอยในประเทศไทย

## บรรณานุกรม

- กรมทรัพยากรธรณี, 2550. ธรณีวิทยาประเทศไทย. พิมพ์ครั้งที่ 2 ฉบับปรับปรุง. โดยกรมทรัพยากรธรณี กรุงเทพ : กรมทรัพยากรธรณี กระทรวงทรัพยากรธรรมชาติและสิ่งแวดล้อม , 628 หน้า.
- จักรพันธ์ สุทธิรัตน์ , 2537. ศิลามีของหินบะชอลต์บริเวณอำเภอสบป่าวนและอำเภอเกาะ ค่าจังหวัดลำปาง . วิทยานิพนธ์ วิทยาศาสตรมหาบัณฑิต สาขาวิชารณีวิทยา , จุฬาลงกรณ์มหาวิทยาลัย, 158 หน้า.
- ธนวุฒิ ศรีนานวิน , 2524. สภาพธรณีเคมีและการดำเนินดของหินบะชอลต์ซึ่งเป็นแหล่งแร่ต้นชาติ ในบริเวณจังหวัดจันทบุรี-ตราด: การค้นคว้าแบบอิสระเชิงวิทยานิพนธ์ . ปริญญาวิทยาศาสตรมหาบัณฑิต สาขาวิชารณีวิทยา, มหาวิทยาลัยเชียงใหม่, 87 หน้า.
- ต่อศักดิ์ ประสมทรัพย์ , 2548. ศิลารรณาและโครงสร้างของหินบะชอลต์ในประเทศไทย . กองวิเคราะห์และตรวจสอบทรัพยากรธรณี, กรมทรัพยากรธรณี, 51 หน้า.
- นิคม จึงอยู่สุข และ ธนวุฒิ ศรีนานวิน , 2525. ศิลารรณาและธรณีเคมีของหินบะชอลต์ในที่ราบสูงโกรrazz บริเวณภาคตะวันออกเฉียงเหนือของประเทศไทย . กองธรณีวิทยา กรมทรัพยากรธรณี, 88 หน้า.
- พงศ์ศักดิ์ วิชิต , 2531. แหล่งพลอยทับทิม- แซปไฟร์ในประเทศไทย . ฝ่ายเผยแพร่และประชาสัมพันธ์ กองเศรษฐกิจและเผยแพร่, กรมทรัพยากรธรณี, 78 หน้า.
- โพยม อรัณยakanan , 2531. แหล่งพลอยอำเภอป่าพลอย จังหวัดกาญจนบุรี : ฐานเศรษฐกิจฉบับพิเศษ, เดือนธันวาคม 2531, หน้า 25-37.
- ไพรัช ศุภธารณี , พัชรัช จริยาวัฒน์ และ สุรพล อุดมพรวิรัตน์ , 2533. การสำรวจธรณีวิทยาหินบะชอลต์และแนวโน้มของศักยภาพของพลอยทับทิม- แซปไฟร์ บริเวณ นาพนมรุ้ง ภูพระอังค์ เขากระโอง เขาไปรบด จังหวัดนburimy และเขาพนมสวาย จังหวัดสุรินทร์ . กองเศรษฐกิจธรณีวิทยา กรมทรัพยากรธรณี, 31 หน้า.
- สุพร อินทโสกha , 2544. การดำเนินดพลอยทับทิมและแซปไฟร์ . เอกสารประกอบการสัมมนาเรื่อง “พลอยมาดากัสการ์ : นิมิตใหม่ของผู้ประกอบการไทย”, 15 กุมภาพันธ์ 2544 , กรมทรัพยากรธรณี, กรุงเทพฯ, หน้า 23-32.
- อภิเชษฐ์ บุญสูง , 2540. ธรณีเคมีและศิลารวิทยาของหินบะชอลต์เมืองทะ จังหวัดลำปาง . วิทยานิพนธ์ วิทยาศาสตรมหาบัณฑิต สาขาวิชารณีวิทยา, มหาวิทยาลัยเชียงใหม่.

- Aranyakanon, P. and Vichit, P., 1983. The Gem Deposits of Thailand, The Conference on Geology & Mineral Resources of Thailand, Dept. Mineral. Res., Bangkok, 19-28 November 1983, 11 p.
- Barr, S.M. and James, D.E., 1990. Trace element characteristics of Upper Cenozoic basaltic rocks of Thailand, Kamphuchea and Vietnam. Journal of Southeast Asian Earth Sciences, Vol. 4, pp. 233-242.
- Barr, S.M. and Macdonald, A.S., 1978. Geochemistry and petrogenesis of late Cenozoic alkaline basalts of Thailand. Geol. Soc. Malaysia Bull., V.10, pp. 25-52.
- Barr, S.M. and Macdonald, A.S., 1979. Paleomagnetism, age and geochemistry of the Denchai basalts, northern Thailand. Earth Planet Sci. Lett., V.46, pp. 113-124.
- Barr, S.M. and Macdonald, A.S., 1981. Geochemistry and geochronology of late Cenozoic basalts of Southeast Asia. Geol. Soc. Am. Bull., Part II, V.92, pp. 1069-1142.
- Barr, S.M., Macdonald, A.S., Haile, N.S. and Reynolds, P.H., 1976. Paleomagnetism and age of the Lampang basalts (northern Thailand), and the age of the underlying pebble tools. J. Geol. Soc. Thailand, 2, pp. 1-10.
- Bascom, J., Camps, P. and Dautria, J. M., 2005. Magnetic versus crystallographic fabrics in a basaltic lava flow. Jour. Volcanology and Geothermal Research, Vol. 145, pp. 119-135.
- Bhongsuwan, T. and Elming, S.-A., 2000. Rock magnetic and palaeomagnetic study of some Cenozoic basalts of central and northern Thailand. In Bhongsuwan, T., Division of Applied Geophysics, Lulea University of Technology, Lulea, Sweden, Ph.D. thesis.
- Bignell, J.D. and Sneling, N.J., 1977. K-Ar ages on some basic igneous rocks from peninsular Malaysia and Thailand. Geol. Soc. Malaysia Bull., V.8. pp. 88-93.
- Bunopas, S. and Bunjitradulya, S., 1975. Geology of Amphoe Bo Ploi, North Kanchanaburi, with special notes on the "Kanchanaburi Series". Jour. Geol. Soc. Thailand, V.1, pp. 51-67.
- Butler, R.F., 1992. Paleomagnetism. Blackwell Scientific, Cambridge, 319 p.
- Carbonnel, J.P., Selo, H. and Paupeau, G., 1972. Fission track age of the gem deposit of Pailin (Cambodia) and recent tectonic in the Indochina province: Modern Geology, V.4, pp. 61-64.

- Charusiri, P., Sutthirat, C., Plathong, C. and Pongsapich, W., 2004. Geology and Petrochemistry of Basaltic Rocks at Khao Kradong, Buriram, NE Thailand: Implications for Rock Wool Potentials and Tectonic Setting J. Sci. Res. Chula. Univ., 29 (2004).
- Collinson, D.W., 1983. Methods in Rock Magnetism and Palaeomagnetism: Techniques and Instrumentations, Chapman and Hall, New York, 503 pp.
- Dunlop, D.J. and Özdemir, Ö., 1997. Rock Magnetism: Fundamentals and frontiers. Cambridge University Press. 573 pp.
- Elming, S.-A°., D'Agrella-Filho, M. S., Page, L. M., Tohver, E., Trindade, R. I. F., Pacca, I. I. G., Geraldes, M. C. and Teixeira, W., 2009. A palaeomagnetism and  $^{40}\text{Ar}/^{39}\text{Ar}$  study of late precambrian sills in the SW part of the Amazonian craton: Amazonia in the Rodinia Reconstruction , J. Geophys. Int. 178, 106–122.
- Endale, T. and Marcia, E., 1999. Magnetic fabric and rock-magnetic character of the Mesozoic flood basalts of the Parana Basin, Brazil. Journal Geodynamics, Vol. 28, pp. 419-437.
- Fatima, M. H., 2002. Determination of fundamental magnetic anisotropy parameters in rock-forming minerals and their contributions to the magnetic fabric of rocks. Ph.D. Thesis, Universidad Complutense de Madrid, Spain, 197 p.
- Guo, J., O'Reilly, S.Y. and Griffin, W.L., 1994. A cobalt-rich spinel inclusion in a sapphire from Bo Ploi, Thailand. Mineral. Mag., V.58, P.247-258.
- Hoke, L. and Campbell, H.J., 1995. Active Mantle melting beneath Thailand. Proceedings of International Conference on Geology, Geotechnology and Mineral Resources of Indochina, Khon Kaen, Thailand, pp. 13-22.
- Hrouda, F., 1982. Magnetic anisotropy of rocks and its application in geology and geophysics. Geophys. Surv., 5, pp. 37-82.
- Intasopa, S., 1993. Petrology and geochronology of the volcanic rocks of the central Thailand volcanic belt (PhD thesis), University of New Brunswick, 242 p.
- Jelinek, V., 1981. Characterization of the magnetic fabric of rocks. Tectonophysics, V.79, p.63-67.
- Jungyusuk, N., and Sirinawin, T., 1983. Cenozoic Basalts of Thailand. Conference on Geology and Mineral Resources of Thailand 9p.

- Jungyusuk, N., and Khositanont, S., 1992. Volcanic rocks and associated mineralization in Thailand: In Proceedings, National Conference on Geologic Resources of Thailand, supplementary volume: Bangkok, Thailand, p.528-532.
- Kaewbaidhoon, S., and Pothisat, S., 1974. Deposit at Bo-Ploi, Kanchanaburi: Sapphire (in Thai). Dept. Mineral Resources, Bangkok, Thailand, pp. 43-47.
- Levinson, A.A., and Cook, F.A., 1994. Gem Corundum in alkaline basalt: origin and occurrence: Gems & Gemology, v.30, no.4, p.253-262.
- Lipka, J., Madsen, M.B., Orlicky, D., Koch, C.J.W. and Morup, S., 1988. A Study of Titanomagnetites in Basaltic Rocks from Nigeria. Jour. Physica Scripta, Vol.38, pp 508-512.
- Mattsson, H., and Elming, S.-A., 2001. A paleomagnetic and AMS study of the Ratan granite of the TIB, central Sweden. In Mattsson, H., Division of Applied Geophysics, Lulea University of Technology, Lulea, Sweden, Ph.D. thesis.
- Moskowitz, B.M., 1992. Rock Magnetism Laboratory Note. University of Minnesota, Minneapolis, MN, 40 pp.
- Nockolds, S. R., Knox, R. W. O'B. and Chinner, G.A., 1978. Petrology for student: Cambridge, Cambridge University Press, 435 p.
- O'Reilly, W., 1984. Rock and Mineral Magnetism, Blackie, Glasgow, 230 pp.
- Panjasawatwong, Y., 1983. Chemical variation with in a single basalt flow at Denchai, Phrae. Proceedings on Annaul Technical Meeting, Department of Geological Sciences, Chiang Mai University, Thailand.
- Rixiang, Z., Caidong, S. and Qingsong, L., 2003. Anisotropy of magnetic susceptibility of Hannuoba basalt, northern China: Constraints on the vent position of the lava sequences. Geophys. Res. Lett., Vol. 30, No. 2.
- Salminen, J., Pesonen, L.J., 2007. Paleomagnetic and rock magnetic study of the Mesoproterozoic sill, Valaam island, Russian Karelia. Precambrian Research, Vol. 159, pp. 212-230.
- Saminpanya, S., 2000. Mineralogy and origin of gem corundum associated with basalt in Thailand (Ph. D. Thesis): Manchester, University of Manchester, United Kingdom, 395 p.

- Sasada, M., Ratanasathien, B., and Soponpongipat, P., 1987. New K/Ar ages from the Lampang basalt, Northern Thailand, Bull of the Geological Survey of Japan, V. 38, No. 1, p.13-20.
- Sirinawin, T., 1981. Geochemistry and genetic significance of gem-bearing basalt in Chantaburi-Trat area: Chiang Mai University, unpublished M.Sc. thesis.
- Sutherland, F.L., Hoskin, P.W.O., Fanning, C.M. and Coenraads, R.R., 1998. Model of corundum origin from alkali basaltic terrains: a reappraisal, Contrib. Mineral Petrol., V.133, P.356-372.
- Sutthirat, C., Charusiri, P., Pongsapich, W., Farrar, E. and Landridge, R., 1995. A late Pliocene Ko Kha-Sop Prap and Nam Cho basaltic eruption, Northern Thailand: Evidences from geology and  $^{40}\text{Ar}/^{39}\text{Ar}$  geochronology. Proceedings of International Conference on Geology, Geotechnology and Mineral Resources of Indochina, Khon Kaen, Thailand, pp. 247-253.
- Sutthirat, C., 1995. Petrochemistry of Basalts in Amphoe Sop Prab and Amphoe Ko Kha, Changwat Lampang: M.S. thesis, Department of Geology, Chulalongkorn University, 158 p.
- Tarling, D. and Hrouda, F., 1993. The Magnetic Anisotropy of Rocks. Chapman and Hall, London, 217 pp.
- Tian, L.L., Zhu, R.X. and Pan, Y.X., 2002. Rock Magnetic Properties of Hannuoba basalts, Zhangbei, China. Chinese Journal of Geophysics, Vol. 45, No. 6, pp. 872-878.
- Tugui, A., Necula, C. and Panaiotu, C., 2009. Preliminary Rock Magnetic Properties of Quaternary Basalts from The Persani Mountains (ROMANIA). Romanian Reports in Physics, Vol. 61, No. 3, P. 730–739.
- Vichit, P., 1975. Origin of corundum in basalt: Independent study, New Mexico Institute of Mining and Technology, U.S.A., 165 p.
- Vichit, P., Vudhichaitivanich, S., and Hansawek, R., 1978. The distribution and some characteristics of corundum-bearing basalt in Thailand. Jour. Geol. Soc. Thailand, V.3, pp. M4 1-38.
- Vichit, P., 1992. Gemstones in Thailand: In Proceedings, National Conference on Geologic Resources of Thailand, supplementary volume: Bangkok, Thailand, p.124-150.

- Yaemniyom, N., 1982. The petrochemical study of corundum-bearing basalts at Bo Ploi district, Kanchanaburi: Chulalongkorn University, unpublished M.Sc. thesis.
- Zananiri, I. and Kondopoulou, D., 2004. Anisotropy of Magnetic Susceptibility (AMS) in volcanic formations: Theory and Preliminary results from recent volcanics of Broader Aegean: In Proceedings of the 10th International Congress, Thessaloniki, pp. 1308-1315.
- Zhang, S.W., Walderhaug, H.J., and Yang, Y.J., 2008. Rock magnetism and magnetic anisotropy in folded sills and basaltic flows: A case study of volcanics from the Taimyr Peninsula, Northern Russia. Chinese Science Bulletin, V. 53, No.5, pp. 759-767.
- Zhou, P. and Mukasa B.S., 1997. Nd-Sr-Pb isotopic, and major and trace – element geochemistry of Cenozoic lava from the Khorat Plateau, Thailand : Source and petrogenesis. Chemical Geology 137. pp 175-193.

ภาคผนวก

## ภาคผนวก ก

### สมบัติทางแม่เหล็ก

#### นิยามของวัสดุต่างๆทางแม่เหล็กและแร่แม่เหล็ก

เมื่อพิจารณาสมบัติทางแม่เหล็กโดยการพิจารณาค่า  $k$  ของวัตถุหรือค่าความมากจ่ายของการเกิดแม่กนีไฟเซชันของวัตถุ สามารถแบ่งออกได้เป็น 3 ชนิด คือ

1) วัสดุไดอะแมกเนติก (Diamagnetic) เป็นวัตถุที่แสดงคุณสมบัติแม่เหล็กในเชิงต้านกับสนามแม่เหล็กภายนอก ไม่มีโมเมนต์แม่เหล็กถาวรในโครงสร้างอะตอม โดยที่เมื่อมีสนามแม่เหล็กภายนอกมากระทำต่ออะตอมของวัตถุ จะทำให้อิเล็กตรอนที่เคลื่อนปีนวงโคจรโดยนิวเคลียสของอะตอมเสียสมดุลเกิดขึ้นแม่เหล็กขนาดเล็กขึ้นในอะตอม ขึ้นแม่เหล็กจะต้านกับสนามแม่เหล็กภายนอก ทำให้เกิดผลในเชิงลบ วัตถุจำพวกนี้มีคุณสมบัติค่า  $k$  เป็นลบ และเมื่อนำสนามแม่เหล็กภายนอกออกไป แม่กนีไฟเซชันหนี้ยวน้ำที่เกิดขึ้นก็จะกลับสู่ค่าเป็นศูนย์อีก (reversible) ตัวอย่างแรกที่มีคุณสมบัติแม่เหล็กประดิษฐ์ ได้แก่ ควรตซ์ เกลือหิน แคลไซต์ เป็นต้น

2) วัสดุพาราแมกเนติก (Paramagnetic) เป็นวัตถุที่เมื่อยื่นในสนามแม่เหล็กภายนอกวัตถุจะถูกเหนี่ยวน้ำทำให้มีสภาพเป็นแม่เหล็ก นั่นคือ ในโครงสร้างอะตอมของวัตถุจำพวกนี้มีโมเมนต์แม่เหล็กถาวรประกอบอยู่ แต่การเรียงตัวไม่เป็นระเบียบ ดังนั้นมีอิทธิพลต่อการเรียงตัวจะไม่เป็นระเบียบอย่างสมบูรณ์ และเมื่อนำสนามแม่เหล็กภายนอกออกไป วัตถุนั้นก็จะไม่มีความเป็นแม่เหล็กอีกต่อไป วัตถุจำพวกนี้มีคุณสมบัติค่า  $k$  เป็นบวกแต่น้อยมาก มีค่าอยู่ระหว่าง  $10^{-6}$  ถึง  $10^{-2}$  วัตถุที่มีคุณสมบัติแม่เหล็กจำพวกนี้ได้แก่ วัตถุทุกชนิดที่ไม่ใช่วัตถุจำพวกไดอะแมกเนติก

3) วัสดุเฟอร์โรแมกเนติก (Ferromagnetic) เป็นวัตถุที่เมื่อยูกเหนี่ยวน้ำจากสนามแม่เหล็กภายนอกจะมีสภาพความเป็นแม่เหล็ก และเมื่อนำสนามแม่เหล็กภายนอกออกไปวัตถุนั้นก็ยังคงสภาพความเป็นแม่เหล็กเหลืออยู่ นั่นคือวัตถุมีโมเมนต์แม่เหล็กถาวรในโครงสร้างอะตอม แต่สภาพเฟอร์โรแมกเนติกนี้จะหายไป และถ้ายังเป็นสภาพพาราแมกเนติกทันทีที่อุณหภูมิสูงเกินกว่า อุณหภูมิคูรี (Curie temperature,  $T_c$ ) วัตถุจำพวกนี้มีคุณสมบัติค่า  $k$  เป็นบวกและมีค่ามากกว่า 100 ขึ้นไป หรือกล่าวอีกนัยหนึ่งคือ เป็นวัตถุจำพวกพาราแมกเนติกที่มีค่า  $k$  มากกว่า 100 แร่ที่จัดว่าเป็นจำพวกเฟอร์โรแมกเนติก คือแร่ที่ประกอบด้วยธาตุเหล็ก (Fe) โคบอลต์ (Co) นิกเกิล (Ni) กาโลไล

นีียม (Gadolinium, Gd) และ ไดสพรอเซียม (Dysprosium, Dy) วัตถุจำพวกเฟร์โรแมกнетิกแบ่งย่อยได้ 3 ประเภท คือ

3.1) เฟร์โรแมกเนติกบริสุทธิ์ (Pure Ferromagnetism) วัตถุที่จัดในประเภทนี้จะมีพิศทางของโน้ม-men แม่เหล็กถาวรที่เรียงในโดเมนทุกๆ โดเมน เรียงเป็นแนวขวางตามพิศทางของสนามแม่เหล็กทำให้มีค่า  $k$  สูงและมีค่าบวก ในธรรมชาติส่วนใหญ่ ญี่ปุ่นได้เฉพาะในธาตุเหล็ก นิกเกิลและโคบล็อก (กาโน่ ไอลนีียมและไดสพรอเซียมพบน้อยมาก โดยไดสพรอเซียมอยู่ในสภาพภูมิภาค สำหรับส่วนกาโน่ ไอลนีียมสภาพความเป็นแม่เหล็กถูกทำลายได้ที่อุณหภูมิห้องจึงไม่สามารถใช้งานได้ ในพิษมนีเพียง ส่วนประกอบของธาตุเหล็ก นิกเกิล หรือโคบล็อก จะไม่จัดเป็นประเภทเฟร์โรแมกเนติกบริสุทธิ์

3.2) แอนติเฟร์โรแมกเนติก (Antiferromagnetism) เป็นวัตถุที่แม่ว่าจะมีโน้ม-men แม่เหล็กถาวรประกอบอยู่ในวัตถุ แต่พิศทางการเรียงตัวของโน้ม-men แม่เหล็กถาวรภายในแต่ละโดเมน มีการเรียงตัวในพิศทางตรงกันข้ามและมีขนาดเท่ากัน จึงหักล้างกันหมดทำให้ค่า  $k$  เป็นศูนย์ แต่ที่มีคุณสมบัติประเภทนี้คือ แร่เชิงไทต์

3.3) เฟอร์โรแมกเนติก (Ferrimagnetism) เป็นวัตถุที่มีโน้ม-men แม่เหล็กถาวรประกอบอยู่ในวัตถุ และพิศทางการเรียงตัวของโน้ม-men แม่เหล็กถาวรภายในแต่ละโดเมน มีการเรียงตัวในพิศทางตรงกันข้ามแต่มีขนาดไม่เท่ากัน จึงทำให้มีอำนาจแม่เหล็กและมีค่า  $k$  เป็นบวก วัตถุที่มีคุณสมบัติประเภทนี้คือ แร่จำพวกเฟร์โรต์ มีสูตรทางเคมีคือ  $XOFe_2O_4$  เมื่อ  $X$  คือ Mn, Co, Ni, Cu, Mg, Zn เป็นต้น

### แมกเนติกโดเมน (Magnetic domain)

หลักการของแมกเนติกโดเมนสามารถอธิบายได้จากเกิดขึ้นของแมกนิไฟเซชันในวัสดุมากมาย ซึ่งมีการแบ่งแยกของเขตของไดโอดแม่เหล็กถาวรในวัสดุ ออกเป็น โดเมนจำนวนมากมาย โดเมนที่พบอาจมีองค์ประกอบของไดโอดแม่เหล็กที่มีการวางแผนตัวในพิเศษ หรืออาจมีการวางแผนตัวในพิเศษแบบสุ่ม ดังภาพประกอบ โดยผลกระทบของแมกนิไฟเซชันของโดเมนจะเท่ากับศูนย์ เนื่องจากการหักล้างกันหมดทางเวกเตอร์ของค่าแมกนิไฟเซชันที่เกิดขึ้น ความหนาของผนัง โดเมนมีค่าขึ้นอยู่กับจำนวนไดโอดแม่เหล็กในที่ที่มีการสร้างอำนาจหักล้างของโน้ม-men แม่เหล็กในแต่ละ โดเมนที่อยู่ติดกัน ทำให้เกิดการเปลี่ยนแปลง การหมุน ของแม่เหล็ก (magnetic spin) ระหว่าง โดเมน ดังภาพประกอบ โดยการเปลี่ยนแนวการวางแผนตัวของ โดเมน บริเวณผนังมีผลให้พลังงาน 2 ชนิดเปลี่ยนแปลงไปด้วยกัน พลังงานแลกเปลี่ยน (exchange energy) กับพลังงานแมกนีโทคริสตัลไลน์แอนไซโทรปี (magneto crystalline anisotropy energy)

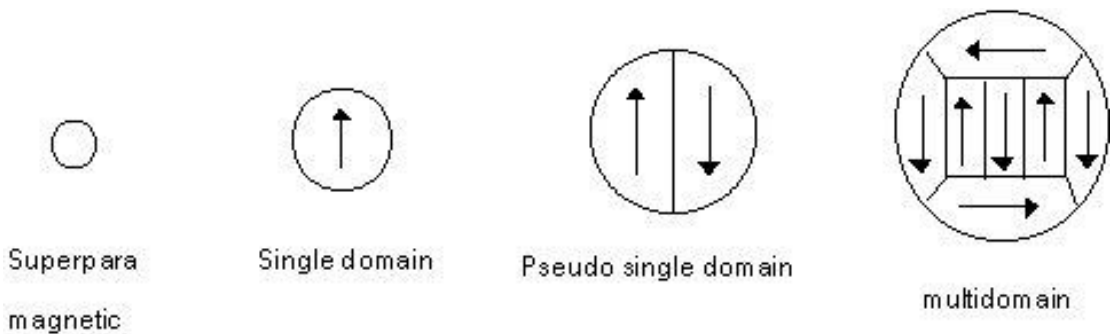
สมบัติต่างๆทางแม่เหล็กของวัสดุ และแมgnii ไฟเซ็นต์ค้างในวัสดุได้ๆจะขึ้นอยู่กับขนาดของกรนแม่เหล็ก ซึ่งเกี่ยวข้องกับโอดเมนแม่เหล็กของวัสดุ เราจำแนกประเภทของโอดเมน แม่เหล็กออกเป็นชูปเปอร์พาราแมกเนติก โอดเมน โอดเมนเดียว โอดเมนเดียวที่ยึดและมัลติโอดเมน

ชูปเปอร์พาราแมกเนติก โอดเมน (Superparamagnetic, SPM) เกิดจากการก่อตัวของโมเลกุลแม่เหล็ก 1 โมเลกุล ภายใต้สนาณแม่เหล็กจนเกิดเป็นวัสดุแม่เหล็กซึ่งมีค่า แมgnii ไฟเซ็นต์ค้างที่ไม่เสถียรจนเข้าสู่สภาวะที่เป็นชูปเปอร์พาราแมกเนติก ซึ่งมีพฤติกรรมที่เกิดจากการวาง ตัว ในสนาณแม่เหล็กคล้ายกับวัสดุเฟอร์โรแมกเนติกแต่มีค่า Relaxation time ที่น้อยกว่าเฟอร์โรแมกเนติกมากมีค่าอยู่ในระดับวินาที รวมทั้งมีค่า แมgnii ไฟเซ็นต์และค่าสภาพรับไว้ได้ทางแม่เหล็กที่มากกว่าวัสดุพาราแมกเนติก โดยวัสดุชูปเปอร์พาราแมกเนติก จะมีขนาดเม็ดตะกอนเล็กมาก รวมทั้งค่าแมgnii ไฟเซ็นต์จะมีค่าเพิ่มขึ้นเมื่อมีขนาดเม็ดตะกอนที่ใหญ่ขึ้น แต่ค่าสภาพรับไว้ได้ทางแม่เหล็กจะลดลง เมื่อมีขนาดเม็ดตะกอนที่ใหญ่ขึ้น โดยขนาด เม็ดตะกอน จะโตขึ้นจนถึงระดับหนึ่ง จากนั้นจะมีการเปลี่ยนแปลงจากชูปเปอร์พาราแมกเนติกกล้ายไปเป็นโอดเมนเดียวดังภาพประกอบ

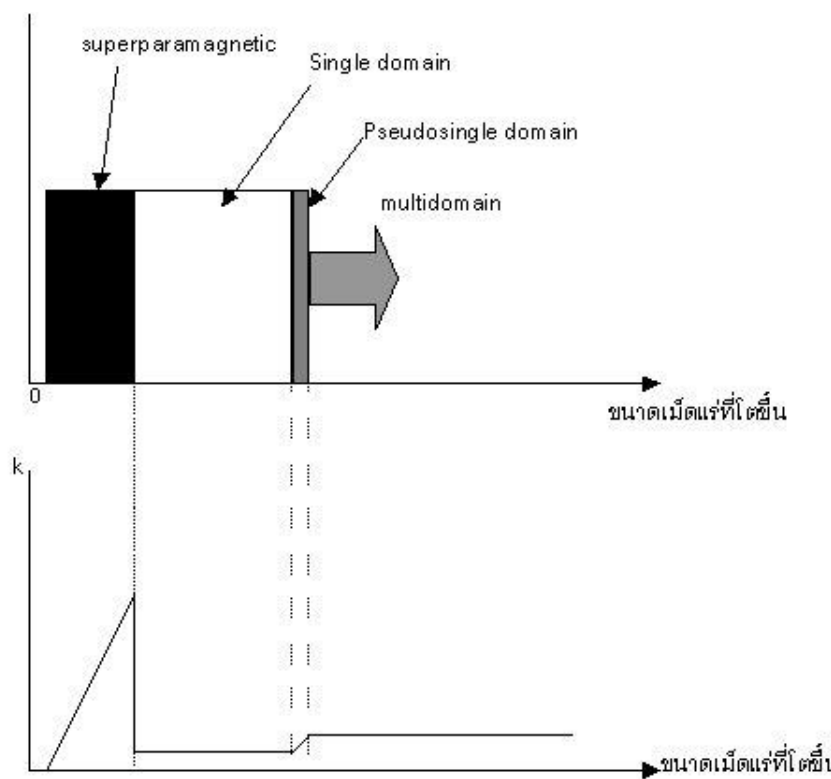
โอดเมนเดียว (Single-domain, SD) เกิดจากการเปลี่ยนแปลงขนาดของ เม็ดตะกอนของชูปเปอร์พาราแมกเนติก ที่มีขนาดใหญ่ขึ้น และมีการเกิดข้าว ไดโพล ขึ้นใน โอดเมน ดังภาพประกอบ โดย ไดโพลไม่มีแต่แม่เหล็ก ที่เกิดขึ้นจะเกิดขึ้นจะมีทิศทาง ไดโพลเพียงทิศทางเดียว ค่า แมgnii ไฟเซ็นต์ค้างเริ่มมีค่าเสถียรมากขึ้น

โอดเมนเดียวที่ยึด (Pseudo-single domain, PSD) เกิดจากการโตขึ้นของโอดเมนเดียว เป็นคู่โอดเมนที่ยึด มีทิศทางของโอดเมนต์ไดโพลแม่เหล็ก ที่ตรงกันข้ามกัน ดังภาพประกอบ โดยมีผนังโอดเมนเป็นตัวกันระหว่างไดโพลทั้งสอง ค่าความเป็นแม่เหล็ก จะมีน้อยมากๆ เนื่องจาก ไดโพล โอดเมนต์แม่เหล็กมีทิศทางตรงกันข้ามกัน

มัลติโอดเมน (Multidomain, MD) เกิดจากการโตขึ้นของโอดเมนที่ยึด และมีการจับตัวกันเป็นหลายๆ โอดเมน จนมีขนาด ที่ใหญ่ขึ้น โดยการวางตัวของคู่ ไดโพล จะมีลักษณะที่เป็นระเบียบและไม่เป็นระเบียบประปนกัน โดยมีผนัง โอดเมน เป็นตัวกันระหว่าง ไดโพลทั้งหมดดังภาพประกอบ ซึ่งค่าความเป็นแม่เหล็กของมัลติโอดเมนจะเป็นค่าลพธ์ของทั้งระบบ



ภาพประกอบ ขนาดของโอดemen ประเภทต่างๆ ลูกศรแสดงลักษณะของโอดemen แม่เหล็กในแต่ละ โอดemen (O'Reilly, 1984 : 95)



ภาพประกอบ ความแตกต่างของ Magnetic grains ประเภทต่างๆ (O'Reilly, 1984 : 95)

ความแตกต่างระหว่าง โอดemen ประเภทต่างๆ เป็นความ แตกต่างของขนาด โอดemen ดัง ภาพประกอบ โดยทั่วไปเมื่อมีเม็ดแร่กำเนิดขึ้นจากปฏิกิริยาเคมี เริ่มจาก 1 โนเมเลกุล (สมมติเป็น 1 ไฟล์) เป็นหลายๆ โนเมเลกุลหรือหลายๆ ไฟล์ เข้าสู่สภาวะชูปเปอร์พาราแมgnติก คือมีค่าสภาพรับ ไว้ได้ทางแม่เหล็กสูงแต่ไม่มีอำนาจแม่เหล็กถาวร จากสภาวะชูปเปอร์พาราแมgnติก เม็ดโอดemen โต ขึ้นเข้าสู่ยาน โอดemen เดียว ซึ่งตรงนี้ ค่าสภาพรับไว้ได้ทางแม่เหล็ก จะลดลงแต่ยังคงมีค่าอยู่ และเริ่ม แสดงอำนาจแม่เหล็กถาวรหรืออำนาจแม่เหล็ก ตกค้าง (remanent magnetization) ซึ่งเราสามารถใช้

คุณสมบัติเฉพาะทางแม่เหล็กไม่ว่าจะเป็น ค่า Saturation Isothermal Remanent Magnetization (SIRM) ค่า Coercivity of remanence ( $H_{cr}$ ) และค่าสภาพรับไว้ได้ทางแม่เหล็ก ( $k$ ) ในการจำแนกชนิดของ grain size

### แมgnii ไหเซชันตอกค้างธรรมชาติ (Natural remanent magnetization)

แมgnii ไหเซชันตอกค้างธรรมชาติ หรือเรียกย่อๆว่า NRM เมื่อพิจารณาแบ่งตามเวลาในการเกิด พนบวมี 2 แบบก็คือ

1. อำนวยแม่เหล็กปฐมภูมิ (Primary NRM) เป็นแมgnii ไหเซชันตอกค้างธรรมชาติที่หินรับไว้ตอนที่มันเริ่มเกิดครั้งแรก หินเริ่มเกิดขึ้นในความหมายทางธรรษิวิ ทายก็อเมื่อหินอัคนี้ยังตัว และแข็งตัวแล้วในครั้งแรก หรือเมื่อคืนตะกอนจับตัวกันแน่นเป็นหิน ก่อนที่จะมีกิจกรรมทางธรรษิอื่นใดเกิดตามมา แมgnii ไหเซชันตอกค้างธรรมชาติ จะยังคงรักษาทิศทางเดิมไว้ได้หรือไม่ ขึ้นกับกิจกรรมทางเคมีกายภาพของหินตัวนั้นที่ตามมาภายหลัง

2. อำนวยแม่เหล็กทุติยภูมิ (Secondary NRM) เป็นแมgnii ไหเซชันตอกค้างธรรมชาติที่หินรับไว้หลังจากที่หินรับเอา อำนวยแม่เหล็กปฐมภูมิไว้ก่อนแล้วชั่วเวลาหนึ่ง อำนวยแม่เหล็กทุติยภูมิ เกิดจากกิจกรรมทางธรรษิวิทายอื่น ได้ทั้งหมดที่มีผลกระทบต่อค่าแมgnii ไหเซชันตอกค้าง (Remanent manetization) ของหินภายหลังที่รับเอา อำนวยแม่เหล็กปฐมภูมิแล้ว กิจกรรมธรรษิที่เป็นตัวก่อให้เกิดอำนวยแม่เหล็กทุติยภูมิได้แก่

- (1) การที่หินได้รับความร้อนครั้งใหม่หลังจากเย็นตัวครั้งแรกแล้ว
- (2) การที่แร่แม่เหล็กที่รักษาอำนวยแม่เหล็กปฐมภูมิไว้เกิดการเปลี่ยนแปลงทางเคมีทำให้เกิดการฟอร์มตัวของแร่ใหม่

ถ้าหากว่าแบ่ง แมgnii ไหเซชันตอกค้างธรรมชาติ ตามกระบวนการที่เกิดขึ้นในธรรมชาติที่ทำให้หินนั้นเกิดความเข้มของการเป็นแม่เหล็กตอกค้างจะแบ่งได้หลายแบบดังนี้คือ

1.) Thermo remanent magnetization (TRM) แม่เหล็กตอกค้างแบบนี้เกิดขึ้นกับหินอัคนีในธรรมชาติเมื่อมันเย็นตัวแล้วตกลดลึกภายในได้สนามแม่เหล็กโลก ซึ่งจะได้รับโดยการเย็นตัวจากอุณหภูมิสูงผ่านอุณหภูมิบล็อกกิ้ง ของแร่แม่เหล็กชนิดต่างๆไม่ได้รับที่อุณหภูมิคูรีทั้งหมด แต่ยังคงได้รับต่อเนื่องจากอุณหภูมิคูรีจนถึงอุณหภูมิในสิ่งแวดล้อม สัดส่วนของแมgnii ไหเซชันตอกค้างอาจพิจารณาว่าถูกบล็อกอยู่ในระหว่างช่วงอุณหภูมิหนึ่ง

2.) Chemical remanent magnetization (CRM) เป็นแมgnii ไหเซชันที่ได้รับเมื่อเกิดการเปลี่ยนแปลงทางเคมี แล้วเกิดแร่แม่เหล็กตัวใหม่หรือเปลี่ยนจากรูปเคมีหนึ่งไปเป็นอีกหนึ่ง และเกิดขึ้นที่อุณหภูมิต่ำในสิ่งแวดล้อม

3.) Detrital remanent magnetization (DRM) เกิดขึ้นจากเม็ดแร่ที่มี TRM หรือ CRM ชนิดปฐมภูมิทำตัวเป็นเม็ดตะกอนซึ่งจะจัดวางตัวเองในทิศทางสนามแม่เหล็กโลกในระหว่างการตกตะกอน โดยเฉพาะอย่างยิ่งเมื่อขนาดของอนุภาคนี้เล็กมากทำให้ใช้เวลาในการรวมตัวที่นาน เม็ดตะกอนสามารถรับแมgnition ได้

4.) Isothermal remanent magnetization (IRM) เกิดขึ้นเมื่อหินอยู่ในสนามแม่เหล็กขนาดแรงมากแบบชั่วขณะ ซึ่งอาจขึ้นสูงสุดหรืออีกตัว ในส่วนที่เกิดขึ้นในธรรมชาติ เช่น ไฟฟ้า เป็นต้น

5.) Viscous remanent magnetization (VRM) เป็นแมgnition ที่ใช้ชั้นต่อกันค้างธรรมชาติ ที่เกิดจากอิทธิพลของสนามแม่เหล็กโลกปกติ ในสิ่งแวดล้อมเป็นระยะเวลาอันยาวนาน เช่น หินอ่อนที่เย็นตัวครึ่งแรกเมื่อ 100 ล้านปีก่อน ก็ตกลอยู่ในอิทธิพลของสนามแม่เหล็กโลก นับจากเวลาที่น้ำมานลึกลงไปในหินนี้ มีการเปลี่ยนแปลงของทิศทางของสนามแม่เหล็กโลกและการเคลื่อนตัวของแผ่นเปลือกโลก ในระหว่างเวลาที่น้ำมานลึกลงไปในหินมีผลทำให้หินมีเวกเตอร์ของอำนาจดึงแม่เหล็กทุกติดอยู่กันซึ่งรวมกันแบบเวกเตอร์ ค่าที่ได้ก็จะเป็นทิศทางของเวกเตอร์ลัพธ์

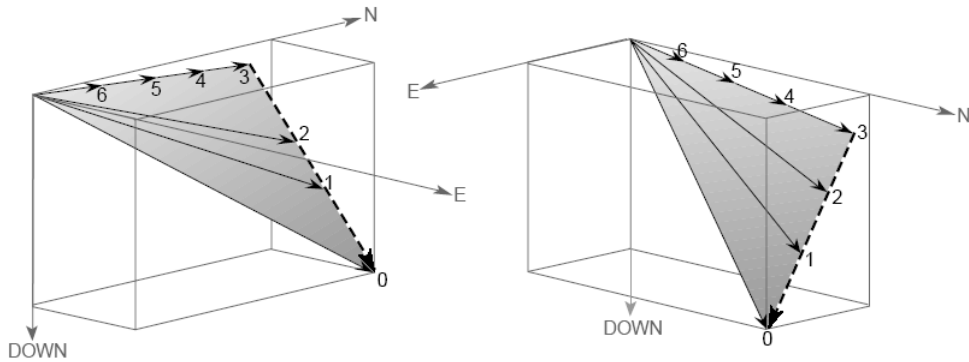
### การลบล้างอำนาจดึงแม่เหล็ก

การลบล้างอำนาจดึงแม่เหล็กทุกติดอยู่กัน หรือ แมgnition ที่ใช้ชั้นต่อกันค้างหลังจากการเย็นตัวครึ่งแรกแล้วด้วยสนามแม่เหล็กสลับ โดยการทำให้วัสดุตัวอย่างหมุนรอบตัวเองใน 3 ทิศทาง อยู่ในอิทธิพลของสนามแม่เหล็กสลับ ซึ่งจะต้องเพิ่มค่าความแรงของสนามแม่เหล็กขึ้นเรื่อยๆ ดังนั้นแมgnition ที่ใช้ชั้นต่อกันในวัสดุตัวอย่างที่มีค่าความแรงน้อยกว่าสนามแม่เหล็กสลับที่จ่ายให้ ก็จะถูกลบล้างไป ส่วนแมgnition ที่แข็งแรงกว่าสนามแม่เหล็กสลับที่จ่ายให้ ก็จะยังคงอยู่ ซึ่งส่วนใหญ่แล้วจะเป็น อำนาจดึงแม่เหล็กปฐมภูมิ แต่ถูกลบล้างได้เมื่อยังคงถ้าหากจ่ายสนามแม่เหล็กสลับที่แข็งแรงกว่าเข้าไป

ในการใช้สนามแม่เหล็กมาลบล้างข้อมูลออกไปนั้น ร่างกายแม่เหล็กแต่ละชนิดนั้น จะถูกลบล้างไปด้วยความแรงของสนามแม่เหล็กที่ไม่เท่ากัน ซึ่งจะแสดงความแข็งแรงของแมgnition ที่ใช้ชั้นในหินแต่ละชนิด แต่ถ้าหากเป็นแร่ชนิดเดียวกันการใช้สนามแม่เหล็กในการลบล้างในพากเกรนแม่เหล็กชนิดโคลเม นเดียวจะใช้สนามแม่เหล็กที่มีความแรงมากกว่า พากแร่ที่เป็นเกรนแม่เหล็กชนิดหลายโคลเมน

จุดประสงค์ในการลบล้างอำนาจดึงแม่เหล็ก ก็เพื่อที่จะต้องการทราบทิศทางของอำนาจดึงแม่เหล็กปฐมภูมิ ซึ่งจะแสดงทิศทางของสนามแม่เหล็กโลกในขณะนั้น อำนาจดึงแม่เหล็กปฐมภูมิ หรือ Primary NRM สามารถแสดงได้ดังความสัมพันธ์ข้างล่าง

$$\text{NRM} = \text{PrimaryNRM} + \text{SecondaryNRM}_1 + \text{SecondaryNRM}_2 + \text{SecondaryNRM}_3 + \dots$$



**ภาพประกอบ** เวกเตอร์ของ แมgnิไฟเซชันตอกค้างธรรมชาติ ของ 3 องค์ประกอบ (เวกเตอร์ 0 แทน เวกเตอร์ลพธ์ของแมgnิไฟเซชันตอกค้างธรรมชาติที่วัดค่าความเข้มได้ในเวลาปัจจุบัน ซึ่งประกอบด้วย จำนวนแม่เหล็กปฐมภูมิ (เวกเตอร์ 3-6) ส่วนเวกเตอร์ 1 และ 2 เป็น จำนวนแม่เหล็กทุติยภูมิ (Butler, 1992)

### Median Destructive Field (MDF)

เป็นค่า Stanam แม่เหล็กสลับ ในหน่วย milli-Tesla (mT) ที่สามารถทำลายแมgnิไฟเซชันตอกค้างให้เหลือเพียงครึ่งหนึ่ง (50%) ค่านี้จะแสดงความแข็งแรงของแมgnิไฟเซชันตอกค้างที่เก็บอยู่ในวัสดุ ในแร่แม่เหล็กนิดเดียว กันเกรนแม่เหล็กนิดโดเมนเดียว (single domain grain, SD) จะมีค่า MDF สูงกว่าเกรนแม่เหล็กนิดหลายโดเมน (multidomain grain, MD) สำหรับสารแม่เหล็กต่างชนิดกัน สาร  $\text{Fe}_2\text{O}_3$  (hematite) จะมีค่า MDF สูงกว่าสาร  $\text{Fe}_3\text{O}_4$  (magnetite)

### Koenigsberger

เทอมนี้ไม่ได้เป็น แมgnิไฟเซชันตอกค้างธรรมชาติ แต่เป็นตัววัดสตีรภาพของ แมgnิไฟเซชันในหิน ซึ่งนิยามขึ้นโดย Koenigsberger เป็นอัตราส่วนระหว่างความแรงของ TRM ( $J$ ) ที่รับเอาไว้เมื่อออยู่ใน Stanam แม่เหล็ก  $H = \frac{B}{\sigma_0}$ ) ในหินอคนี กับความเข้มของ Stanam เหนี่ยวนำใน Stanam ขนาดเดียวกัน ที่  $20^{\circ}\text{C}$  และในเวลาต่อมาได้นิยามใหม่ว่า

$$Q - \text{Value} = \frac{\text{NRM}}{40000k}$$

เมื่อ NRM คือ ความแรงของแมgnิไฟเซชันที่เกิดขึ้นในธรรมชาติ ( $\text{m Am}^{-1}$ )

40000 เป็นความเข้มของ Stanam แม่เหล็ก โลก ( $\text{m Am}^{-1}$ )

k เป็นค่าสภาพรับไว้ให้ทางแม่เหล็ก (SI)

หินที่มีค่า Q-value มากกว่า 1 มีแนวโน้มที่จะมีเสถียรภาพทางแม่เหล็กสูงและเป็นแบบบันทึกแม่เหล็กที่ดีของสถานะแม่เหล็กโลกบรรพกาล ขณะที่หินที่ มีค่า Q-Value ต่ำ (ต่ำกว่า 1) จะมีเสถียรภาพทางแม่เหล็กต่ำ ค่านี้โดยทั่วไปจะสะท้อนให้เห็นถึงโครงสร้างโดเมนแม่เหล็ก สำหรับค่า Q-Value = 1 แสดงการปรากฏของเม็ดโดเมนเดี่ยว (single domain grain, SD) ที่ทำให้มีแมgnite เทชชันตกค้างที่มีเสถียรภาพสูง ขณะที่ค่า Q-Value = 0.5 แสดงการปรากฏของเม็ด โดเมนชนิดหลายโดเมนที่มีเสถียรภาพต่ำในสัดส่วนที่สูง (Collinson, 1983)

ตาราง แสดงสมบัติทางแม่เหล็กของแร่เฟอร์โรแมกเนติกบางชนิด (Tarling and Hrouda, 1993)

| Mineral     | Curie/Neel Temp. (°C) | Saturation magnetization (A m <sup>2</sup> /kg) | Mass susceptibility (x 10 <sup>-8</sup> SI/kg) | Density (kg/m <sup>3</sup> ) | Pj    | T    |
|-------------|-----------------------|---|--|------------------------------|-------|------|
| Magnetite   | 575                   | 90-93   | 578  | 5200                         | 1.18  | -0.3 |
| Maghaemite  | 350                   | 80-85   | 500  | 4800                         | -     | -    |
| Haematite   | 680                   | 0.2-0.5   | 25   | 5300                         | >100  | 1.0  |
| Goethite    | 120-130               | 0.001-1   | 0.5-1.5  | 4300                         | -     | -    |
| Pyrrhotite  | 320                   | 1-2   | 0.1-20   | 4600                         | 3-400 | 0.8  |
| Franklinite | 60                    | 0.006-3   | -  | 5340                         | -     | -    |
| Jacobsite   | 300                   | 0.7-3   | -  | 4870                         | -     | -    |
| Chromite    | -84                   | 0.003-0.007                                     | -  | 5090                         | -     | -    |
| Cobaltite   | -                     | 0.0005-0.2                                      | -  | 6300                         | -     | -    |

# ประวัติผู้เขียน

|                            |                          |                     |
|----------------------------|--------------------------|---------------------|
| ชื่อ สกุล                  | นายจิรพันธุ์ ศรีเทียน    |                     |
| รหัสประจำตัวนักศึกษา       | 4910220024               |                     |
| วุฒิการศึกษา               |                          |                     |
| ชื่อ<br>วุฒิ               | ชื่อสถานบัน              | ปีที่สำเร็จการศึกษา |
| วิทยาศาสตรบัณฑิต (ฟิสิกส์) | มหาวิทยาลัยสงขลานครินทร์ | 2545                |

ทุนการศึกษา (ที่ได้รับในระหว่างการศึกษา)

ทุนการศึกษาระดับบัณฑิตศึกษา ประเภททุนเชื่อมโยงกับบัณฑิต ประจำปีงบประมาณ 2550

## การตีพิมพ์เผยแพร่ผลงาน

Sritiam, J., Bhongsuwan, T. and Duerrast, H., 2008. "Magnetic Anisotropy of Basalt from Twenty-Seven Locations in Thailand", Proceeding of the Conference on "Proceedings of The International Conference On Applied Geophysics (Geophysics Chiang Mai 2008)", 12<sup>nd</sup>-13<sup>rd</sup> Nov 2008, Chiang Mai, Thailand